

USP — 24/11/22

# Análise Topológica de Dados e suas aplicações

<https://raphaeltinarrage.github.io>

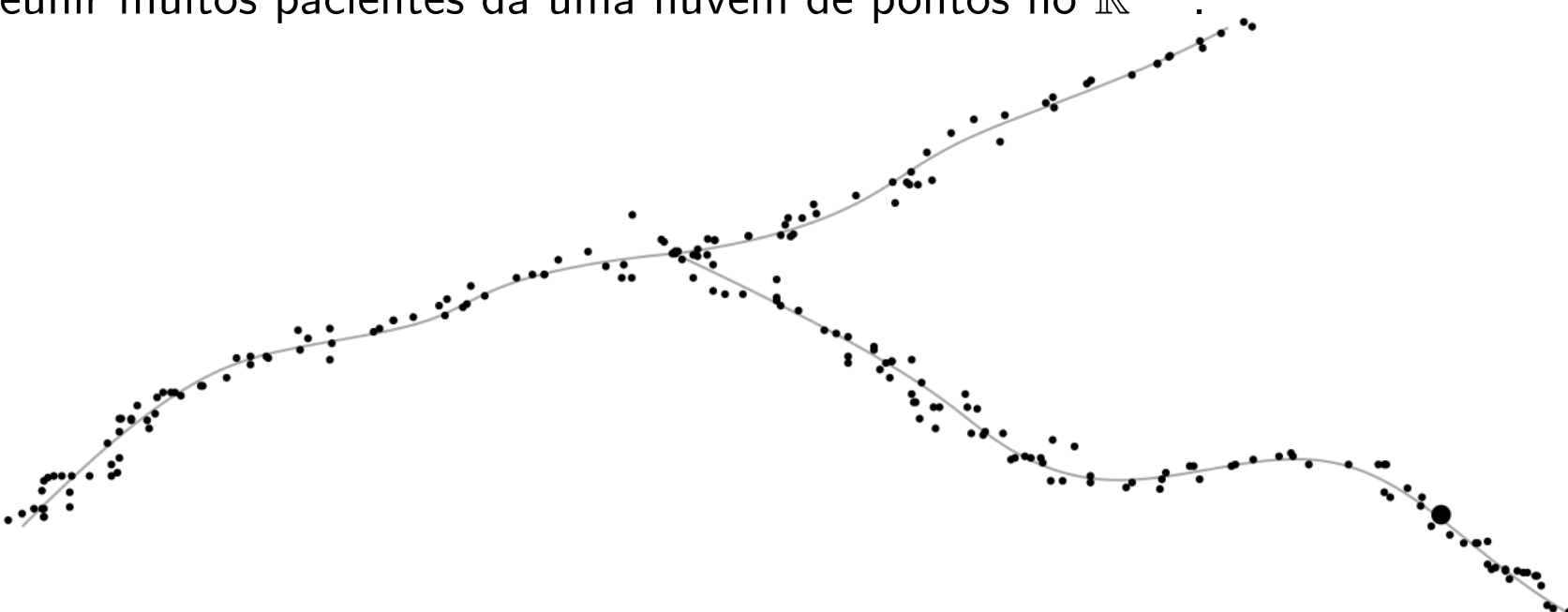
[Topology based data analysis identifies a subgroup of breast cancers with a unique mutational profile and excellent survival, Monica Nicolau, Arnold J Levine, and Gunnar Carlsson, *Proceedings of the National Academy of Sciences*, 2011]

Os autores estudam os tecidos de pacientes infectados com câncer de mama. Eles obtêm 262 variáveis genômicas por paciente.

$$(x_1, x_2, \dots, x_{262})$$



Reunir muitos pacientes dá uma nuvem de pontos no  $\mathbb{R}^{262}$ .



[Topology based data analysis identifies a subgroup of breast cancers with a unique mutational profile and excellent survival, Monica Nicolau, Arnold J Levine, and Gunnar Carlsson, *Proceedings of the National Academy of Sciences*, 2011]

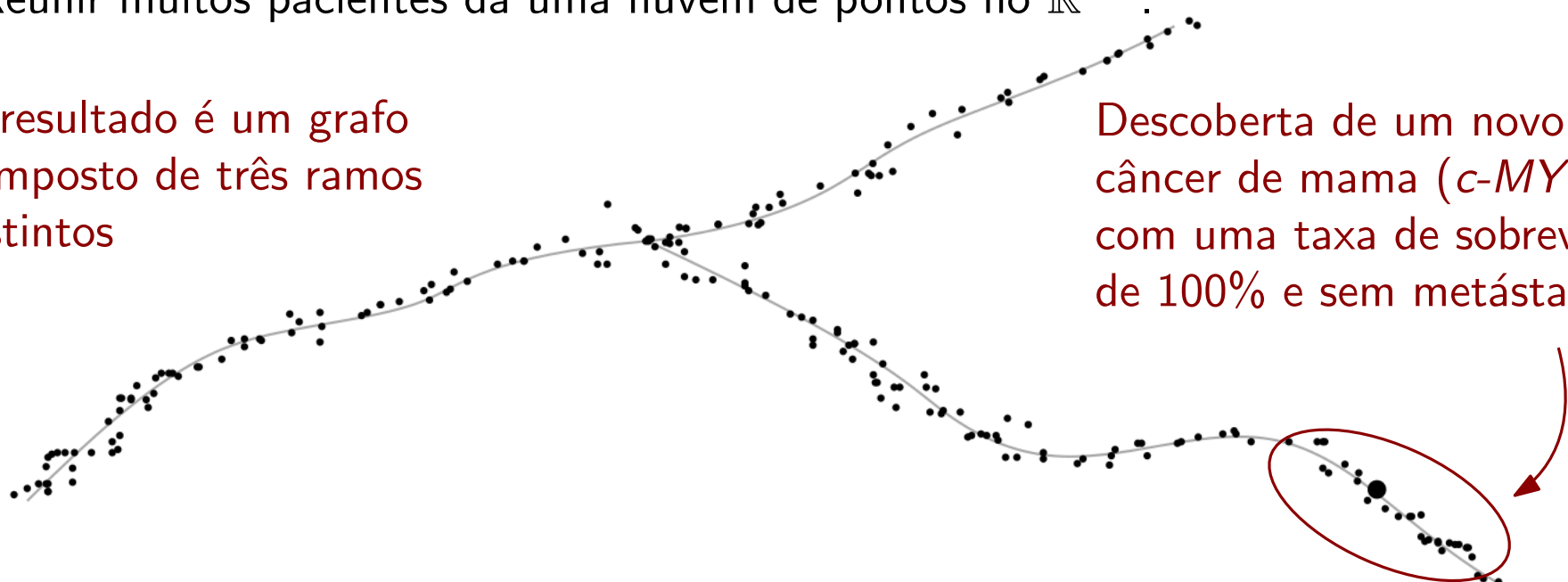
Os autores estudam os tecidos de pacientes infectados com câncer de mama. Eles obtêm 262 variáveis genômicas por paciente.

$(x_1, x_2, \dots, x_{262})$



Reunir muitos pacientes dá uma nuvem de pontos no  $\mathbb{R}^{262}$ .

O resultado é um grafo  
composto de três ramos  
distintos



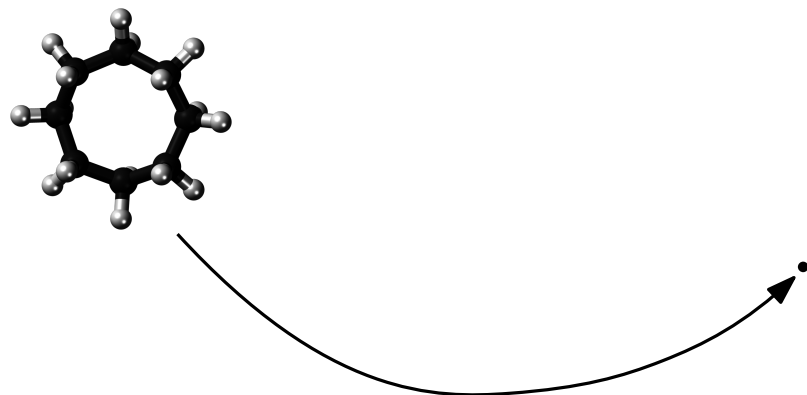
Descoberta de um novo tipo de  
câncer de mama (*c-MYB<sup>+</sup>*)  
com uma taxa de sobrevivência  
de 100% e sem metástases

[Topology of cyclo-octane energy landscape, S. Martin, A. Thompson, E. A. Coutsias, and J-P. Watson, 2010]

A molécula de ciclo-octano  $C_8H_{16}$  contém 24 átomos.

Cada átomos tem 3 coordenadas espaciais.

Assim, a conformação de uma molécula pode ser resumida por **um ponto** no  $\mathbb{R}^{72}$  ( $3 \times 24 = 72$ ).



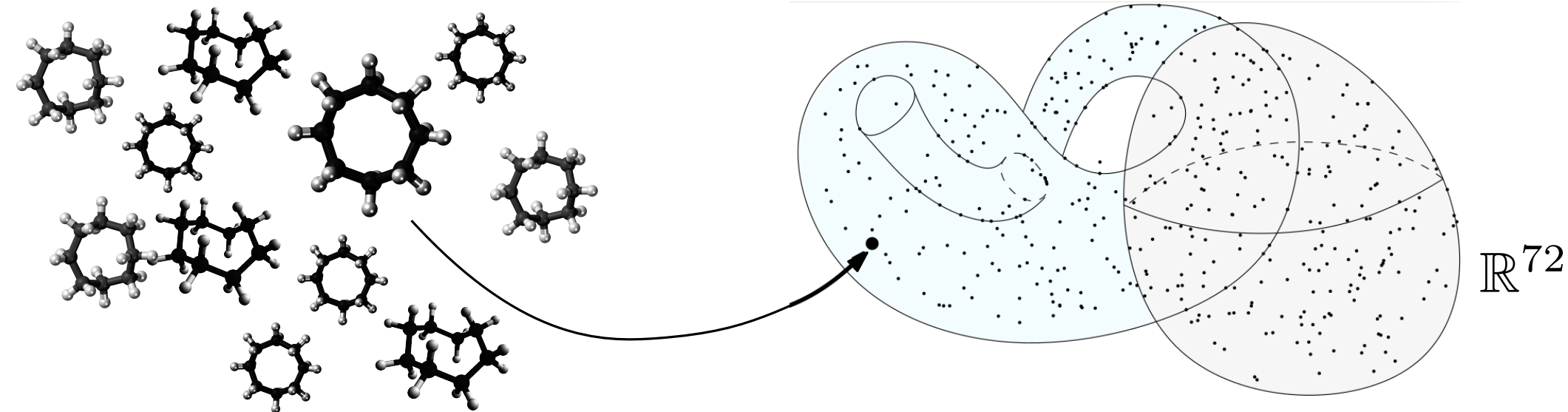
$$\mathbb{R}^{72}$$

[Topology of cyclo-octane energy landscape, S. Martin, A. Thompson, E. A. Coutsias, and J-P. Watson, 2010]

A molécula de ciclo-octano  $C_8H_{16}$  contém 24 átomos.

Cada átomos tem 3 coordenadas espaciais.

Assim, a conformação de uma molécula pode ser resumida por **um ponto** no  $\mathbb{R}^{72}$  ( $3 \times 24 = 72$ ).

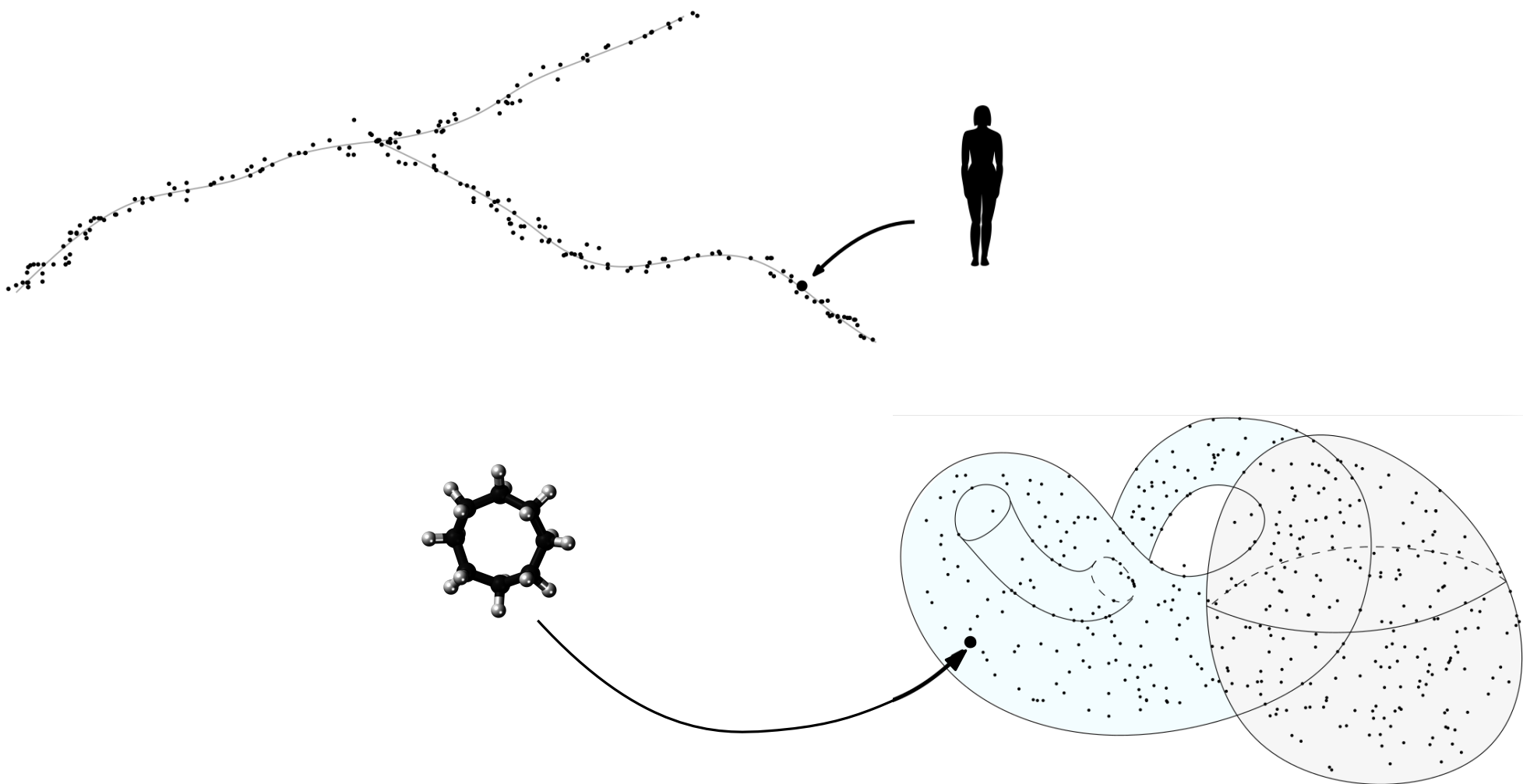


Analizando muitas dessas moléculas, obtemos uma **nuvem de pontos** no  $\mathbb{R}^{72}$ .

Os autores mostram que esta nuvem de pontos está próxima a um objeto de pequena dimensão: a **união de uma esfera e de uma garrafa de Klein**.

# Geometria em dados

2/69 (5/5)



Pergunta: Qual é a forma dos dados?

# I - Comparar espaços topológicos

- 1 - Equivalência de homeomorfia
- 2 - Equivalência de homotopia

# II - Invariante topológico

- 1 - Número de componentes conexas
- 2 - Característica de Euler
- 3 - Números de Betti
- 4 - Homologia (simplicial sobre  $\mathbb{Z}/2\mathbb{Z}$ )

# III - Inferência topológica

- 1 - Estimação do parâmetro  $t$
- 2 - Nervos

# IV - Homologia persistente

- 1 - Módulos de persistência
- 2 - Decomposição
- 3 - Estabilidade

# V - Aplicações

Em topologia, estudamos **espaços topológicos**.

**Definição:** um espaço topológico é um conjunto  $X$  dotado de uma coleção de **conjuntos abertos**  $\{O_\alpha, \alpha \in A\}$ , com  $O_\alpha \subset X$ , tal que

- $\emptyset$  e  $X$  são conjuntos abertos,
- uma união infinita de conjuntos abertos é um conjunto aberto,
- uma interseção finita de conjuntos abertos é um conjunto aberto.

**Definição:** Dados dois espaços topológicos  $X$  e  $Y$ , uma função  $f: X \rightarrow Y$  é **contínua** se para cada conjunto aberto  $O \subset Y$ , ta pré-imagem  $f^{-1}(O)$  é um conjunto aberto de  $X$ .

$$X \xrightarrow{\hspace{1cm}} Y$$

Em topologia, estudamos **espaços topológicos**.

**Definição:** um espaço topológico é um conjunto  $X$  dotado de uma coleção de **conjuntos abertos**  $\{O_\alpha, \alpha \in A\}$ , com  $O_\alpha \subset X$ , tal que

- $\emptyset$  e  $X$  são conjuntos abertos,
- uma união infinita de conjuntos abertos é um conjunto aberto,
- uma interseção finita de conjuntos abertos é um conjunto aberto.

**Definição:** Dados dois espaços topológicos  $X$  e  $Y$ , uma função  $f: X \rightarrow Y$  é **contínua** se para cada conjunto aberto  $O \subset Y$ , ta pré-imagem  $f^{-1}(O)$  é um conjunto aberto de  $X$ .

$$X \xrightarrow{\hspace{1cm}} Y$$

tradução em  
cálculo  $\epsilon-\delta$

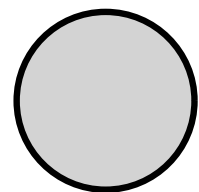
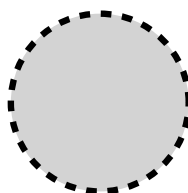
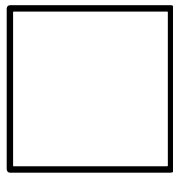
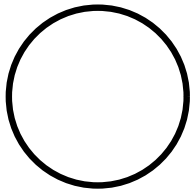
Podemos pensar em **subconjunto**  $X \subset \mathbb{R}^n$  e  $Y \subset \mathbb{R}^m$ ,

e funções  $f: X \rightarrow Y$  **contínuas** no seguinte sentido:

$$\forall x \in X, \forall \epsilon > 0, \exists \eta > 0, \forall y \in X, \|x - y\| < \eta \implies \|f(x) - f(y)\| < \epsilon.$$

No  $\mathbb{R}^n$ , podemos definir:

- a esfera de raio unitário  $\mathbb{S}_{n-1} = \{x \in \mathbb{R}^n, \|x\| = 1\}$
- o cubo  $\mathcal{C}_{n-1} = \{x = (x_1, \dots, x_n) \in \mathbb{R}^n, \max(|x_1|, \dots, |x_n|) = 1\}$
- as bolas abertas  $\mathcal{B}(x, r) = \{y \in \mathbb{R}^n, \|x - y\| < r\}$
- as bolas fechadas  $\overline{\mathcal{B}}(x, r) = \{y \in \mathbb{R}^n, \|x - y\| \leq r\}$

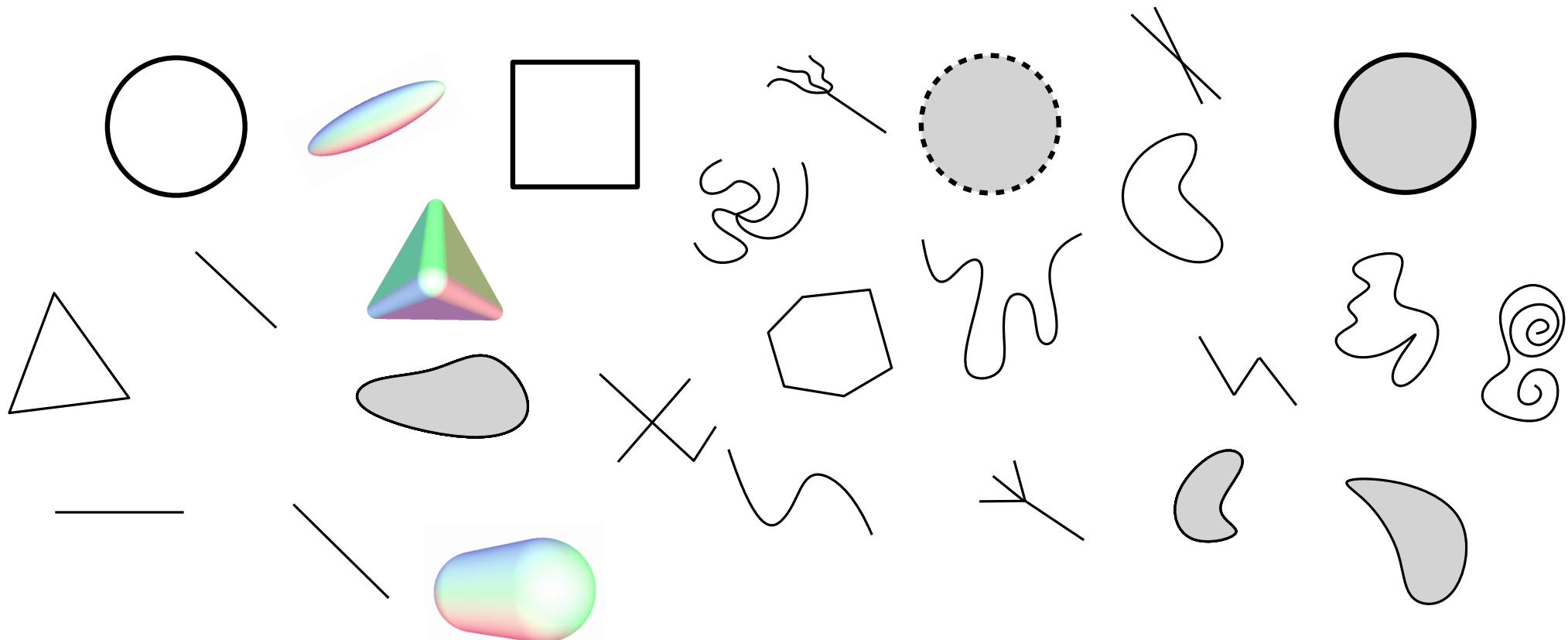


# Exemplos de espaços topológicos

5/69 (2/3)

No  $\mathbb{R}^n$ , podemos definir:

- a esfera de raio unitário  $\mathbb{S}_{n-1} = \{x \in \mathbb{R}^n, \|x\| = 1\}$
  - o cubo  $\mathcal{C}_{n-1} = \{x = (x_1, \dots, x_n) \in \mathbb{R}^n, \max(|x_1|, \dots, |x_n|) = 1\}$
  - as bolas abertas  $\mathcal{B}(x, r) = \{y \in \mathbb{R}^n, \|x - y\| < r\}$
  - as bolas fechadas  $\overline{\mathcal{B}}(x, r) = \{y \in \mathbb{R}^n, \|x - y\| \leq r\}$



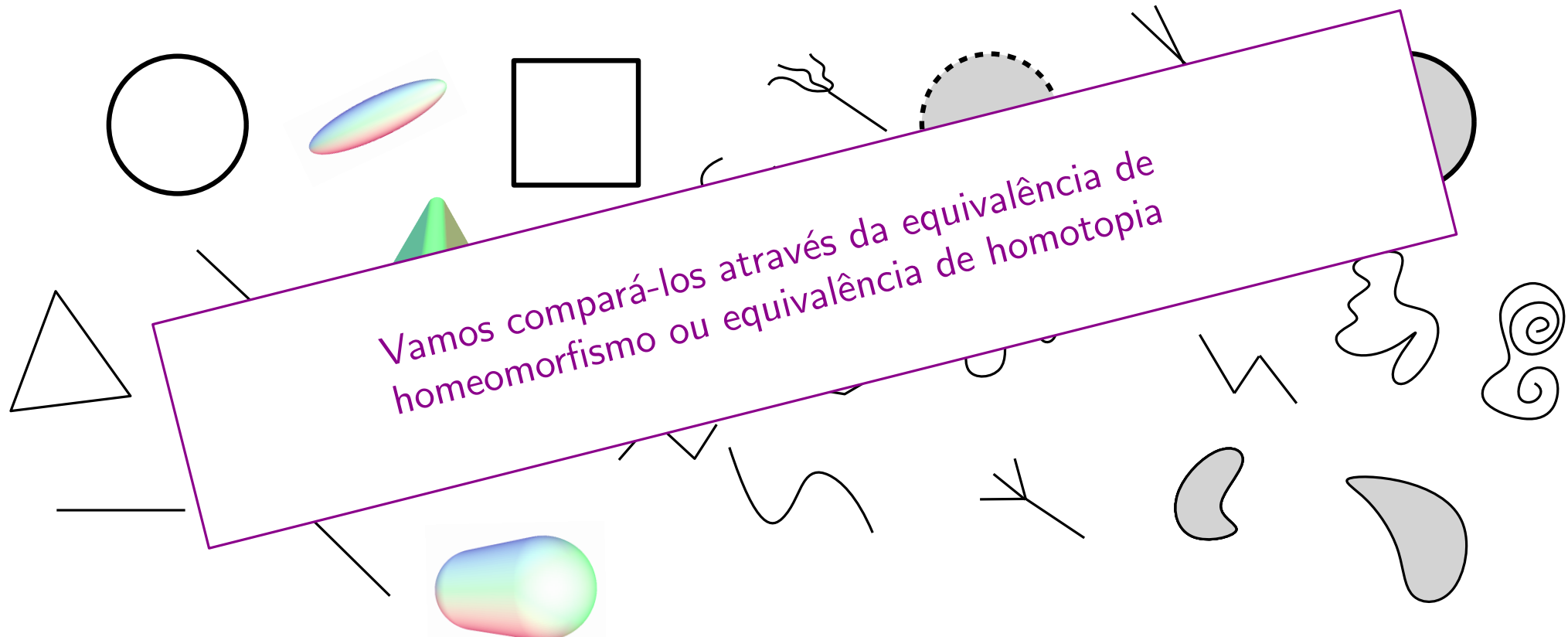
Geralmente, não temos uma linda definição algébrica...

# Exemplos de espaços topológicos

5/69 (3/3)

No  $\mathbb{R}^n$ , podemos definir:

- a esfera de raio unitário  $\mathbb{S}_{n-1} = \{x \in \mathbb{R}^n, \|x\| = 1\}$
- o cubo  $\mathcal{C}_{n-1} = \{x = (x_1, \dots, x_n) \in \mathbb{R}^n, \max(|x_1|, \dots, |x_n|) = 1\}$
- as bolas abertas  $\mathcal{B}(x, r) = \{y \in \mathbb{R}^n, \|x - y\| < r\}$
- as bolas fechadas  $\overline{\mathcal{B}}(x, r) = \{y \in \mathbb{R}^n, \|x - y\| \leq r\}$



Geralmente, não temos uma linda definição algébrica...

# I - Comparar espaços topológicos

1 - Equivalência de homeomorfia

2 - Equivalência de homotopia

# II - Invariante topológico

1 - Número de componentes conexas

2 - Característica de Euler

3 - Números de Betti

4 - Homologia (simplicial sobre  $\mathbb{Z}/2\mathbb{Z}$ )

# III - Inferência topológica

1 - Estimação do parâmetro  $t$

2 - Nervos

# IV - Homologia persistente

1 - Módulos de persistência

2 - Decomposição

3 - Estabilidade

# V - Aplicações

**Definition:** Sejam  $X$  e  $Y$  dois espaços topológicos, e  $f: X \rightarrow Y$  uma função.

Dizemos que  $f$  é um **homeomorfismo** se

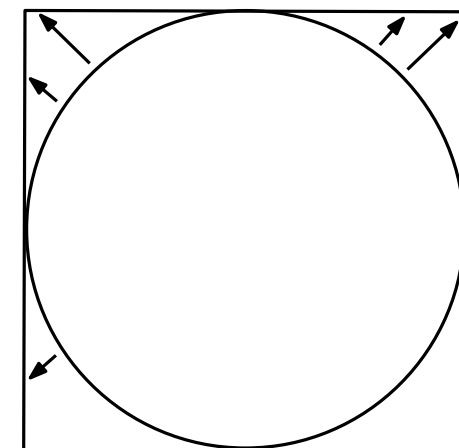
- $f$  é uma bijeção,
- $f: X \rightarrow Y$  é contínua,
- $f^{-1}: Y \rightarrow X$  é contínua.

Se existe tal homeomorfismo, dizemos que os dois espaços topológicos são **homeomórficos**.

**Exemplo:** O círculo e o quadrado são homeomórficos via

$$f: \mathbb{S}_1 \longrightarrow \mathcal{C}$$

$$(x_1, x_2) \longmapsto \frac{1}{\max(|x_1|, |x_2|)}(x_1, x_2)$$



**Interpretação:** Os homeomorfismos permitem 'deformações contínuas'.

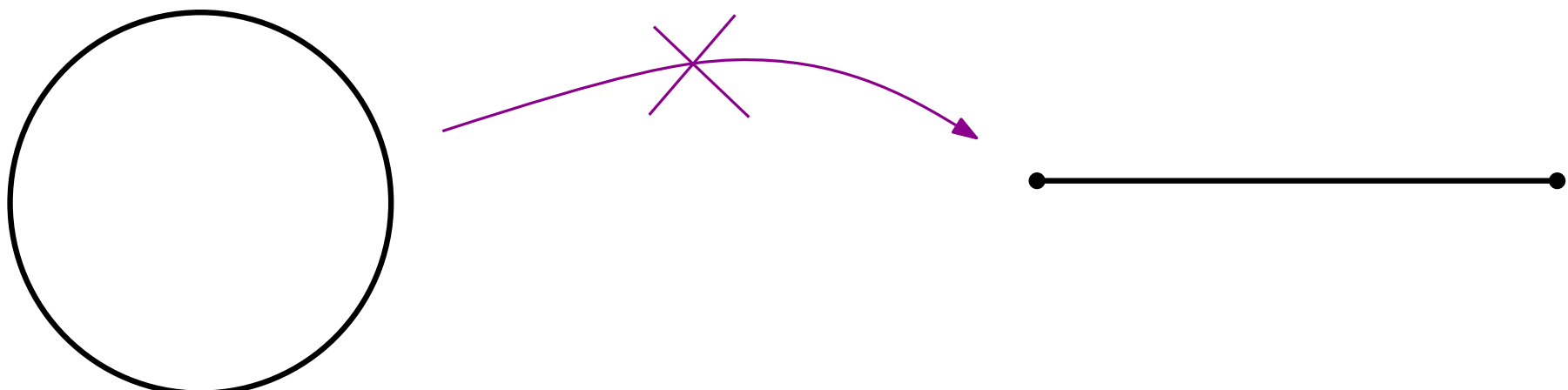
**Definition:** Sejam  $X$  e  $Y$  dois espaços topológicos, e  $f: X \rightarrow Y$  uma função.

Dizemos que  $f$  é um **homeomorfismo** se

- $f$  é uma bijeção,
- $f: X \rightarrow Y$  é contínua,
- $f^{-1}: Y \rightarrow X$  é contínua.

Se existe tal homeomorfismo, dizemos que os dois espaços topológicos são **homeomórficos**.

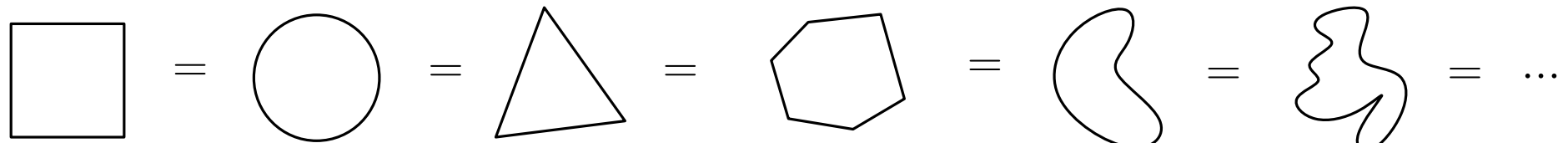
**Exemplo:** O círculo e o intervalo  $[0, 1]$  não são homeomórficos.



# Classes de homeomorfismo

8/69 (1/4)

Podemos reunir espaços topológicos que são homeomórficos

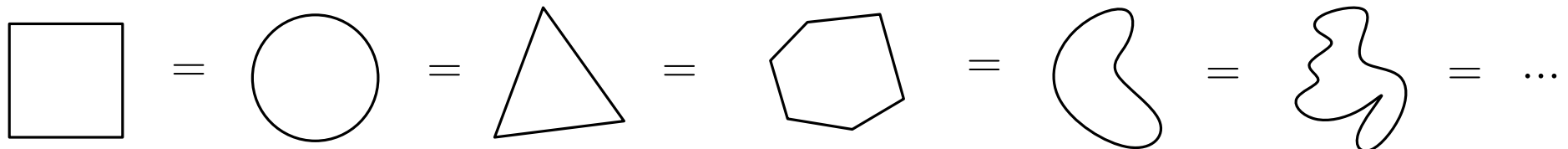


a classe dos círculos

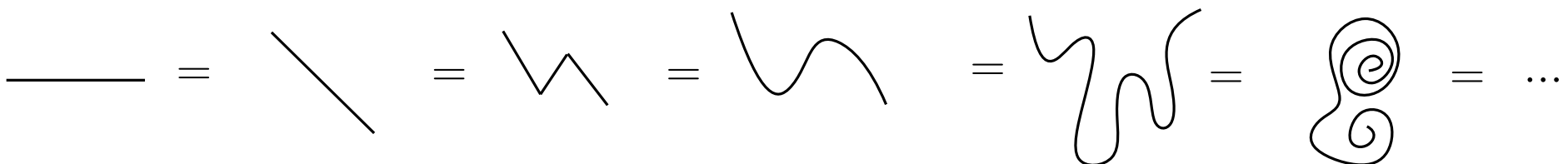
# Classes de homeomorfismo

8/69 (2/4)

Podemos reunir espaços topológicos que são homeomórficos



a classe dos círculos

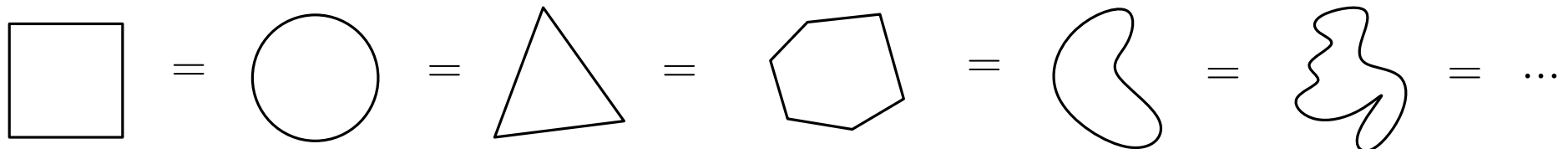


a classe dos intervalos

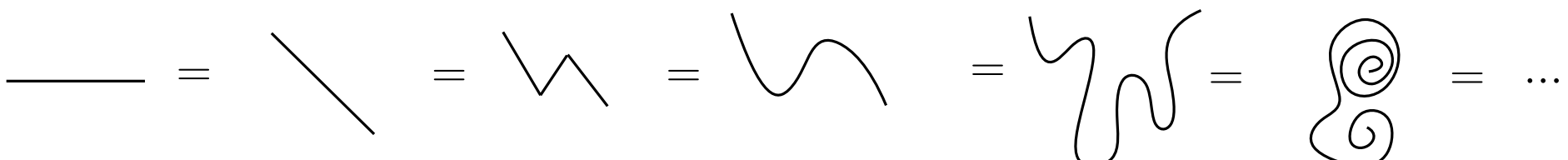
# Classes de homeomorfismo

8/69 (3/4)

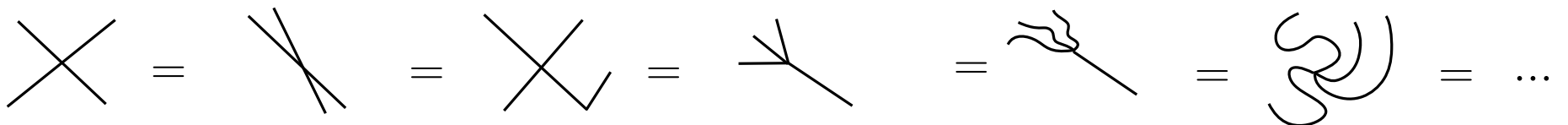
Podemos reunir espaços topológicos que são homeomórficos



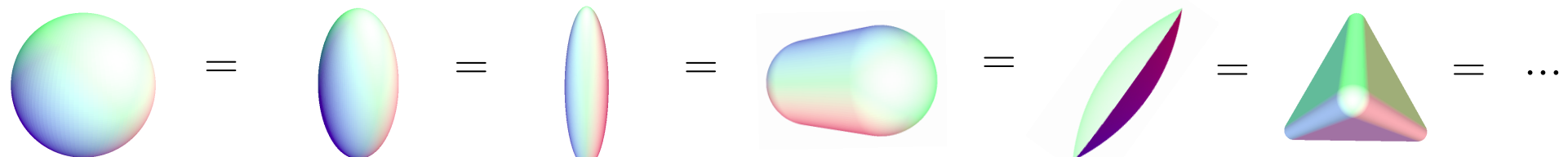
a classe dos círculos



a classe dos intervalos

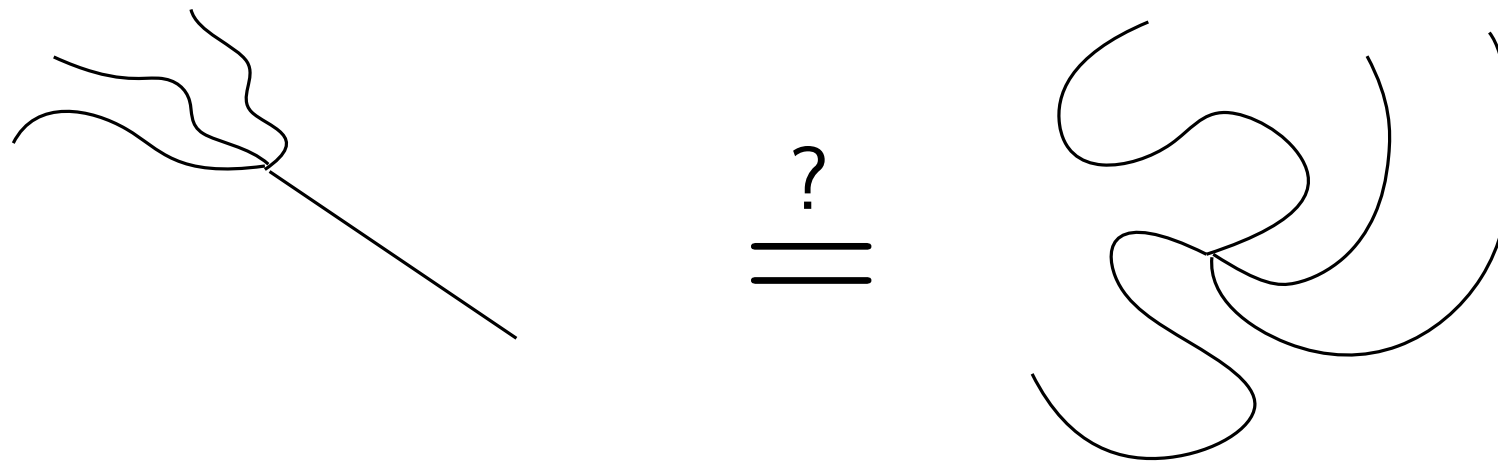


a classe das cruzes



a classe das esferas

Em geral, pode ser complicado determinar se dois espaços são homeomórficos.



Para responder a este problema, usaremos a noção de **invariante**s.

# I - Comparar espaços topológicos

- 1 - Equivalência de homeomorfia
- 2 - Equivalência de homotopia

# II - Invariante topológico

- 1 - Número de componentes conexas
- 2 - Característica de Euler
- 3 - Números de Betti
- 4 - Homologia (simplicial sobre  $\mathbb{Z}/2\mathbb{Z}$ )

# III - Inferência topológica

- 1 - Estimação do parâmetro  $t$
- 2 - Nervos

# IV - Homologia persistente

- 1 - Módulos de persistência
- 2 - Decomposição
- 3 - Estabilidade

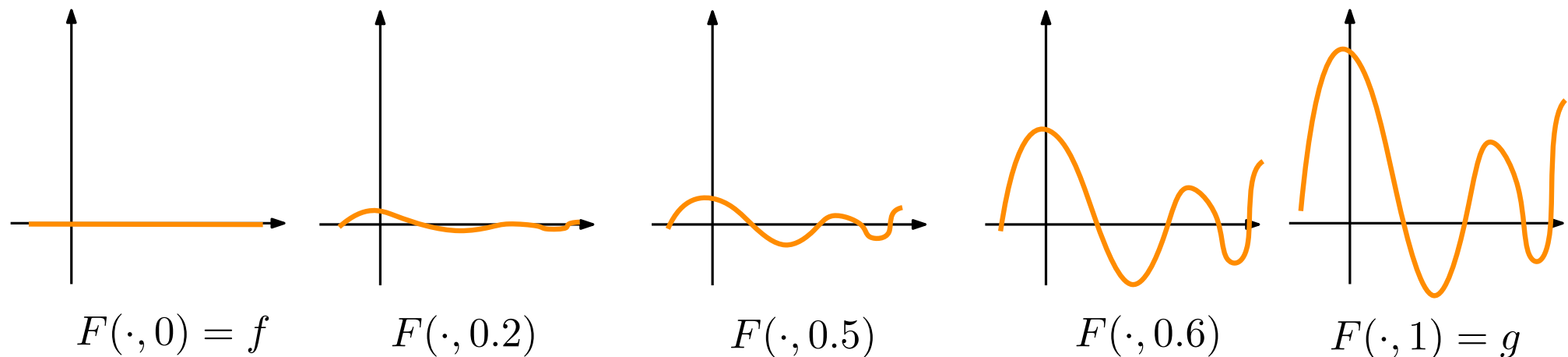
# V - Aplicações

**Definição:** Sejam  $X, Y$  dois espaços topológicos, and  $f, g: X \rightarrow Y$  dois funções contínuas. Uma **homotopia** entre  $f$  e  $g$  é uma colecção  $(f_t: X \rightarrow Y, t \in [0, 1])$  tal que:

- $f_0$  é igual a  $f$ ,
- $f_1$  é igual a  $g$ ,
- a função  $F: X \times [0, 1] \rightarrow Y$  definida como  $F(x, t) = f_t(x)$  é contínua.

Se tal homotopia existe, dizemos que as funções  $f$  e  $g$  são **homotópicas**.

**Exemplo:** Homotopia entre  $f: \mathbb{R} \rightarrow \mathbb{R}$  e  $g: \mathbb{R} \rightarrow \mathbb{R}$ .



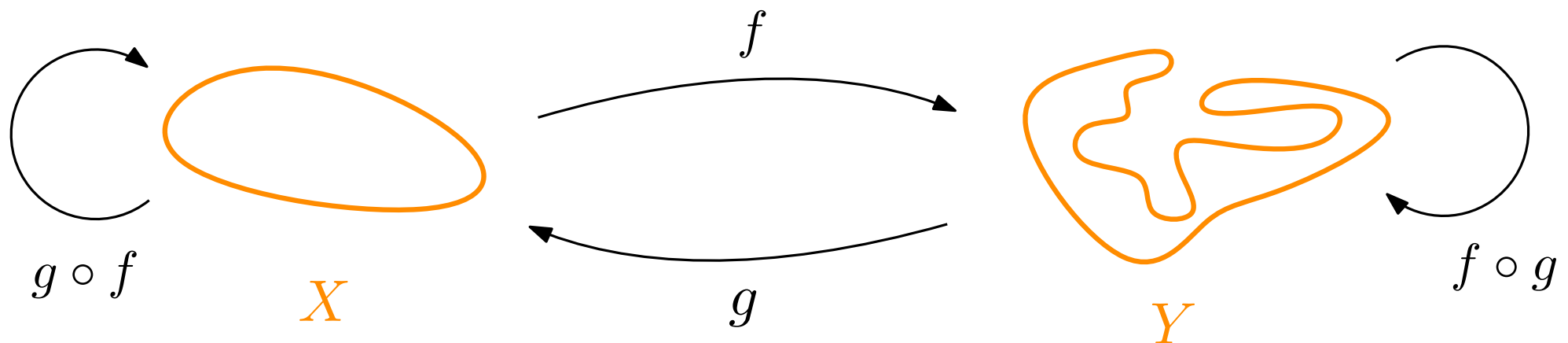
# Equivalência de homotopia

11/69 (1/2)

**Defintion:** Sejam  $X$ ,  $Y$  dois espaços topológicos. Uma **equivalência de homotopia** entre  $X$  e  $Y$  é um par de funções  $f: X \rightarrow Y$  e  $g: Y \rightarrow X$  tais que:

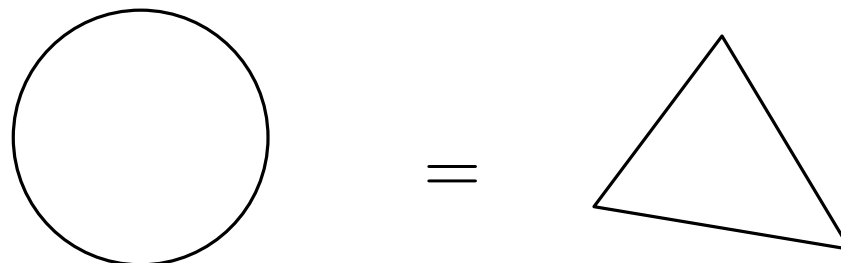
- $g \circ f: X \rightarrow X$  é homotópica à função identidade  $\text{id}: X \rightarrow X$ ,
- $f \circ g: Y \rightarrow Y$  é homotópica à função identidade  $\text{id}: Y \rightarrow Y$ .

Se tal equivalência de homotopia existe, dizemos que  $X$  e  $Y$  são **homotopicamente equivalentes**.

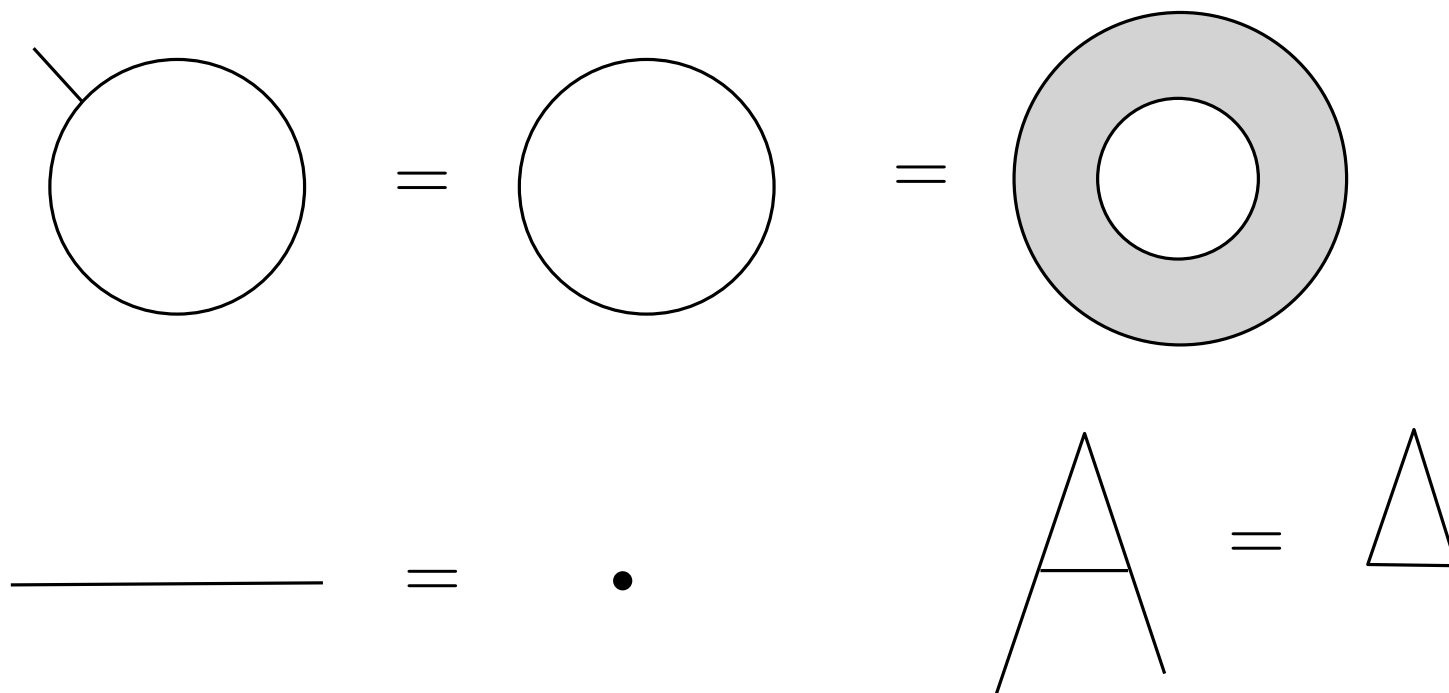


**Proposição:** Se dois espaços topológicos são homeomórficos, então eles são homotopicamente equivalentes.

A equivalência da homotopia permite **deformar** continuamente o espaço



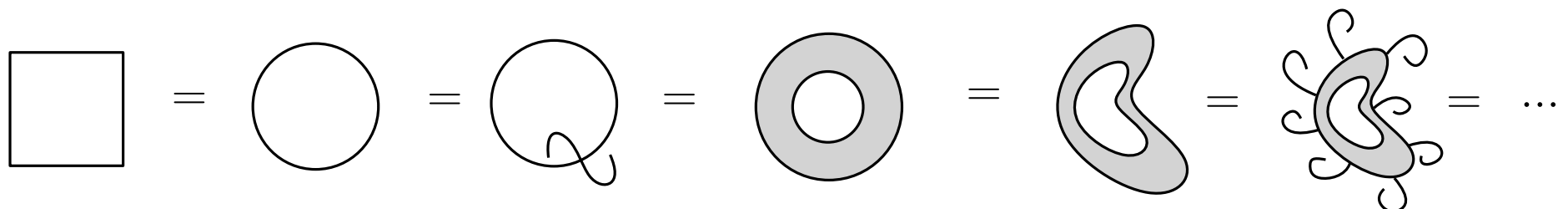
e **retrair** ele.



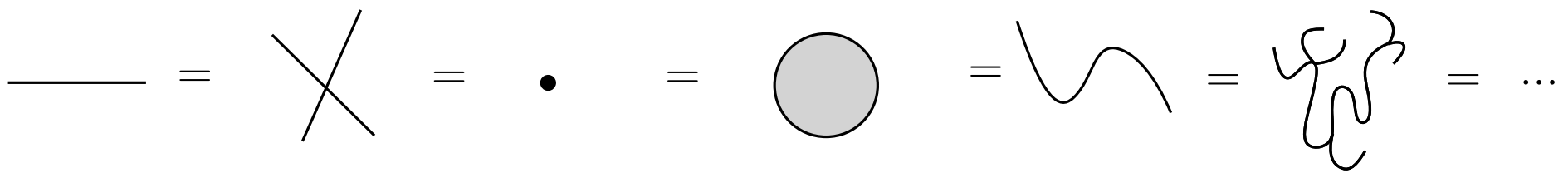
# Classes de homotopia

12/69 (1/3)

Assim como antes, podemos classificar os espaços topológicos de acordo com esta relação, e obter **classes de equivalência de homotopia**.



a classe dos círculos



a classe dos pontos

a classe das esferas, a classe dos toros, a classe das garrafas de Klein, ...

Exemplo: Classificar os seguintes espaços em classes de homotopia.

A



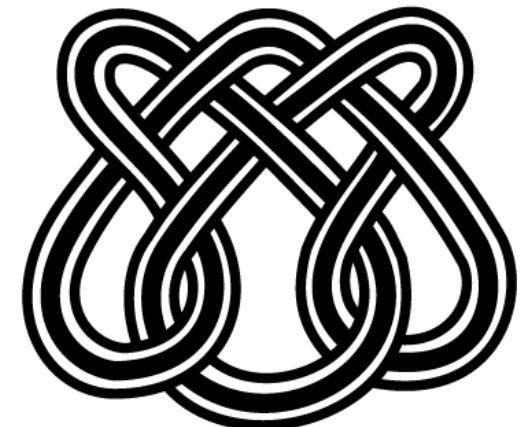
B



C



D



E

F

Exemplo: Classificar os seguintes espaços em classes de homotopia.

C   E   F

$\approx$

•

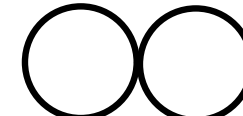
A   D   

$\approx$



B

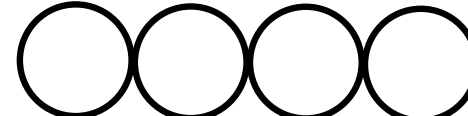
$\approx$



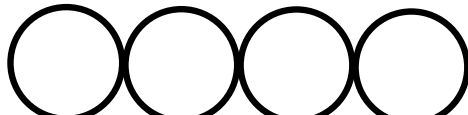
$\approx$



$\approx$



$\approx$



•

# I - Comparar espaços topológicos

- 1 - Equivalência de homeomorfia
- 2 - Equivalência de homotopia

# II - Invariantes topológicos

- 1 - Número de componentes conexas
- 2 - Característica de Euler
- 3 - Números de Betti
- 4 - Homologia (simplicial sobre  $\mathbb{Z}/2\mathbb{Z}$ )

# III - Inferência topológica

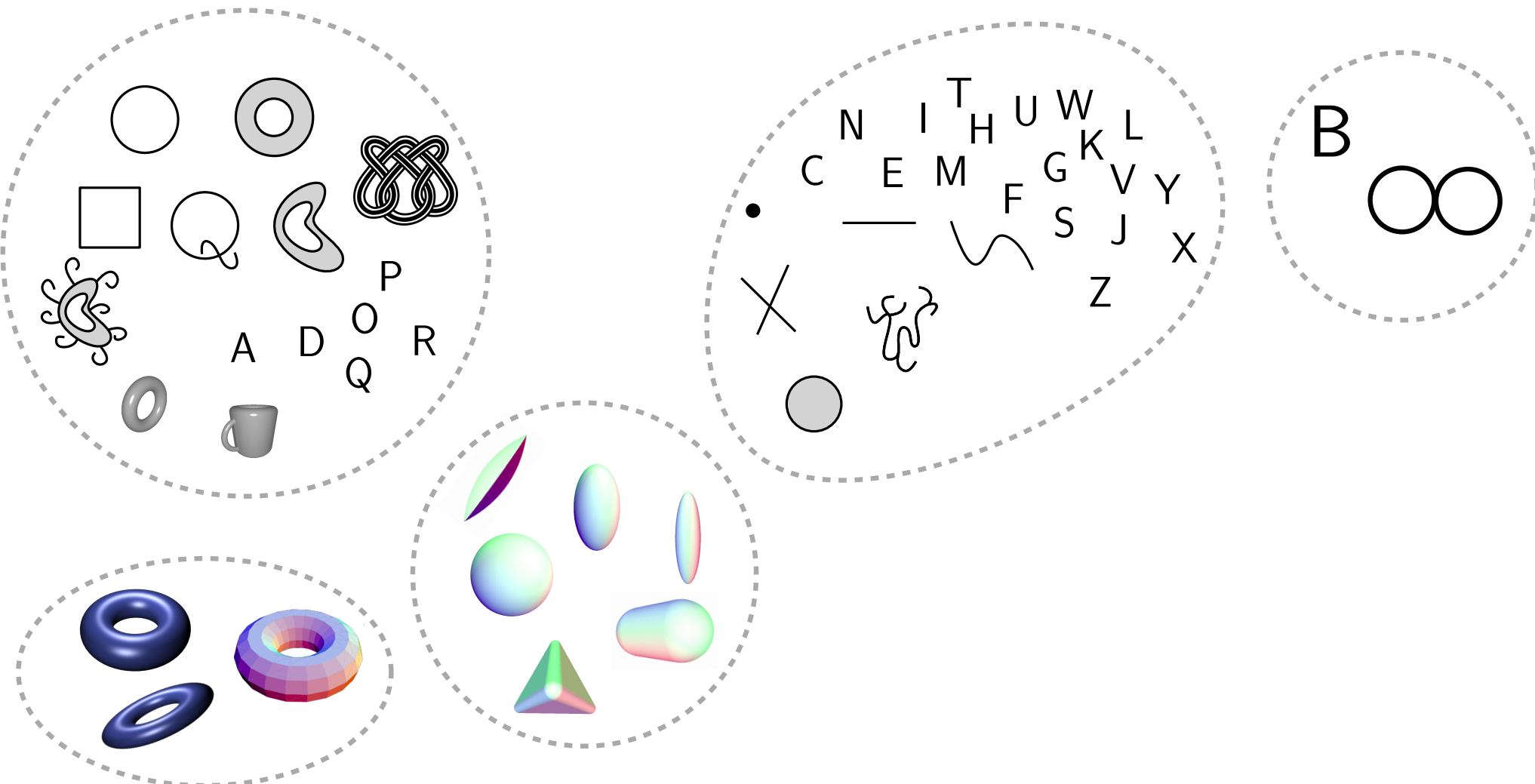
- 1 - Estimação do parâmetro  $t$
- 2 - Nervos

# IV - Homologia persistente

- 1 - Módulos de persistência
- 2 - Decomposição
- 3 - Estabilidade

# V - Aplicações

Reunimos os espaços topológicos em classes de homotopia.

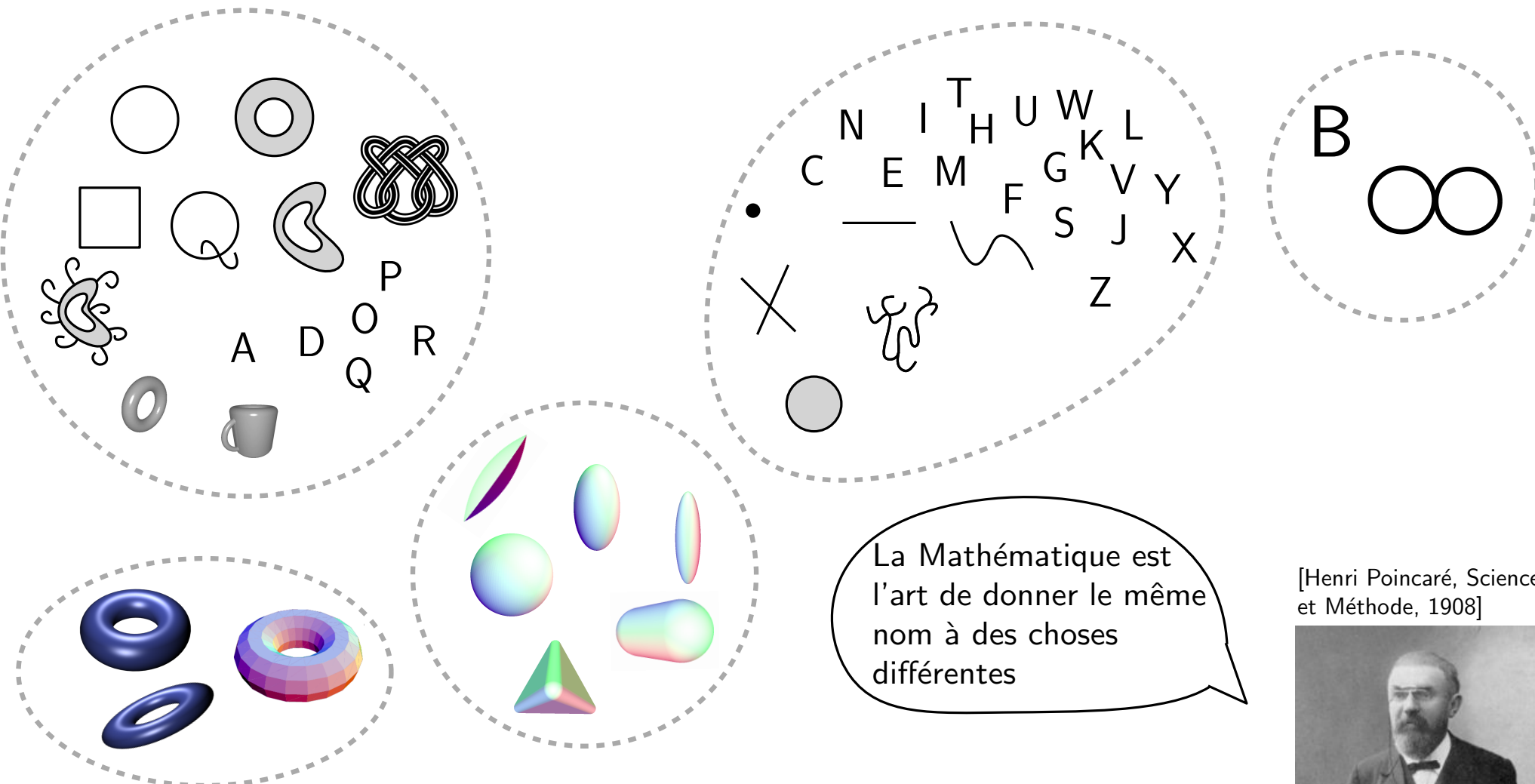


- Dado um espaço topológico de  $X$ , como reconhecer em que classe ele pertence?
- Quais são as **características comuns** dos espaços numa mesma classe?

# Invariante

14/69 (2/2)

Reunimos os espaços topológicos em classes de homotopia.



- Dado um espaço topológico de  $X$ , como reconhecer em que classe ele pertence?
- Quais são as **características comuns** dos espaços numa mesma classe?

# I - Comparar espaços topológicos

- 1 - Equivalência de homeomorfia
- 2 - Equivalência de homotopia

# II - Invariantes topológicos

- 1 - Número de componentes conexas
- 2 - Característica de Euler
- 3 - Números de Betti
- 4 - Homologia (simplicial sobre  $\mathbb{Z}/2\mathbb{Z}$ )

# III - Inferência topológica

- 1 - Estimação do parâmetro  $t$
- 2 - Nervos

# IV - Homologia persistente

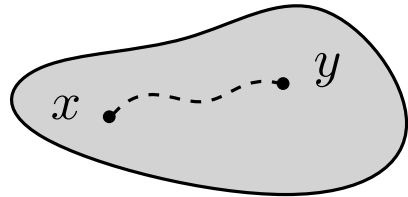
- 1 - Módulos de persistência
- 2 - Decomposição
- 3 - Estabilidade

# V - Aplicações

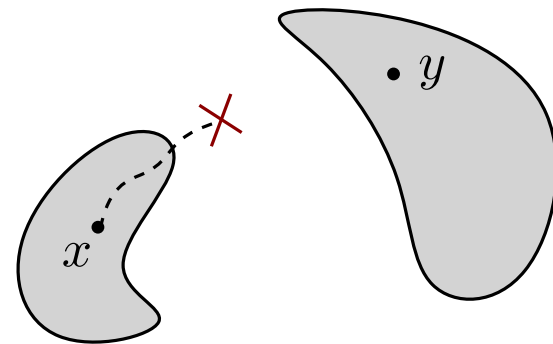
# Componentes conexas

16/69 (1/2)

**Definição:** Um subconjunto  $X \subset \mathbb{R}^n$  é **conexo** (por arcos) se quaisquer dois dos seus pontos estão ligados por um caminho, ou seja, por todos  $x, y \in X$ , existe uma função  $f: [0, 1] \rightarrow X$  contínua tal que  $f(0) = x$  e  $f(1) = y$ .



espaço conexo

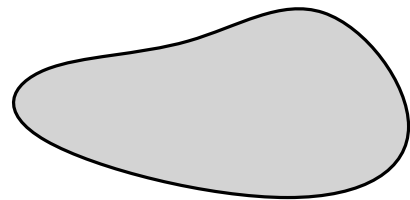


espaço não conexo

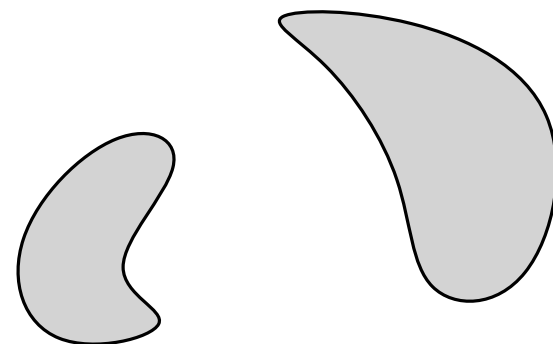
# Componentes conexas

16/69 (2/2)

**Definição:** Um subconjunto  $X \subset \mathbb{R}^n$  é **conexo** (por arcos) se quaisquer dois dos seus pontos estão ligados por um caminho, ou seja, por todos  $x, y \in X$ , existe uma função  $f: [0, 1] \rightarrow X$  contínua tal que  $f(0) = x$  e  $f(1) = y$ .

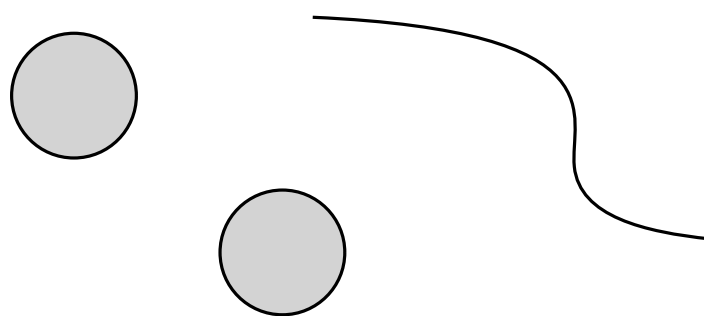
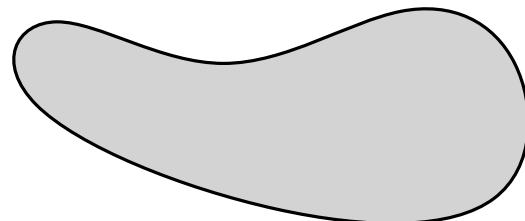


espaço conexo



espaço não conexo

De modo geral, todo espaço topológico  $X$  pode ser dividido em **componentes conexas**.



# Propriedade de invariância - em teoria

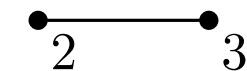
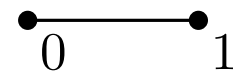
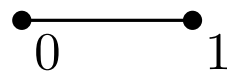
17/69 (1/3)

**Proposição:** Se dois espaços  $X$  e  $Y$  são homotopicamente equivalentes, então eles têm o mesmo número de componentes conexas.

**Consequência:** Se dois espaços  $X$  e  $Y$  são homeomórficos, então eles têm o mesmo número de componentes conexas.

**Exemplo:** Os subconjuntos  $[0, 1]$  e  $[0, 1] \cup [2, 3]$  do  $\mathbb{R}$  eles não são homeomórficos, nem homotopicamente equivalentes.

De fato, o primeiro tem uma componente conexa, e o segundo duas.



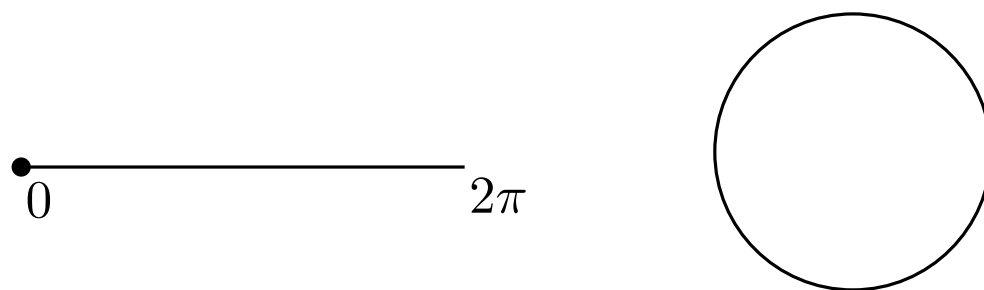
# Propriedade de invariância - em teoria

17/69 (2/3)

**Proposição:** Se dois espaços  $X$  e  $Y$  são homotopicamente equivalentes, então eles têm o mesmo número de componentes conexas.

**Exemplo:** O intervalo  $[0, 2\pi)$  e o círculo  $\mathbb{S}_1 \subset \mathbb{R}^2$  não são homeomórficos.

Provaremos isto por contradição. Suponhamos que sejam homeomórficos. Por definição, isto significa que existe uma função  $f: [0, 2\pi) \rightarrow \mathbb{S}_1$  que é contínua, invertível, e com inversa contínua.



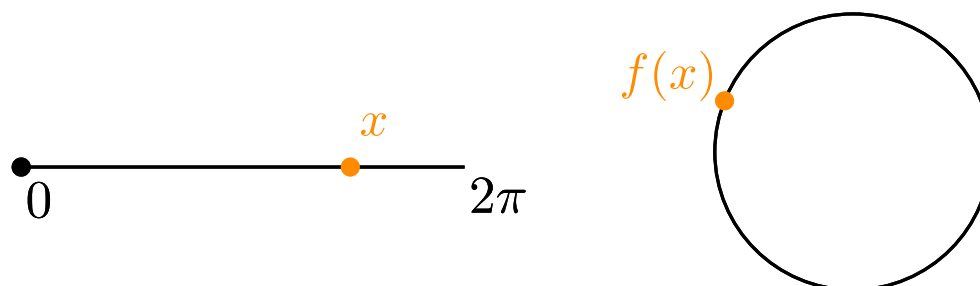
# Propriedade de invariância - em teoria

17/69 (3/3)

**Proposição:** Se dois espaços  $X$  e  $Y$  são homotopicamente equivalentes, então eles têm o mesmo número de componentes conexas.

**Exemplo:** O intervalo  $[0, 2\pi)$  e o círculo  $\mathbb{S}_1 \subset \mathbb{R}^2$  não são homeomórficos.

Provaremos isto por contradição. Suponhamos que sejam homeomórficos. Por definição, isto significa que existe uma função  $f: [0, 2\pi) \rightarrow \mathbb{S}_1$  que é contínua, invertível, e com inversa contínua.



Seja  $x \in [0, 2\pi)$  tal que  $x \neq 0$ . Considere os subconjuntos  $[0, 2\pi) \setminus \{x\} \subset [0, 2\pi)$  e  $\mathbb{S}_1 \setminus \{f(x)\} \subset \mathbb{S}_1$ , e a função induzida

$$g: [0, 2\pi) \setminus \{x\} \rightarrow \mathbb{S}_1 \setminus \{f(x)\}.$$

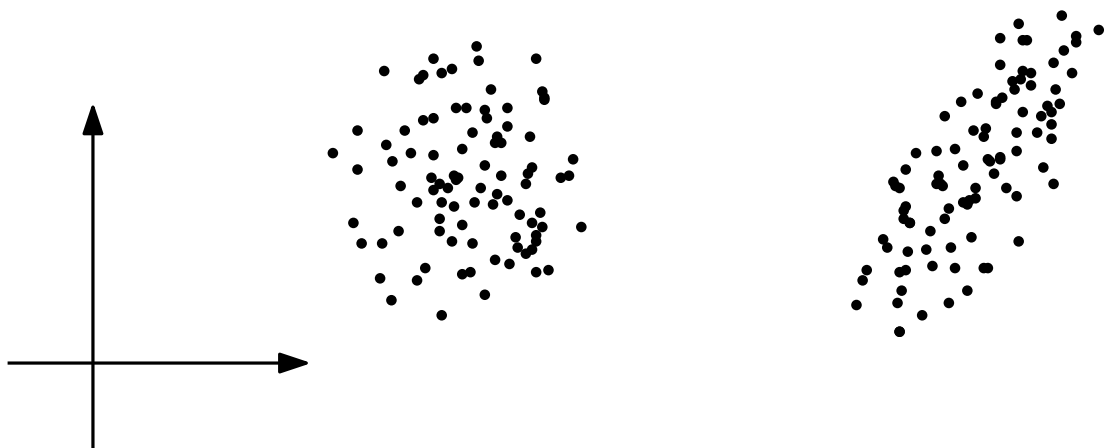
A função  $g$  é um homeomorfismo.

Porém,  $[0, 2\pi) \setminus \{x\}$  tem duas componentes conexas, a  $t\mathbb{S}_1 \setminus \{f(x)\}$  apenas uma. Isto é um absurdo.

# Propriedade de invariância - aplicações

18/69 (1/2)

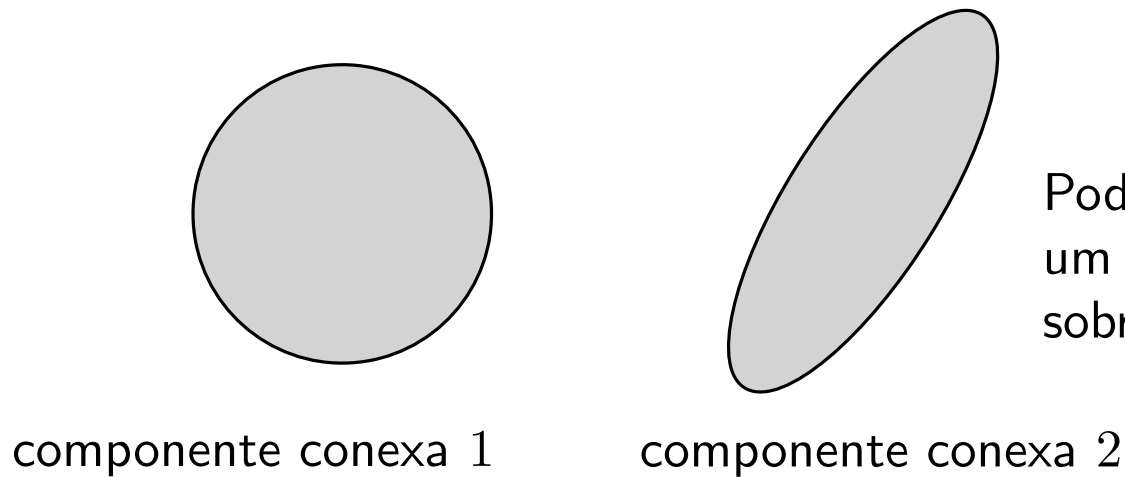
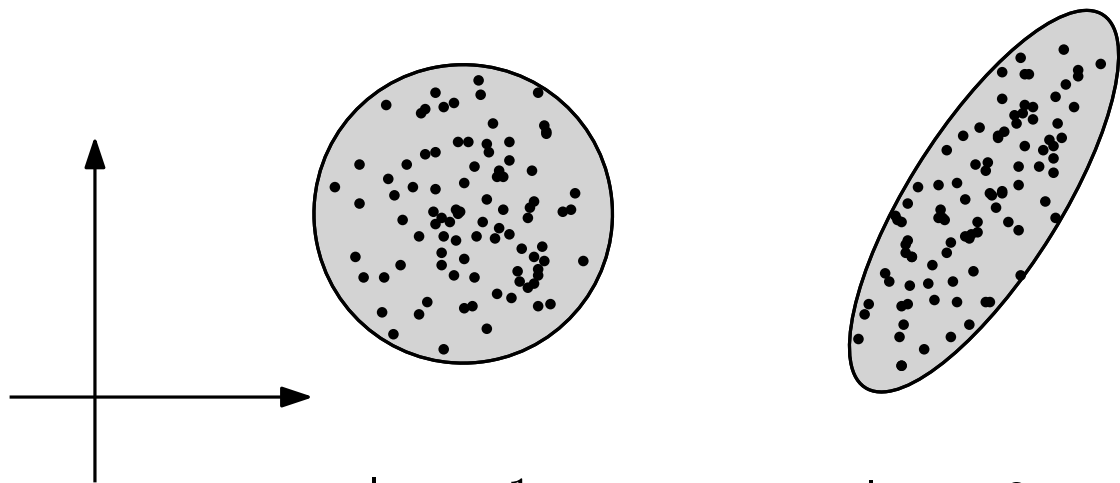
Nas aplicações, encontrar componentes conexas corresponde a uma tarefa **classificação**.



# Propriedade de invariância - aplicações

18/69 (2/2)

Nas aplicações, encontrar componentes conexas corresponde a uma tarefa **classificação**.



Podemos pensar nestes conjuntos como um **espaço topológico subjacente**, sobre os quais os pontos são amostrados.

# I - Comparar espaços topológicos

- 1 - Equivalência de homeomorfia
- 2 - Equivalência de homotopia

# II - Invariante topológico

- 1 - Número de componentes conexas
- 2 - Característica de Euler
- 3 - Números de Betti
- 4 - Homologia (simplicial sobre  $\mathbb{Z}/2\mathbb{Z}$ )

# III - Inferência topológica

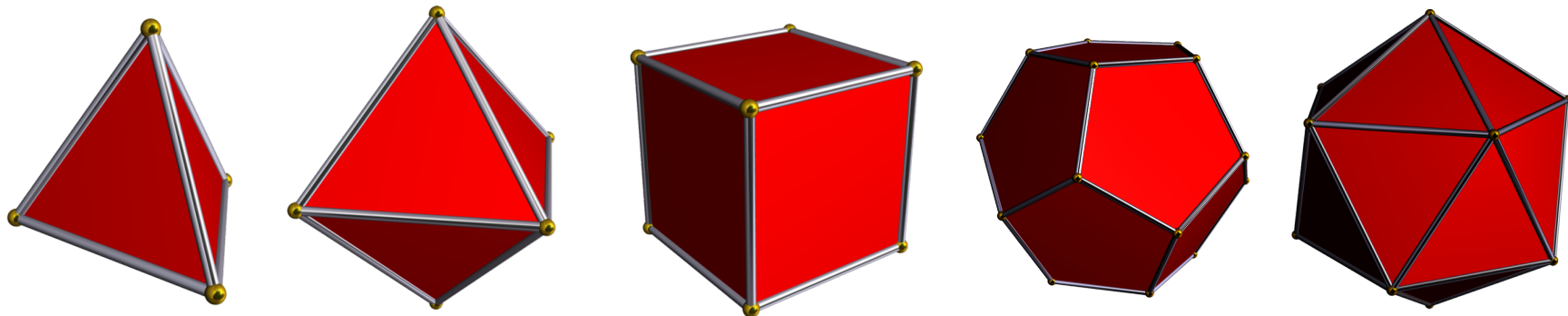
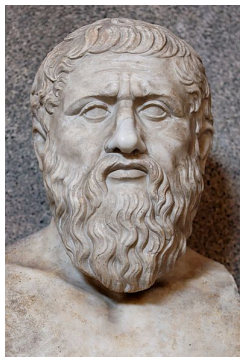
- 1 - Estimação do parâmetro  $t$
- 2 - Nervos

# IV - Homologia persistente

- 1 - Módulos de persistência
- 2 - Decomposição
- 3 - Estabilidade

# V - Aplicações

# Característica de Euler para poliedros 20/69 (1/2)

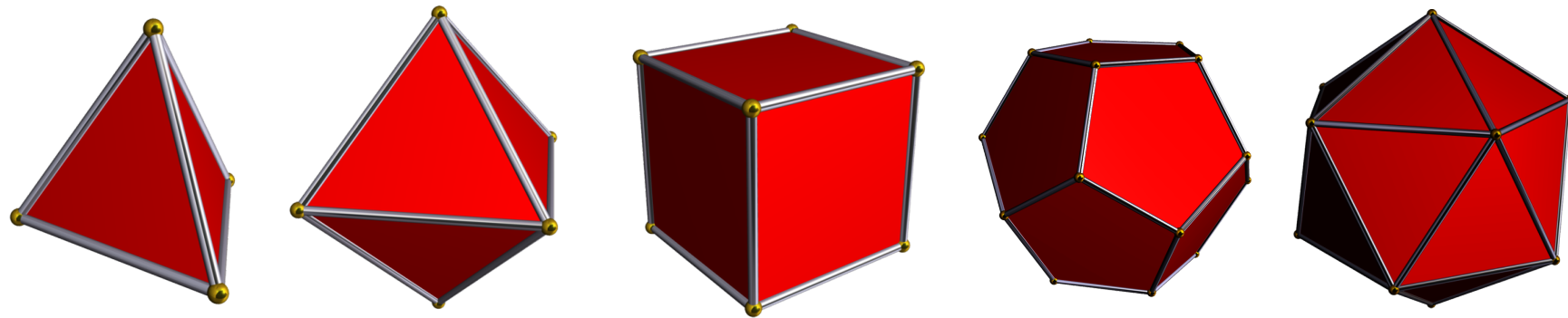
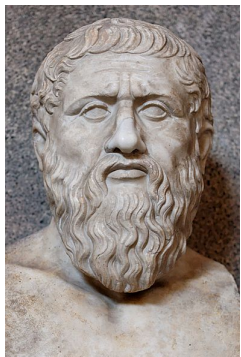


número de faces	4	8	6	12	20
-----------------	---	---	---	----	----

número de arestas	6	12	12	30	30
-------------------	---	----	----	----	----

número de vértices	4	6	8	20	12
--------------------	---	---	---	----	----

# Característica de Euler para poliedros 20/69 (2/2)



número de faces	4	8	6	12	20
número de arestas	6	12	12	30	30
número de vértices	4	6	8	20	12
$\chi$	2	2	2	2	2



Proposição [Euler, 1758]: Em qualquer poliedro convexo, temos  
número de faces – número de arestas + número de vértices = 2

# Característica de Euler para complexos

21/69 (1/5)

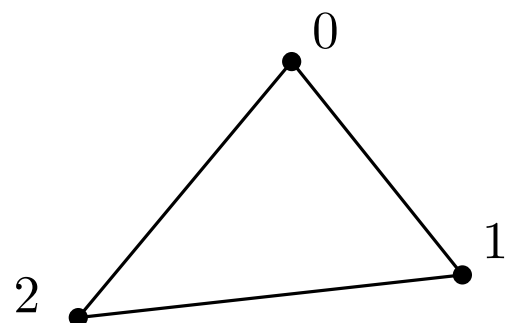
**Definição:** Seja  $V$  um conjunto (chamado o conjunto de vértices). Um **complexo simplicial** é uma colecção  $K$  de subconjuntos de  $V$  (chamados os *simplexos*) tais que, por todo  $\sigma \in K$  e todo  $\tau \subset \sigma$ , temos  $\tau \in K$ .

A **dimensão** de um simplexo  $\sigma \in K$  é definida como  $|\sigma| - 1$ .

**Exemplo:** Sejam  $V = \{0, 1, 2\}$  e

$$K = \{[0], [1], [2], [0, 1], [1, 2], [0, 2]\}.$$

É um complexo simplicial.



Contém três simplexos de dimensão 0 ( $[0]$ ,  $[1]$  e  $[2]$ ) e três simplexos de dimensão 1 ( $[0, 1]$ ,  $[1, 2]$  e  $[0, 2]$ ).

# Característica de Euler para complexos

21/69 (2/5)

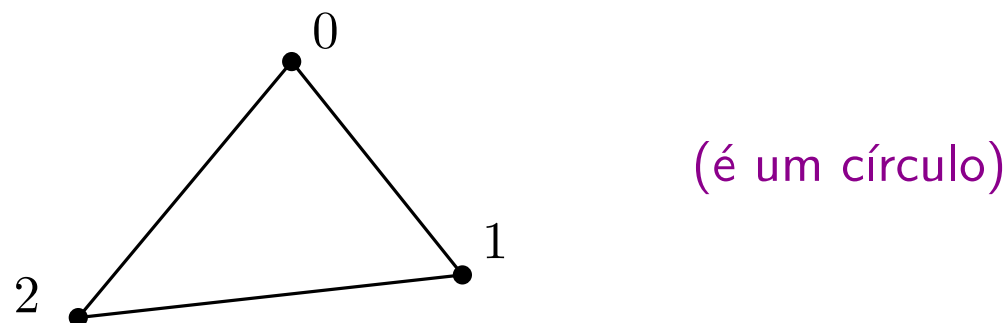
**Definição:** Seja  $V$  um conjunto (chamado o conjunto de vértices). Um **complexo simplicial** é uma colecção  $K$  de subconjuntos de  $V$  (chamados os *simplexos*) tais que, por todo  $\sigma \in K$  e todo  $\tau \subset \sigma$ , temos  $\tau \in K$ .

A **dimensão** de um simplexo  $\sigma \in K$  é definida como  $|\sigma| - 1$ .

**Exemplo:** Sejam  $V = \{0, 1, 2\}$  e

$$K = \{[0], [1], [2], [0, 1], [1, 2], [0, 2]\}.$$

É um complexo simplicial.



Contém três simplexos de dimensão 0 ( $[0]$ ,  $[1]$  e  $[2]$ ) e três simplexos de dimensão 1 ( $[0, 1]$ ,  $[1, 2]$  e  $[0, 2]$ ).

# Característica de Euler para complexos

21/69 (3/5)

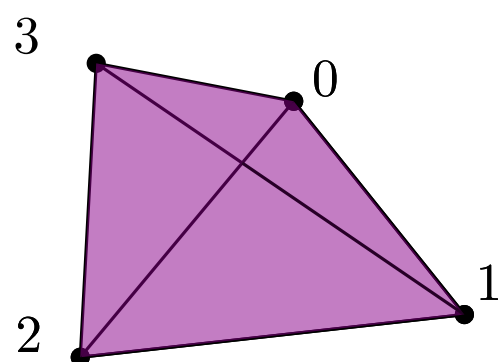
**Definição:** Seja  $V$  um conjunto (chamado o conjunto de vértices). Um **complexo simplicial** é uma colecção  $K$  de subconjuntos de  $V$  (chamados os *simplexos*) tais que, por todo  $\sigma \in K$  e todo  $\tau \subset \sigma$ , temos  $\tau \in K$ .

A **dimensão** de um simplexo  $\sigma \in K$  é definida como  $|\sigma| - 1$ .

**Exemplo:** Sejam  $V = \{0, 1, 2, 3\}$  e

$$K = \{[0], [1], [2], [3], [0, 1], [1, 2], [2, 3], [3, 0], [0, 2], [1, 3], [0, 1, 2], [0, 1, 3], [0, 2, 3], [1, 2, 3]\}$$

É um complexo simplicial.



Contém quatro simplexos de dimensão 0 ( $[0]$ ,  $[1]$ ,  $[2]$  e  $[3]$ ), seis simplexos de dimensão 1 ( $[0, 1]$ ,  $[1, 2]$ ,  $[2, 3]$ ,  $[3, 0]$ ,  $[0, 2]$  e  $[1, 3]$ ) e quatro simplexos de dimensão 2 ( $[0, 1, 2]$ ,  $[0, 1, 3]$ ,  $[0, 2, 3]$  e  $[1, 2, 3]$ ).

# Característica de Euler para complexos

21/69 (4/5)

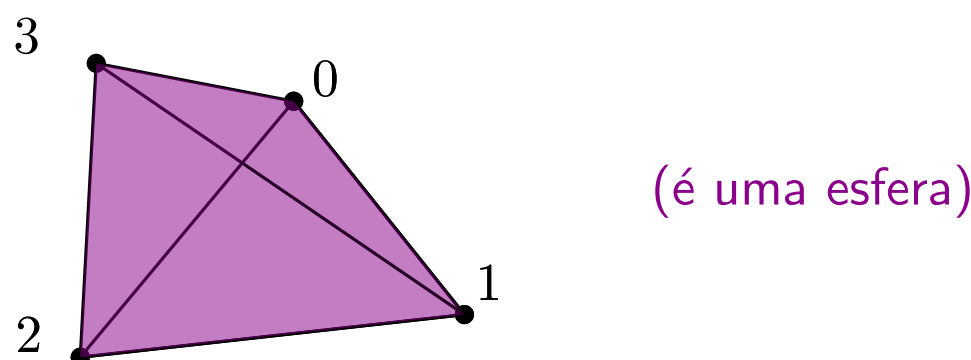
**Definição:** Seja  $V$  um conjunto (chamado o conjunto de vértices). Um **complexo simplicial** é uma colecção  $K$  de subconjuntos de  $V$  (chamados os *simplexos*) tais que, por todo  $\sigma \in K$  e todo  $\tau \subset \sigma$ , temos  $\tau \in K$ .

A **dimensão** de um simplexo  $\sigma \in K$  é definida como  $|\sigma| - 1$ .

**Exemplo:** Sejam  $V = \{0, 1, 2, 3\}$  e

$$K = \{[0], [1], [2], [3], [0, 1], [1, 2], [2, 3], [3, 0], [0, 2], [1, 3], [0, 1, 2], [0, 1, 3], [0, 2, 3], [1, 2, 3]\}$$

É um complexo simplicial.



Contém quatro simplexos de dimensão 0 ( $[0]$ ,  $[1]$ ,  $[2]$  e  $[3]$ ), seis simplexos de dimensão 1 ( $[0, 1]$ ,  $[1, 2]$ ,  $[2, 3]$ ,  $[3, 0]$ ,  $[0, 2]$  e  $[1, 3]$ ) e quatro simplexos de dimensão 2 ( $[0, 1, 2]$ ,  $[0, 1, 3]$ ,  $[0, 2, 3]$  e  $[1, 2, 3]$ ).

# Característica de Euler para complexos

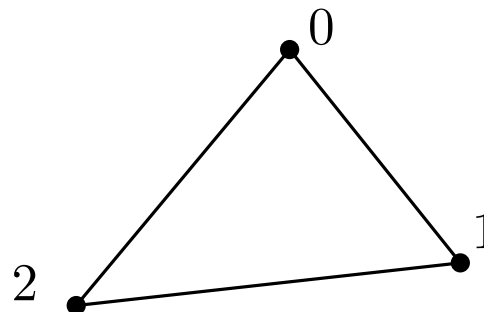
21/69 (5/5)

**Definição:** Seja  $K$  um complexo simplicial de dimensão  $n$ . A sua *característica de Euler* é o número inteiro

$$\chi(K) = \sum_{0 \leq i \leq n} (-1)^i \cdot (\text{número de simplexos de dimensão } i).$$

**Exemplo:** O complexo simplicial  $K = \{[0], [1], [2], [0, 1], [1, 2], [2, 0]\}$  tem característica de Euler

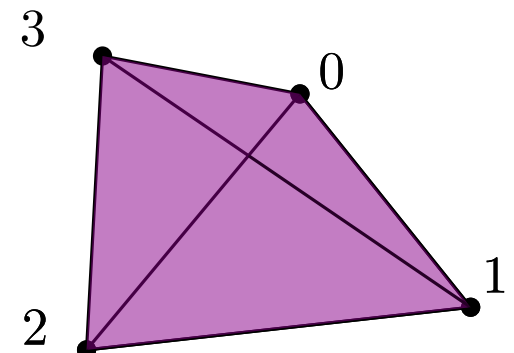
$$\chi(K) = 3 - 3 = 0$$



**Exemplo:** O complexo simplicial

$K = \{[0], [1], [2], [3], [0, 1], [1, 2], [2, 3], [3, 0], [0, 2], [1, 3], [0, 1, 2], [0, 1, 3], [0, 2, 3], [1, 2, 3]\}$   
tem característica de Euler

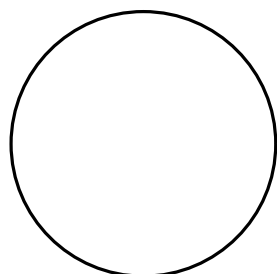
$$\chi(K) = 4 - 6 + 4 = 2$$



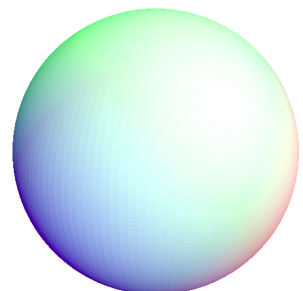
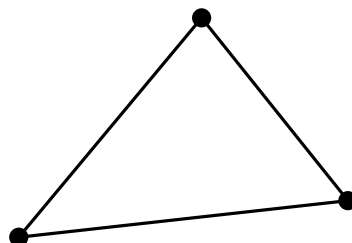
Os complexos simpliciais também são espaços topológicos.

**Definição:** Uma **triangulação** de um espaço topológico  $X$  é um complexo simplicial  $K$  homeomórfico a  $X$ .

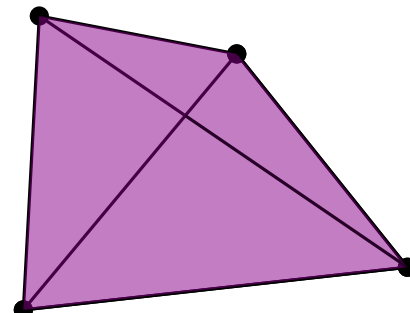
**Definição:** Seja  $X$  um espaço topológico. A sua **característica de Euler** é definida como a característica de Euler de uma de suas triangulações.



$$\chi(\mathbb{S}_1) = 0$$



$$\chi(\mathbb{S}_2) = 2$$



# Propriedade de invariância - na teoria

23/69 (1/2)

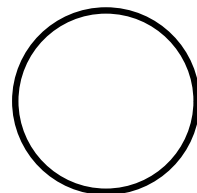
**Proposição:** Se dois espaços  $X$  e  $Y$  são homotopicamente equivalentes, então  $\chi(X) = \chi(Y)$ .

Portanto, a característica de Euler é um **invariante** de classes de equivalência de homotopia.

Podemos usar esta informação para provar que dois espaços não são homotopicamente equivalentes.

**Exemplo:** O círculo tem característica de Euler 0, e a esfera 2.

Portanto, eles não são equivalentes.



$$\chi(\mathbb{S}_1) = 0$$



$$\chi(\mathbb{S}_2) = 2$$

# Propriedade de invariância - na teoria 23/69 (2/2)

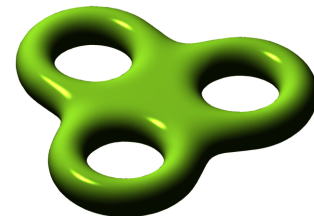
**Proposição:** Se dois espaços  $X$  e  $Y$  são homotopicamente equivalentes, então  $\chi(X) = \chi(Y)$ .

Portanto, a característica de Euler é um **invariante** de classes de equivalência de homotopia.

Podemos usar esta informação para provar que dois espaços não são homotopicamente equivalentes.

**Exemplo:** Classificação das superfícies.

As classes de homeomorfismo das superfícies *conexas* e *compactas* são classificadas por sua característica de Euler.



...

$\chi$

2

0

-2

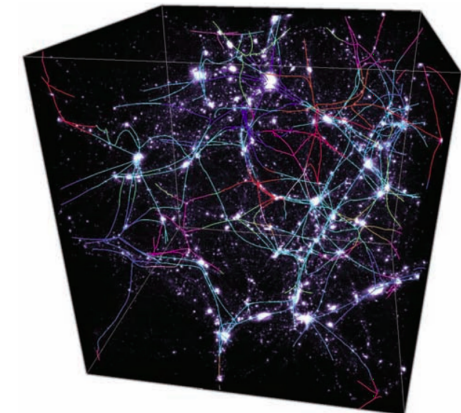
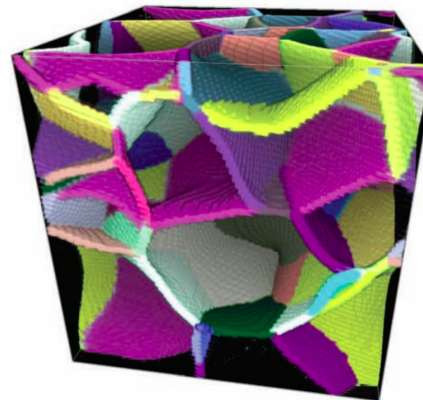
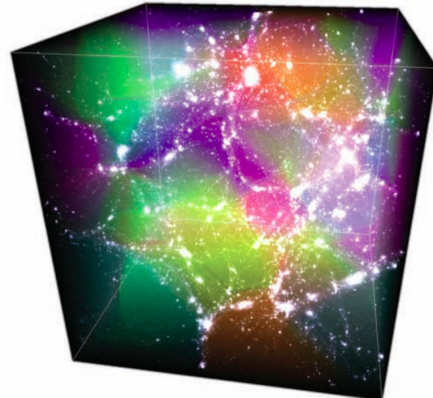
-4

$2 - 2 \times \text{g\'enero}$

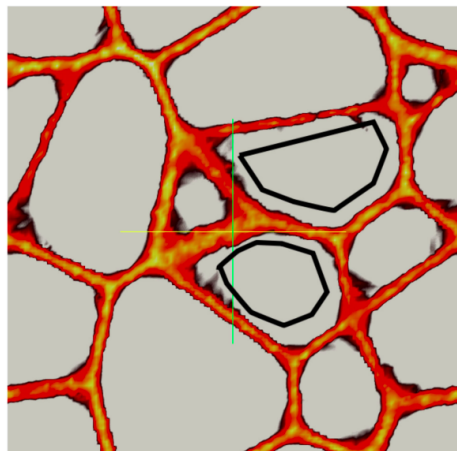
# Propriedade de invariância - aplicações

24/69

[T. Sousbie, The persistent cosmic web and its filamentary structure, 2011]



[P. Pranav, H. Edelsbrunner, R. de Weygaert, G. Vegter, M. Kerber, B. Jones and M. Wintraecken, The topology of the cosmic web in terms of persistent Betti numbers, 2016]



A característica Euler 'conta' o número de buracos

# I - Comparar espaços topológicos

- 1 - Equivalência de homeomorfia
- 2 - Equivalência de homotopia

# II - Invariante topológico

- 1 - Número de componentes conexas
- 2 - Característica de Euler
- 3 - Números de Betti
- 4 - Homologia (simplicial sobre  $\mathbb{Z}/2\mathbb{Z}$ )

# III - Inferência topológica

- 1 - Estimação do parâmetro  $t$
- 2 - Nervos

# IV - Homologia persistente

- 1 - Módulos de persistência
- 2 - Decomposição
- 3 - Estabilidade

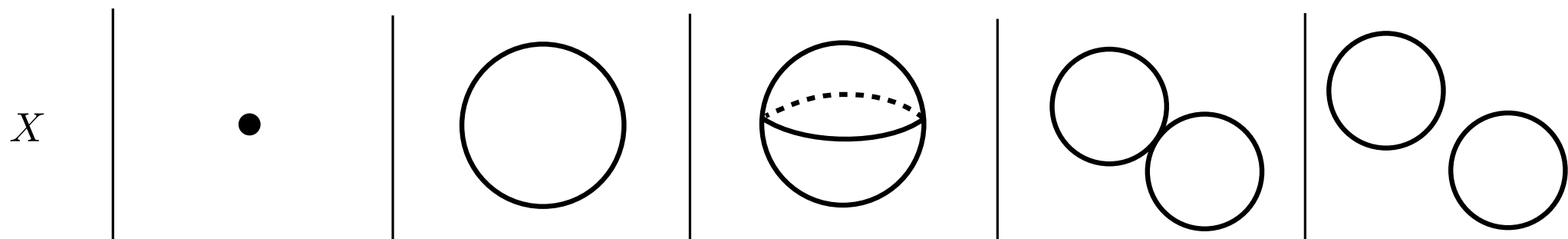
# V - Aplicações

Para todo espaço topológico  $X$ , podemos definir uma sequência de números inteiros

$$\beta_0(X), \quad \beta_1(X), \quad \beta_2(X), \quad \beta_3(X), \quad \dots$$

chamados de **números de Betti**.

Construção dos números Betti: baseada na teoria da homologia.



$\beta_0(X)$	1	1	1	1	2
$\beta_1(X)$	0	1	0	2	2
$\beta_2(X)$	0	0	1	0	0

## Interpretação:

- $\beta_0(X)$  é o número de componentes conexas de  $X$
- $\beta_1(X)$  é o número de ‘buracos’ em  $X$
- $\beta_2(X)$  é o número de ‘vazios’ em  $X$
- ...

$X$					
$\beta_0(X)$	1	1	1	1	2
$\beta_1(X)$	0	1	0	2	2
$\beta_2(X)$	0	0	1	0	0

## Interpretação:

- $\beta_0(X)$  é o número de componentes conexas de  $X$
- $\beta_1(X)$  é o número de ‘buracos’ em  $X$
- $\beta_2(X)$  é o número de ‘vazios’ em  $X$
- ...

$X$					
$\beta_0(X)$	1	1	1	1	2
$\beta_1(X)$	0	1	0	2	2
$\beta_2(X)$	0	0	1	0	0

## Interpretação:

- $\beta_0(X)$  é o número de componentes conexas de  $X$
- $\beta_1(X)$  é o número de ‘buracos’ em  $X$
- $\beta_2(X)$  é o número de ‘vazios’ em  $X$
- ...

$X$					
$\beta_0(X)$	1	1	1	1	2
$\beta_1(X)$	0	1	0	2	2
$\beta_2(X)$	0	0	1	0	0

## Interpretação:

- $\beta_0(X)$  é o número de componentes conexas de  $X$
- $\beta_1(X)$  é o número de ‘buracos’ em  $X$
- $\beta_2(X)$  é o número de ‘vazios’ em  $X$
- ...

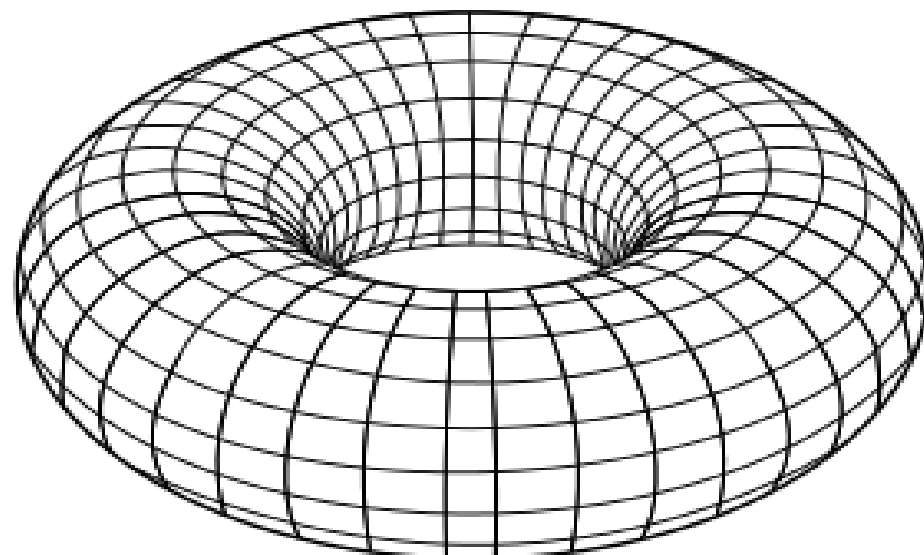
$X$					
$\beta_0(X)$	1	1	1	1	2
$\beta_1(X)$	0	1	0	2	2
$\beta_2(X)$	0	0	1	0	0

## Interpretação:

- $\beta_0(X)$  é o número de componentes conexas de  $X$
- $\beta_1(X)$  é o número de ‘buracos’ em  $X$
- $\beta_2(X)$  é o número de ‘vazios’ em  $X$
- ...

**Exemplo:** Números de Betti do toro:

$$\beta_0(X) = 1, \quad \beta_1(X) = 2, \quad \beta_2(X) = 1, \quad \beta_3(X) = 0, \quad \dots$$

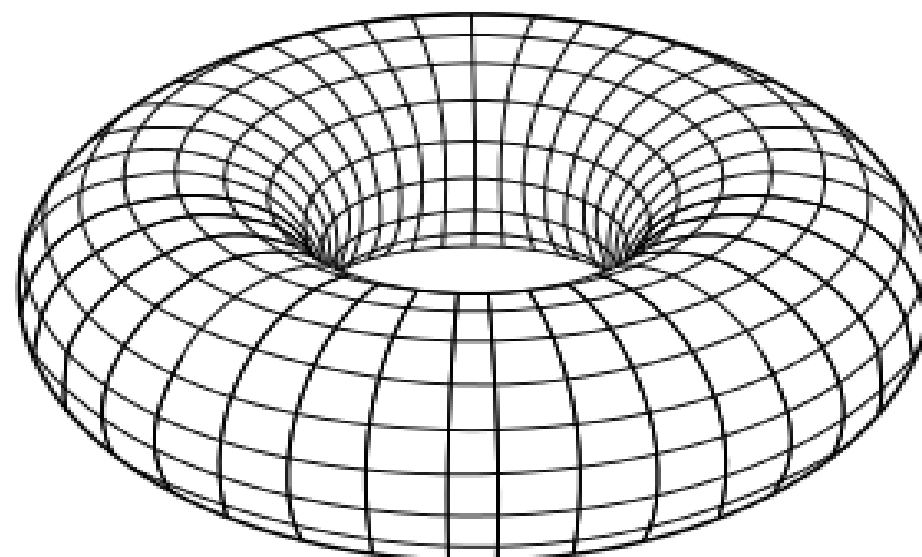


## Interpretação:

- $\beta_0(X)$  é o número de componentes conexas de  $X$
- $\beta_1(X)$  é o número de ‘buracos’ em  $X$
- $\beta_2(X)$  é o número de ‘vazios’ em  $X$
- ...

**Exemplo:** Números de Betti do toro:

$$\beta_0(X) = 1, \quad \beta_1(X) = 2, \quad \beta_2(X) = 1, \quad \beta_3(X) = 0, \quad \dots$$

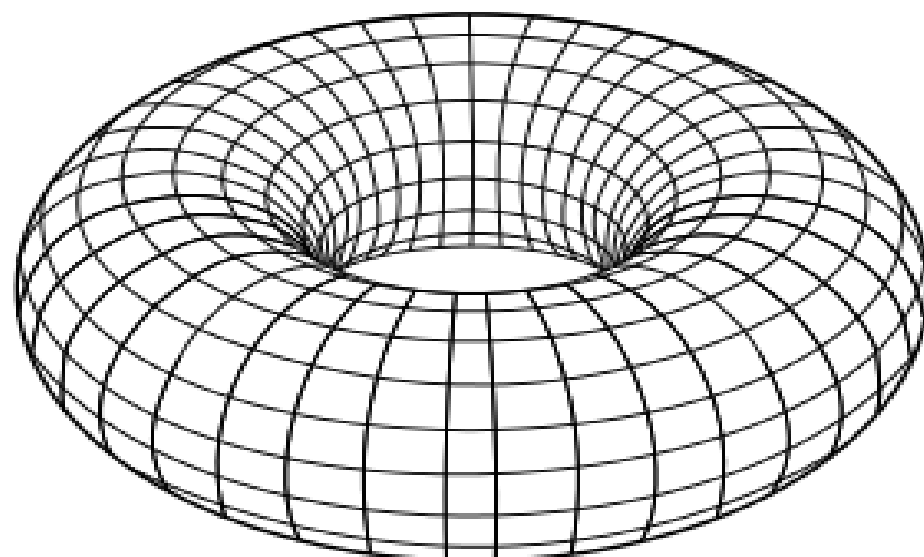


## Interpretação:

- $\beta_0(X)$  é o número de componentes conexas de  $X$
- $\beta_1(X)$  é o número de ‘buracos’ em  $X$
- $\beta_2(X)$  é o número de ‘vazios’ em  $X$
- ...

**Exemplo:** Números de Betti do toro:

$$\beta_0(X) = 1, \quad \beta_1(X) = 2, \quad \boxed{\beta_2(X) = 1}, \quad \beta_3(X) = 0, \quad \dots$$

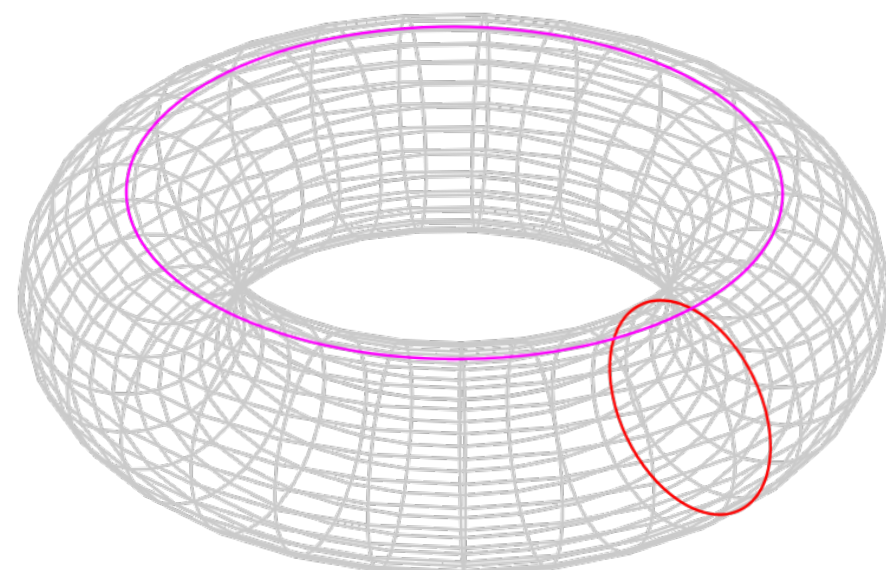


## Interpretação:

- $\beta_0(X)$  é o número de componentes conexas de  $X$
- $\beta_1(X)$  é o número de ‘buracos’ em  $X$
- $\beta_2(X)$  é o número de ‘vazios’ em  $X$
- ...

**Exemplo:** Números de Betti do toro:

$$\beta_0(X) = 1, \quad \boxed{\beta_1(X) = 2,} \quad \beta_2(X) = 1, \quad \beta_3(X) = 0, \quad \dots$$



# Propriedade de invariância - na teoria 27/69 (1/2)

**Proposição:** Se dois espaços  $X$  e  $Y$  são homotopicamente equivalentes, então eles têm os mesmos números de Betti.

Consequentemente, dois espaços com números de Betti diferentes não podem ser equivalentes à homotopia.

**Exemplo:** A esfera  $\mathbb{S}_n \subset \mathbb{R}^{n+1}$  tem números de Betti

$$\begin{aligned}\beta_i(X) &= 1 \quad \text{if } i = 0 \text{ or } n, \\ \beta_i(X) &= 0 \quad \text{else.}\end{aligned}$$

Portanto, se  $n \neq m$ , então  $\mathbb{S}_n$  e  $\mathbb{S}_m$  não são equivalentes.

# Propriedade de invariância - na teoria 27/69 (2/2)

**Proposição:** Se dois espaços  $X$  e  $Y$  são homotopicamente equivalentes, então eles têm os mesmos números de Betti.

Consequentemente, dois espaços com números de Betti diferentes não podem ser equivalentes à homotopia.

**Exemplo:** Invariância de domínio de Brouwer.

Vamos mostrar que  $\mathbb{R}^n$  e  $\mathbb{R}^m$ , com  $n \neq m$ , não são homeomórficos.

Seja  $h: \mathbb{R}^n \rightarrow \mathbb{R}^m$  um homeomorfismo.

Escolha qualquer  $x \in \mathbb{R}^n$  e considera a restrição

$$h: \mathbb{R}^n \setminus \{x\} \longrightarrow \mathbb{R}^m \setminus \{h(x)\}$$

Ainda é um homeomorfismo.

Mas  $\mathbb{R}^n \setminus \{x\}$  é homotópico à esfera  $\mathbb{S}_{n-1}$ , e  $\mathbb{R}^m \setminus \{x\}$  é homotópico à esfera  $\mathbb{S}_{m-1}$ .

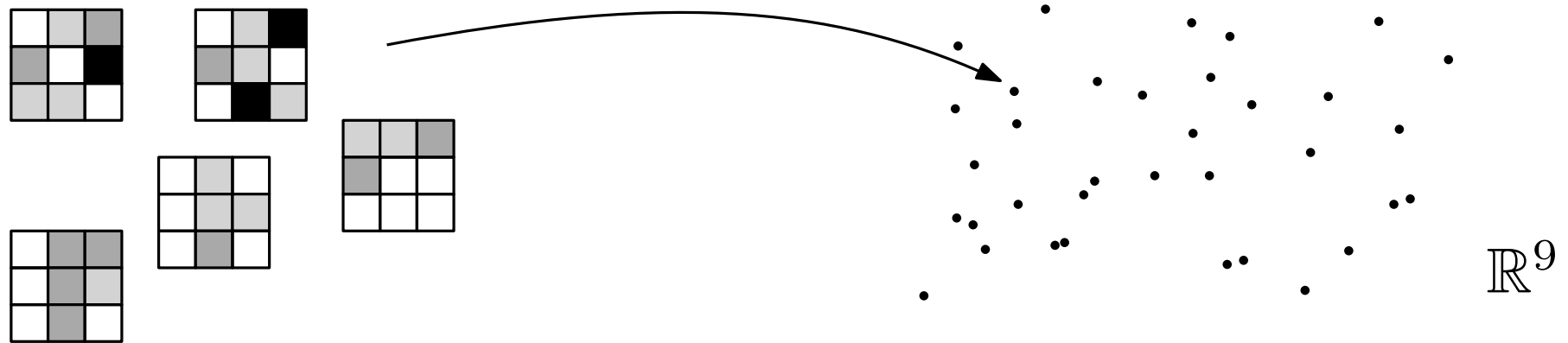
Já vimos que  $\mathbb{S}_{n-1}$  e  $\mathbb{S}_{m-1}$  são homotópicos se e somente se  $m = n$ . Isto é uma contradição.

# Propriedade de invariância - aplicações

28/69 (1/2)

[On the Local Behavior of Spaces of Natural Images, G. Carlsson, T. Ishkhanov, V. de Silva, and A. Zomorodian, 2008.]

A partir de uma grande coleção de imagens naturais, os autores extraem patches  $3 \times 3$ . Como cada patch é composto de 9 pixels, ele pode ser visto como um vetor 9-dimensional, e o conjunto inteiro como uma nuvem de pontos em  $\mathbb{R}^9$ .



Observam que a nuvem de pontos está próxima de uma forma cujos número de Betti são

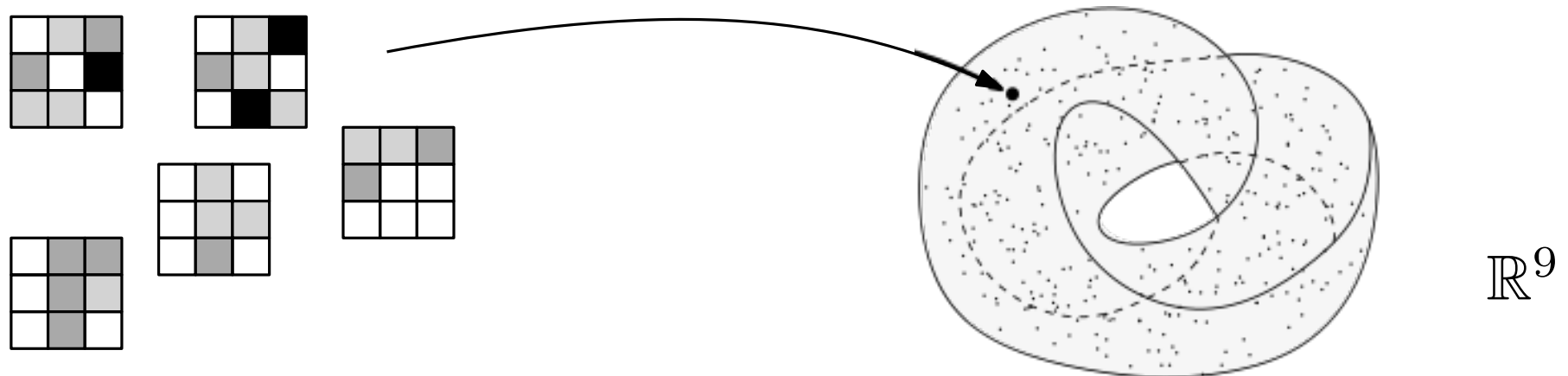
$$\beta_0(X) = 1, \quad \beta_1(X) = 2, \quad \beta_2(X) = 1, \quad \beta_3(X) = 0$$

# Propriedade de invariância - aplicações

28/69 (2/2)

[On the Local Behavior of Spaces of Natural Images, G. Carlsson, T. Ishkhanov, V. de Silva, and A. Zomorodian, 2008.]

A partir de uma grande coleção de imagens naturais, os autores extraem patches  $3 \times 3$ . Como cada patch é composto de 9 pixels, ele pode ser visto como um vetor 9-dimensional, e o conjunto inteiro como uma nuvem de pontos em  $\mathbb{R}^9$ .



Observam que a nuvem de pontos está próxima de uma forma cujos número de Betti são

$$\beta_0(X) = 1, \quad \beta_1(X) = 2, \quad \beta_2(X) = 1, \quad \beta_3(X) = 0$$

São os números Betti de uma garrafa de Klein!

(e os autores realmente mostram que o conjunto de dados se concentra perto de uma garrafa de Klein imersa no  $\mathbb{R}^9$ .)

# I - Comparar espaços topológicos

- 1 - Equivalência de homeomorfia
- 2 - Equivalência de homotopia

# II - Invariantes topológicos

- 1 - Número de componentes conexas
- 2 - Característica de Euler
- 3 - Números de Betti
- 4 - Homologia (simplicial sobre  $\mathbb{Z}/2\mathbb{Z}$ )

# III - Inferência topológica

- 1 - Estimação do parâmetro  $t$
- 2 - Nervos

# IV - Homologia persistente

- 1 - Módulos de persistência
- 2 - Decomposição
- 3 - Estabilidade

# V - Aplicações

Para todo complexo simplicial  $K$ , podemos definir uma sequência de espaços vetoriais sobre o corpo finito  $\mathbb{Z}/2\mathbb{Z}$ :

$$H_0(K), \quad H_1(K), \quad H_2(K), \quad H_3(K), \quad \dots$$

chamados de **grupos de homologia simplicial**.

**Observação:** O corpo  $\mathbb{Z}/2\mathbb{Z}$  é o conjunto  $\{0, 1\}$  dotado das operações

$0 + 0 = 0$	$0 \times 0 = 0$
$0 + 1 = 1$	$0 \times 1 = 0$
$1 + 0 = 1$	$1 \times 0 = 0$
$1 + 1 = 0$	$1 \times 1 = 1$

Um espaço vetorial sobre  $\mathbb{Z}/2\mathbb{Z}$  de dimensão finita pode ser escrito como  $(\mathbb{Z}/2\mathbb{Z})^k$ .

Se  $X$  é um espaço topológico, definimos seus grupos de homologia  $H_i(X)$  como os de uma de suas triangulações.

Seja  $n \geq 0$ . As  **$n$ -cadeias** de  $K$  é o conjunto  $C_n(K)$  cujos elementos são as somas formais

$$\sum_{\sigma \in K_{(n)}} \epsilon_\sigma \cdot \sigma \quad \text{onde} \quad \forall \sigma \in K_{(n)}, \epsilon_\sigma \in \mathbb{Z}/2\mathbb{Z}.$$

Podemos definir sobre  $C_n(K)$  uma **estrutura de grupo** com

$$\sum_{\sigma \in K_{(n)}} \epsilon_\sigma \cdot \sigma + \sum_{\sigma \in K_{(n)}} \eta_\sigma \cdot \sigma = \sum_{\sigma \in K_{(n)}} (\epsilon_\sigma + \eta_\sigma) \cdot \sigma.$$

Sejam  $n \geq 1$  e  $\sigma = [x_0, \dots, x_n] \in K_{(n)}$  um simplexo de dimensão  $n$ . O seu **bordo** é o seguinte elemento de  $C_{n-1}(K)$ :  $\partial_n \sigma = \sum_{\substack{\tau \subset \sigma \\ |\tau|=|\sigma|-1}} \tau$ . Podemos estender o operador  $\partial_n$  como uma transformação linear  $\partial_n: C_n(K) \rightarrow C_{n-1}(K)$ .

Seja  $n \geq 0$ . Temos uma sequência de espaços vetoriais

$$\dots \longrightarrow C_{n+1}(K) \xrightarrow{\partial_{n+1}} C_n(K) \xrightarrow{\partial_n} C_{n-1}(K) \longrightarrow \dots$$

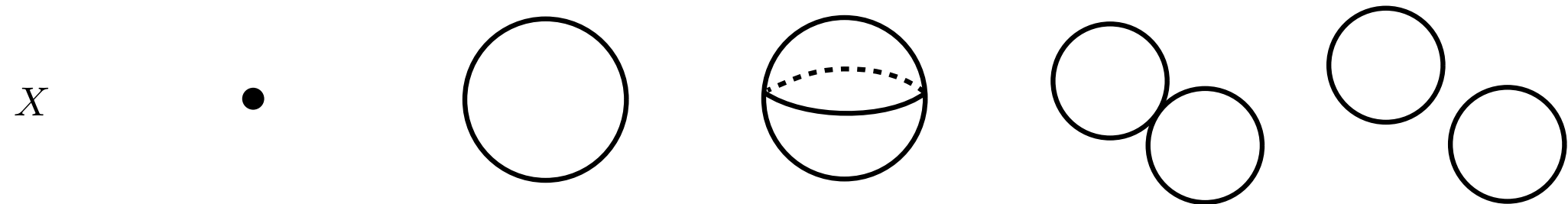
As aplicações  $\partial_{n+1}$  e  $\partial_n$  são transformações lineares, e podemos considerar seus núcleos e suas imagens. Definimos os  **$n$ -ciclos**  $Z_n(K) = \text{Ker}(\partial_n)$  e os  **$n$ -bordos**  $B_n(K) = \text{Im}(\partial_{n+1})$ .

**Definição:** O  **$n$ -ésimo grupo de homologia (simplicial)** de  $K$  é o espaço vetorial quociente

$$H_n(K) = Z_n(K)/B_n(K).$$

Um espaço vetorial sobre  $\mathbb{Z}/2\mathbb{Z}$  de dimensão finita pode ser escrito como  $(\mathbb{Z}/2\mathbb{Z})^k$ .

**Definição:** Sejam  $K$  um complexo simplicial e  $n \geq 0$ . Seu  $n$ -ésimo **número de Betti** é definido como  $\beta_n(K) = \dim H_n(K)$ .



$H_0(X)$	$\mathbb{Z}/2\mathbb{Z}$	$\mathbb{Z}/2\mathbb{Z}$	$\mathbb{Z}/2\mathbb{Z}$	$\mathbb{Z}/2\mathbb{Z}$	$(\mathbb{Z}/2\mathbb{Z})^2$
$\beta_0(X)$	1	1	1	1	2
$H_1(X)$	0	$\mathbb{Z}/2\mathbb{Z}$	0	$(\mathbb{Z}/2\mathbb{Z})^2$	$(\mathbb{Z}/2\mathbb{Z})^2$
$\beta_1(X)$	0	1	0	2	2
$H_2(X)$	0	0	$\mathbb{Z}/2\mathbb{Z}$	0	0
$\beta_2(X)$	0	0	1	0	0

Temos visto que a homologia transforma **espaços topológicos** em **espaços vetoriais**

$$H_i : \text{Top} \longrightarrow \text{Vect}$$

$$X \longmapsto H_i(X)$$

Na verdade, ele também transforma **aplicações contínuas** em **transformações lineares**.

$$X \xrightarrow{f} Y \qquad \qquad H_n(X) \xrightarrow{H_n(f)} H_n(Y)$$

Esta operação preserva os **diagramas comutativos**:

$$X \xrightarrow{f} Y \xrightarrow{g} Z,$$

$$\text{with } g \circ f \text{ curved above the arrows.}$$

$$H_n(X) \xrightarrow{H_n(f)} H_n(Y) \xrightarrow{H_n(g)} H_n(Z),$$

$$\text{with } H_n(g \circ f) \text{ curved above the second arrow.}$$

$$H_n(g \circ f) = H_n(g) \circ H_n(f)$$

# Propriedade da functorialidade - na teoria

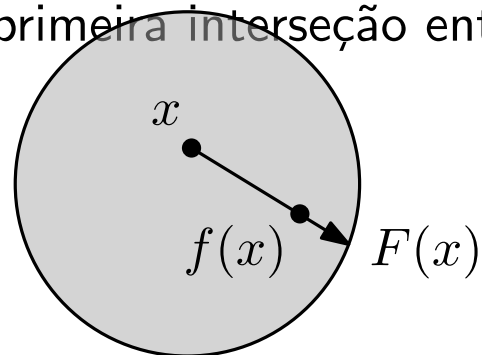
34/69

**Aplicação:** Teorema do ponto fixo de Brouwer

Seja  $f: \mathcal{B} \rightarrow \mathcal{B}$  uma aplicação contínua, onde  $\mathcal{B}$  é a bola fechada unidade de  $\mathbb{R}^n$ . Vamos mostrar que  $f$  tem um ponto fixo ( $f(x) = x$ ).

Caso contrário, podemos definir uma aplicação  $F: \mathcal{B} \rightarrow \partial\mathcal{B}$  tal que  $F$  restrita ao  $\partial\mathcal{B}$  é a identidade.

Para isso, define  $F(x)$  como a primeira intersecção entre a meia linha  $[x, f(x)]$  e  $\partial\mathcal{B}$ .



Chame a inclusão  $i: \partial\mathcal{B} \rightarrow \mathcal{B}$ . Então  $F \circ i: \partial\mathcal{B} \rightarrow \partial\mathcal{B}$  é a identidade.

Por functorialidade, temos diagramas comutativos

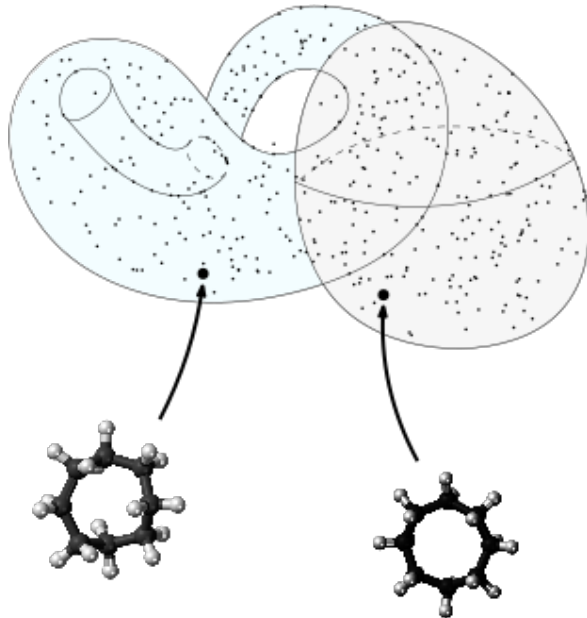
$$\partial\mathcal{B} \xrightarrow{i} \mathcal{B} \xrightarrow{F} \partial\mathcal{B},$$

$$H_i(\partial\mathcal{B}) \xrightarrow{H_i(i)} H_i(\mathcal{B}) \xrightarrow{H_i(F)} H_i(\partial\mathcal{B}).$$

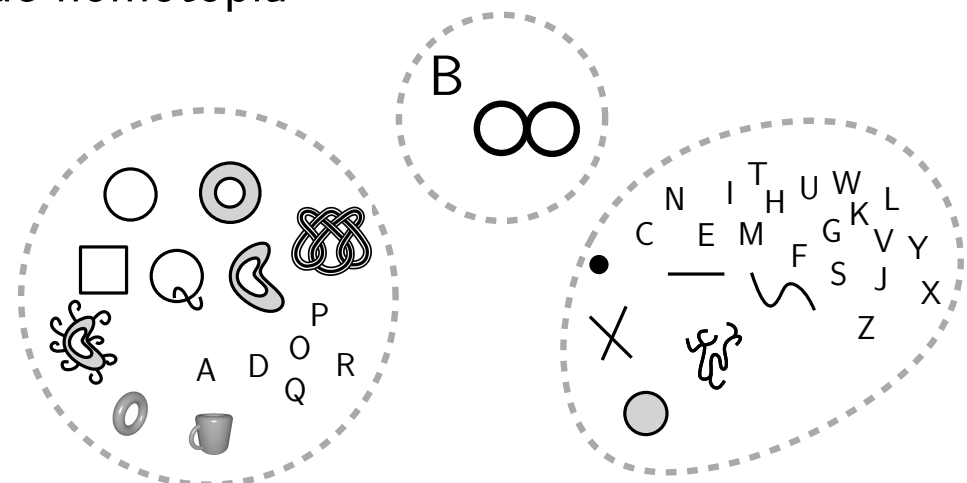
Mas para  $i = n - 1$ , é absurdo:

$$\mathbb{Z}/2\mathbb{Z} \longrightarrow 0 \longrightarrow \mathbb{Z}/2\mathbb{Z}.$$

Alguns conjuntos de dados contêm topologia



Os espaços topológicos podem ser classificados em **classes de equivalência** de homotopia



**Invariante**s de classes de homotopia permitem descrever e compreender os espaços topológicos

Número de componentes conexas

Característica de Euler  $\chi$

Número de Betti  $\beta_0, \beta_1, \beta_2, \dots$

Grupos de homologia  $H_0, H_1, H_2, \dots$

# I - Comparar espaços topológicos

- 1 - Equivalência de homeomorfia
- 2 - Equivalência de homotopia

# II - Invariante topológico

- 1 - Número de componentes conexas
- 2 - Característica de Euler
- 3 - Números de Betti
- 4 - Homologia (simplicial sobre  $\mathbb{Z}/2\mathbb{Z}$ )

# III - Inferência topológica

- 1 - Estimação do parâmetro  $t$
- 2 - Nervos

# IV - Homologia persistente

- 1 - Módulos de persistência
- 2 - Decomposição
- 3 - Estabilidade

# V - Aplicações

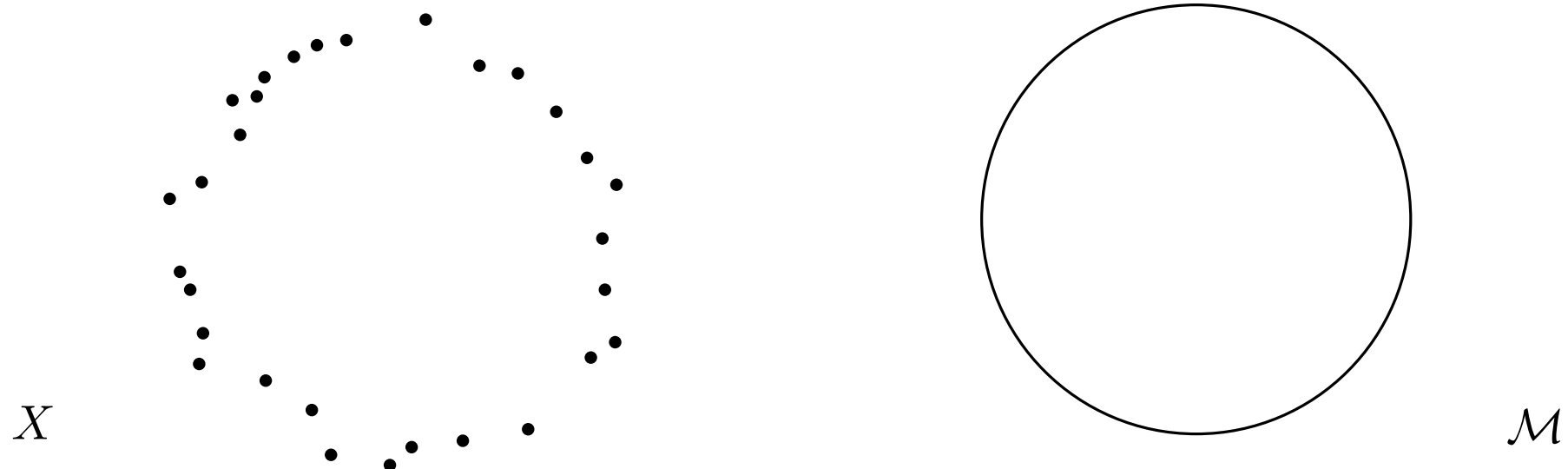
# O problema da inferência homológica

37/69 (1/12)

Seja  $\mathcal{M} \subset \mathbb{R}^n$  um subconjunto.

Suponha que tenhamos uma amostra finita  $X \subset \mathcal{M}$ .

**Problema:** Estimar os grupos de homologia de  $\mathcal{M}$  a partir de  $X$ .



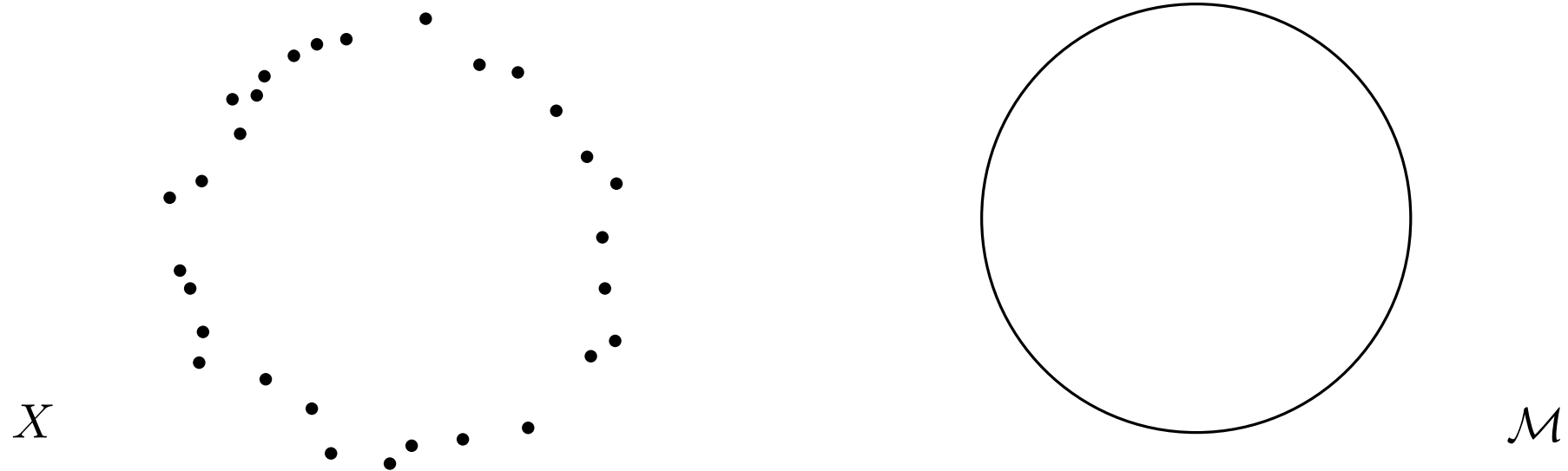
# O problema da inferência homológica

37/69 (2/12)

Seja  $\mathcal{M} \subset \mathbb{R}^n$  um subconjunto.

Suponha que tenhamos uma amostra finita  $X \subset \mathcal{M}$ .

**Problema:** Estimar os grupos de homologia de  $\mathcal{M}$  a partir de  $X$ .



Não podemos usar  $X$  diretamente.

Sua homologia é decepcionante:

$$\beta_0(X) = 30 \quad \text{e} \quad \beta_i(X) = 0 \quad \text{para } i \geq 1$$

número de componentes conexas  
= número de pontos de  $X$

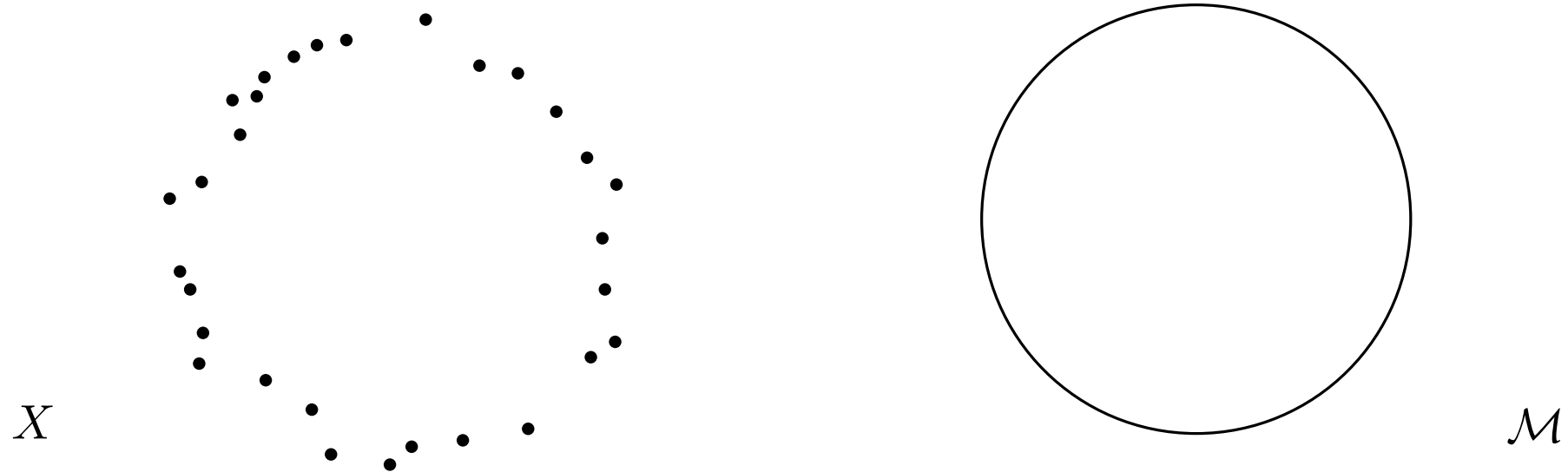
# O problema da inferência homológica

37/69 (3/12)

Seja  $\mathcal{M} \subset \mathbb{R}^n$  um subconjunto.

Suponha que tenhamos uma amostra finita  $X \subset \mathcal{M}$ .

**Problema:** Estimar os grupos de homologia de  $\mathcal{M}$  a partir de  $X$ .



Não podemos usar  $X$  diretamente.

**Idéia:** Espessar  $X$ .

**Definição:** Por todo  $t \geq 0$ , o  **$t$ -espessamento** do conjunto  $X$ , denotado  $X^t$ , é o conjunto de pontos do espaço ambiente a uma distância máxima de  $t$  de  $X$ :

$$X^t = \{y \in \mathbb{R}^n, \exists x \in X, \|x - y\| \leq t\}.$$

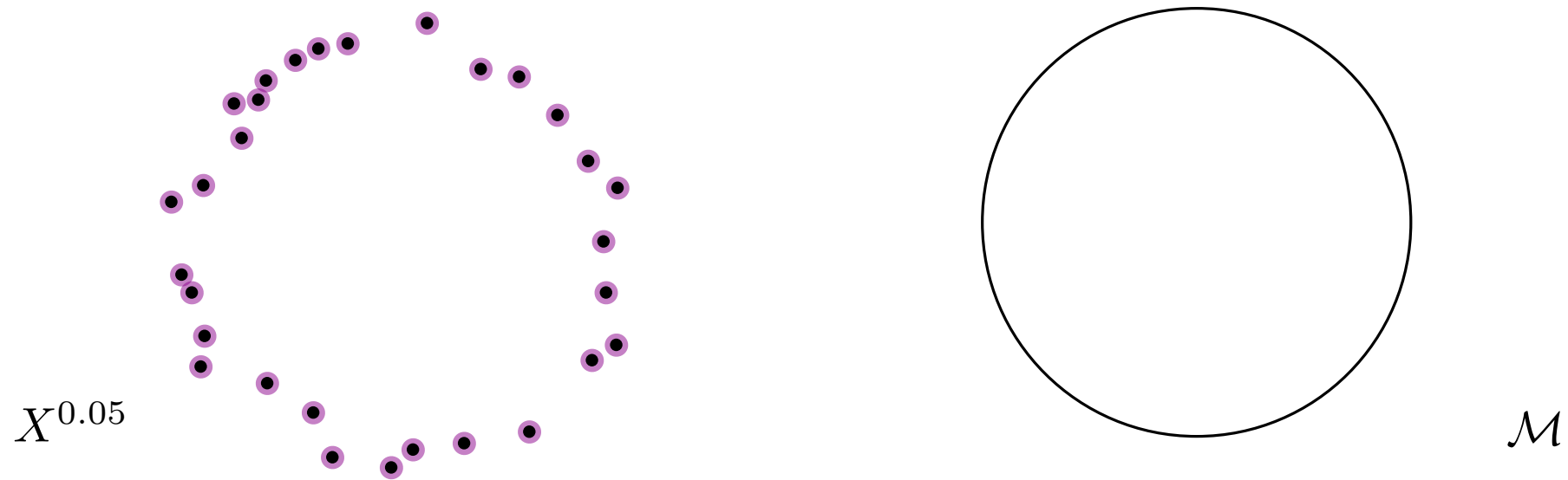
# O problema da inferência homológica

37/69 (4/12)

Seja  $\mathcal{M} \subset \mathbb{R}^n$  um subconjunto.

Suponha que tenhamos uma amostra finita  $X \subset \mathcal{M}$ .

**Problema:** Estimar os grupos de homologia de  $\mathcal{M}$  a partir de  $X$ .



Não podemos usar  $X$  diretamente.

**Idéia:** Espessar  $X$ .

**Definição:** Por todo  $t \geq 0$ , o  **$t$ -espessamento** do conjunto  $X$ , denotado  $X^t$ , é o conjunto de pontos do espaço ambiente a uma distância máxima de  $t$  de  $X$ :

$$X^t = \{y \in \mathbb{R}^n, \exists x \in X, \|x - y\| \leq t\}.$$

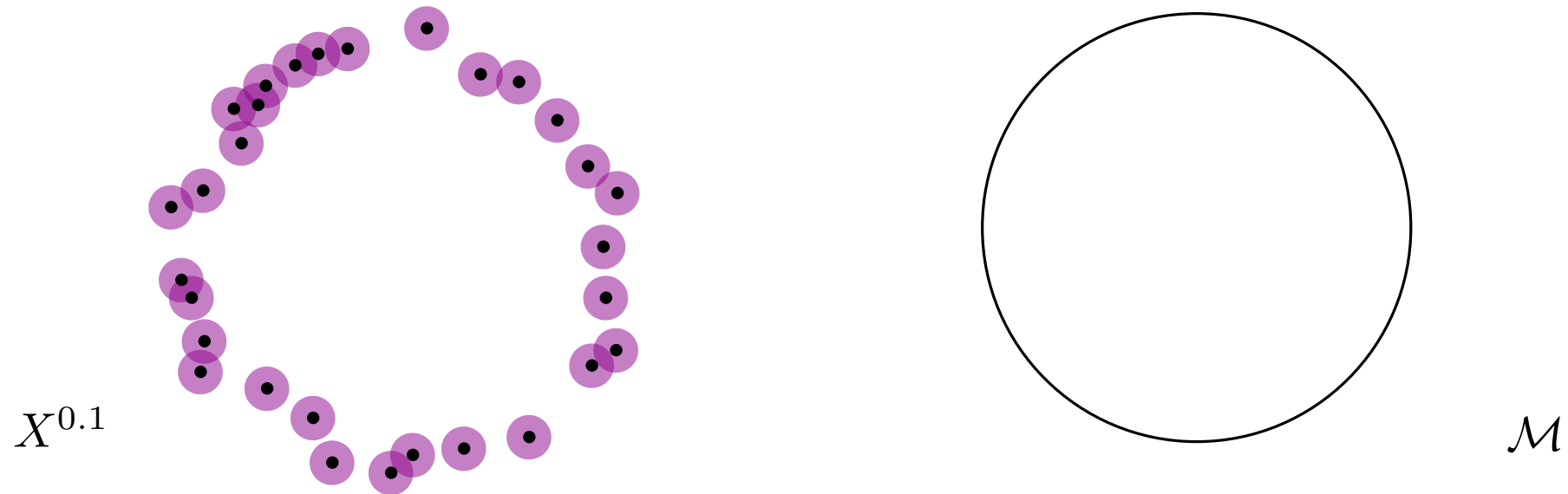
# O problema da inferência homológica

37/69 (5/12)

Seja  $\mathcal{M} \subset \mathbb{R}^n$  um subconjunto.

Suponha que tenhamos uma amostra finita  $X \subset \mathcal{M}$ .

**Problema:** Estimar os grupos de homologia de  $\mathcal{M}$  a partir de  $X$ .



Não podemos usar  $X$  diretamente.

**Idéia:** Espessar  $X$ .

**Definição:** Por todo  $t \geq 0$ , o  **$t$ -espessamento** do conjunto  $X$ , denotado  $X^t$ , é o conjunto de pontos do espaço ambiente a uma distância máxima de  $t$  de  $X$ :

$$X^t = \{y \in \mathbb{R}^n, \exists x \in X, \|x - y\| \leq t\}.$$

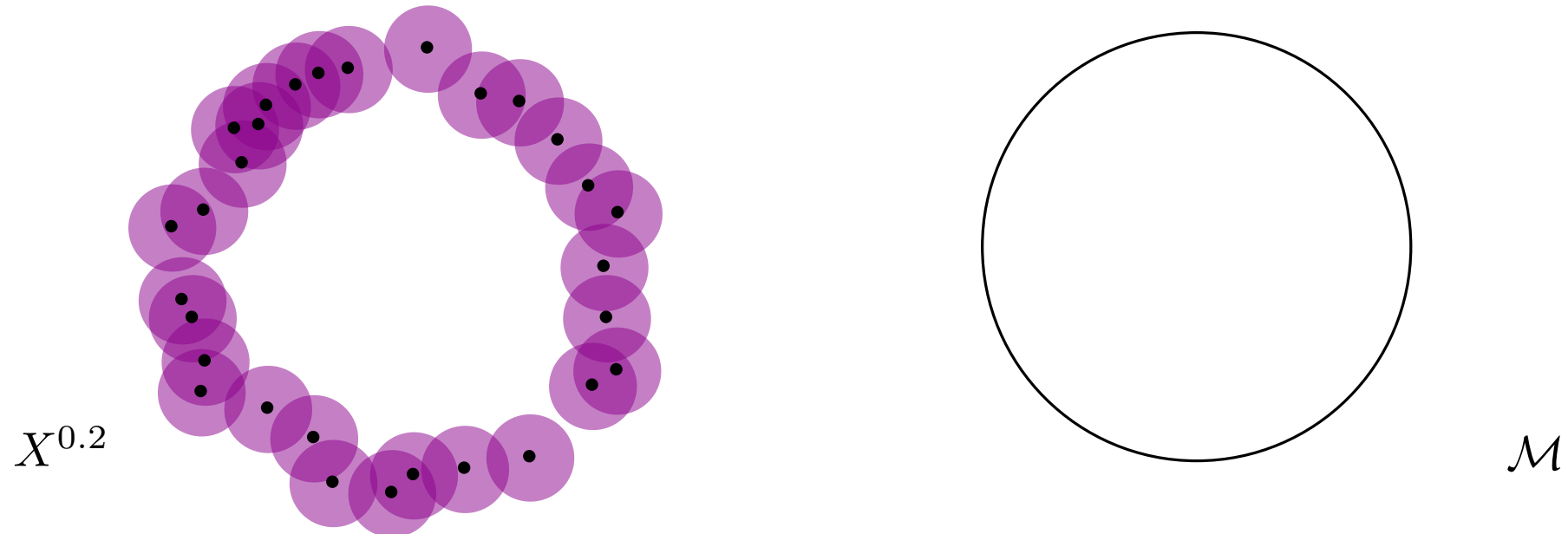
# O problema da inferência homológica

37/69 (6/12)

Seja  $\mathcal{M} \subset \mathbb{R}^n$  um subconjunto.

Suponha que tenhamos uma amostra finita  $X \subset \mathcal{M}$ .

**Problema:** Estimar os grupos de homologia de  $\mathcal{M}$  a partir de  $X$ .



Não podemos usar  $X$  diretamente.

**Idéia:** Espessar  $X$ .

**Definição:** Por todo  $t \geq 0$ , o  **$t$ -espessamento** do conjunto  $X$ , denotado  $X^t$ , é o conjunto de pontos do espaço ambiente a uma distância máxima de  $t$  de  $X$ :

$$X^t = \{y \in \mathbb{R}^n, \exists x \in X, \|x - y\| \leq t\}.$$

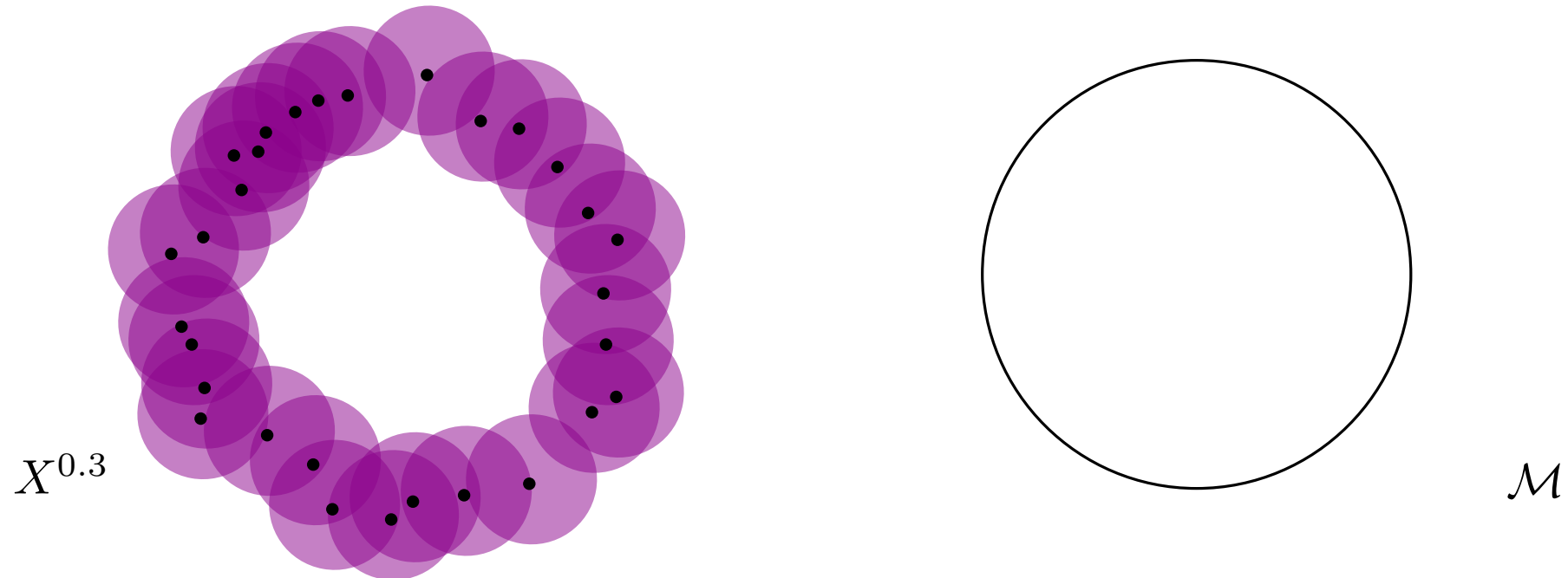
# O problema da inferência homológica

37/69 (7/12)

Seja  $\mathcal{M} \subset \mathbb{R}^n$  um subconjunto.

Suponha que tenhamos uma amostra finita  $X \subset \mathcal{M}$ .

**Problema:** Estimar os grupos de homologia de  $\mathcal{M}$  a partir de  $X$ .



Não podemos usar  $X$  diretamente.

**Idéia:** Espessar  $X$ .

**Definição:** Por todo  $t \geq 0$ , o  **$t$ -espessamento** do conjunto  $X$ , denotado  $X^t$ , é o conjunto de pontos do espaço ambiente a uma distância máxima de  $t$  de  $X$ :

$$X^t = \{y \in \mathbb{R}^n, \exists x \in X, \|x - y\| \leq t\}.$$

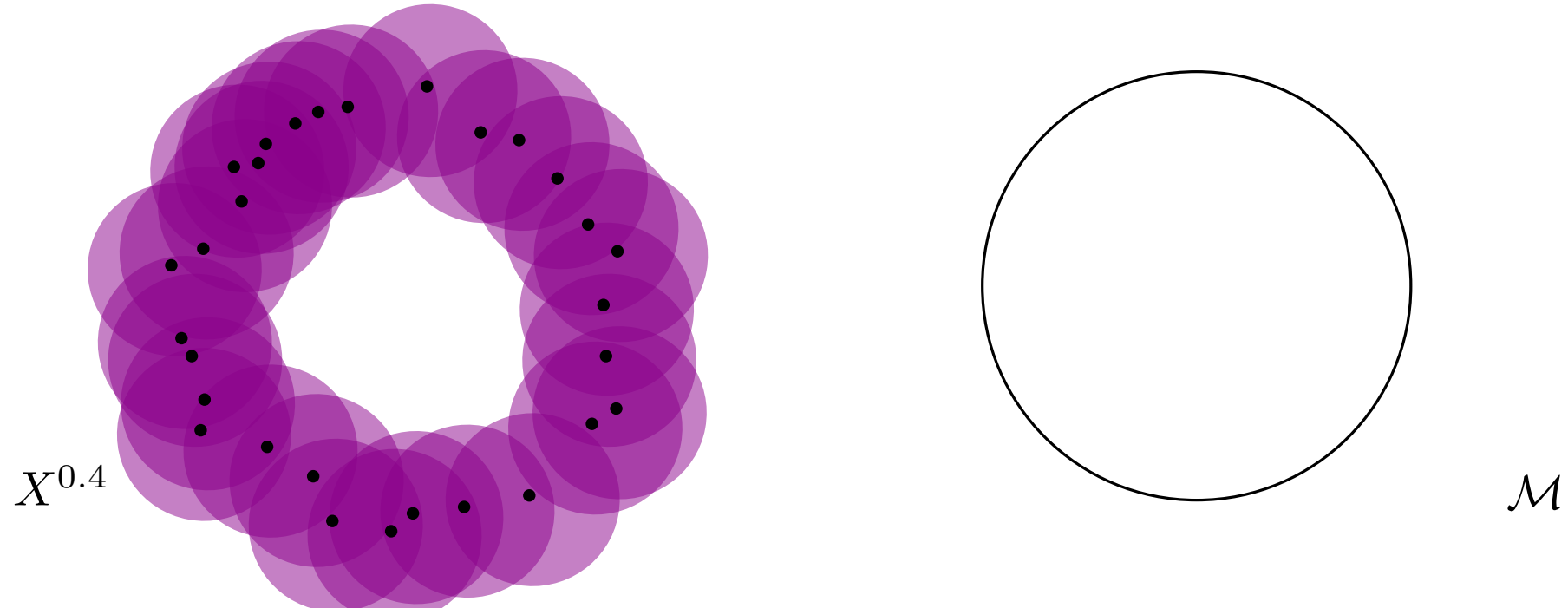
# O problema da inferência homológica

37/69 (8/12)

Seja  $\mathcal{M} \subset \mathbb{R}^n$  um subconjunto.

Suponha que tenhamos uma amostra finita  $X \subset \mathcal{M}$ .

**Problema:** Estimar os grupos de homologia de  $\mathcal{M}$  a partir de  $X$ .



Não podemos usar  $X$  diretamente.

**Idéia:** Espessar  $X$ .

**Definição:** Por todo  $t \geq 0$ , o  **$t$ -espessamento** do conjunto  $X$ , denotado  $X^t$ , é o conjunto de pontos do espaço ambiente a uma distância máxima de  $t$  de  $X$ :

$$X^t = \{y \in \mathbb{R}^n, \exists x \in X, \|x - y\| \leq t\}.$$

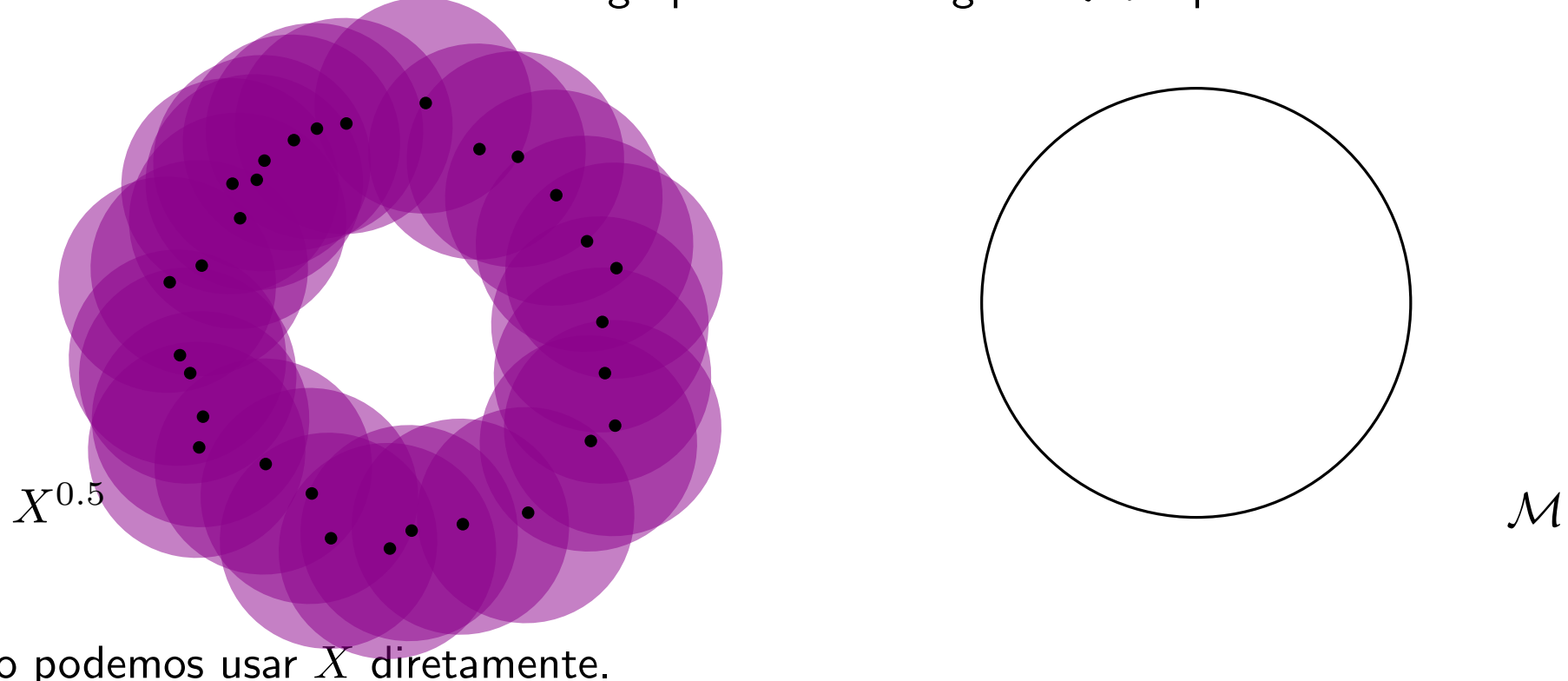
# O problema da inferência homológica

37/69 (9/12)

Seja  $\mathcal{M} \subset \mathbb{R}^n$  um subconjunto.

Suponha que tenhamos uma amostra finita  $X \subset \mathcal{M}$ .

**Problema:** Estimar os grupos de homologia de  $\mathcal{M}$  a partir de  $X$ .



Não podemos usar  $X$  diretamente.

**Idéia:** Espessar  $X$ .

**Definição:** Por todo  $t \geq 0$ , o  **$t$ -espessamento** do conjunto  $X$ , denotado  $X^t$ , é o conjunto de pontos do espaço ambiente a uma distância máxima de  $t$  de  $X$ :

$$X^t = \{y \in \mathbb{R}^n, \exists x \in X, \|x - y\| \leq t\}.$$

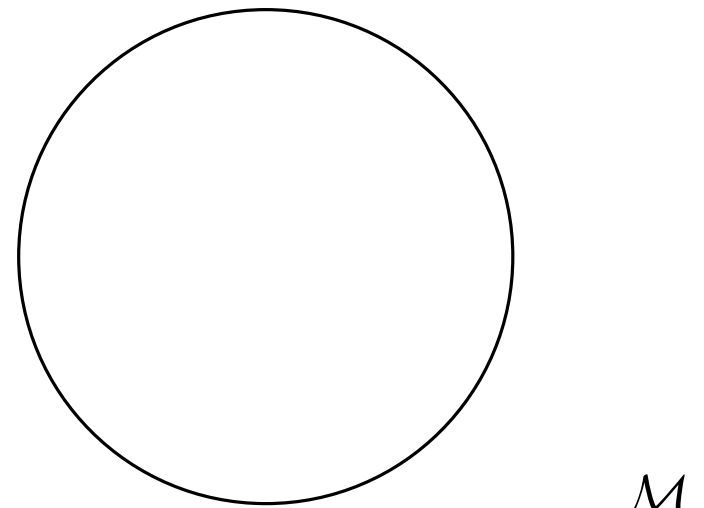
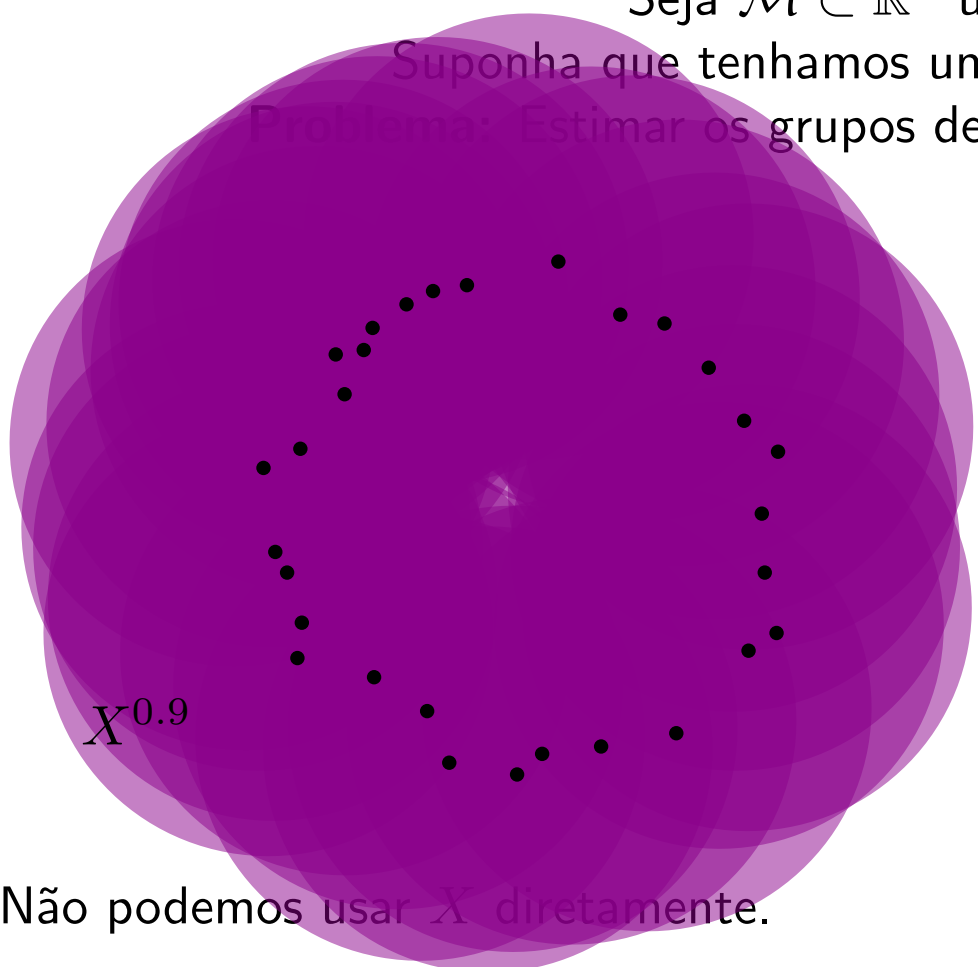
# O problema da inferência homológica

37/69 (10/12)

Seja  $\mathcal{M} \subset \mathbb{R}^n$  um subconjunto.

Suponha que tenhamos uma amostra finita  $X \subset \mathcal{M}$ .

Problema: Estimar os grupos de homologia de  $\mathcal{M}$  a partir de  $X$ .



Idéia: Espessar  $X$ .

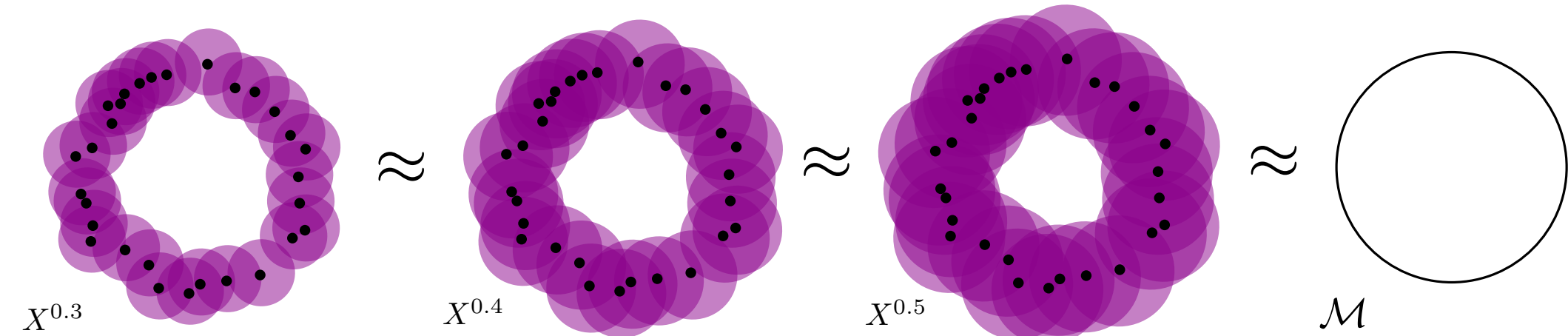
Definição: Por todo  $t \geq 0$ , o  **$t$ -espessamento** do conjunto  $X$ , denotado  $X^t$ , é o conjunto de pontos do espaço ambiente a uma distância máxima de  $t$  de  $X$ :

$$X^t = \{y \in \mathbb{R}^n, \exists x \in X, \|x - y\| \leq t\}.$$

# O problema da inferência homológica

37/69 (11/12)

Alguns espessamentos são homotopicamente equivalentes a  $\mathcal{M}$ .



Portanto, podemos encontrar a homologia de  $\mathcal{M}$ :

$$\beta_0(\mathcal{M}) = \beta_0(X^{0.3})$$

$$\beta_1(\mathcal{M}) = \beta_1(X^{0.3})$$

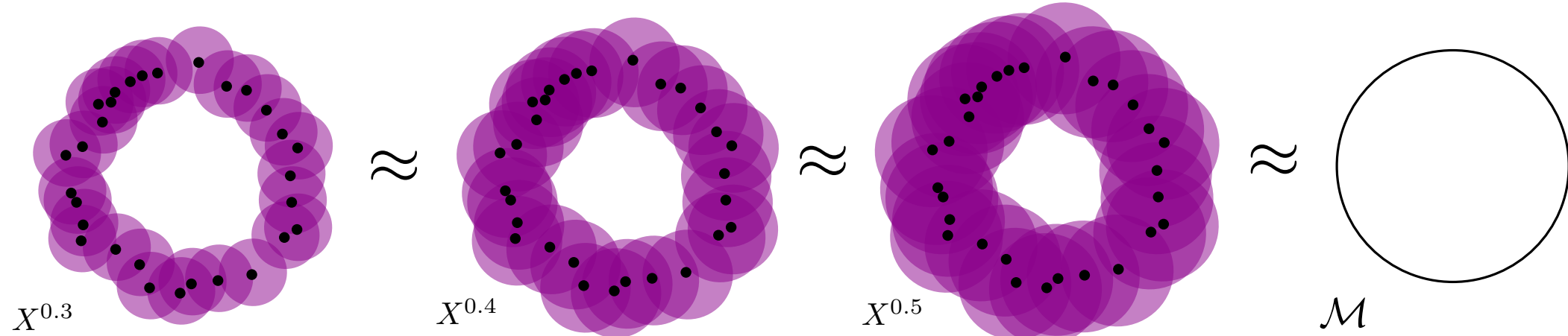
$$\beta_2(\mathcal{M}) = \beta_2(X^{0.3})$$

...

# O problema da inferência homológica

37/69 (12/12)

Alguns espessamentos são homotopicamente equivalentes a  $\mathcal{M}$ .



Portanto, podemos encontrar a homologia de  $\mathcal{M}$ :

$$\beta_0(\mathcal{M}) = \beta_0(X^{0.3})$$

$$\beta_1(\mathcal{M}) = \beta_1(X^{0.3})$$

$$\beta_2(\mathcal{M}) = \beta_2(X^{0.3})$$

...

Questão 1: Como selecionar um  $t$  tal que  $X^t \approx \mathcal{M}$ ?

Questão 2: Como calcular os grupos de homologia de  $X^t$ ?

# I - Comparar espaços topológicos

- 1 - Equivalência de homeomorfia
- 2 - Equivalência de homotopia

# II - Invariante topológico

- 1 - Número de componentes conexas
- 2 - Característica de Euler
- 3 - Números de Betti
- 4 - Homologia (simplicial sobre  $\mathbb{Z}/2\mathbb{Z}$ )

# III - Inferência topológica

- 1 - Estimação do parâmetro  $t$
- 2 - Nervos

# IV - Homologia persistente

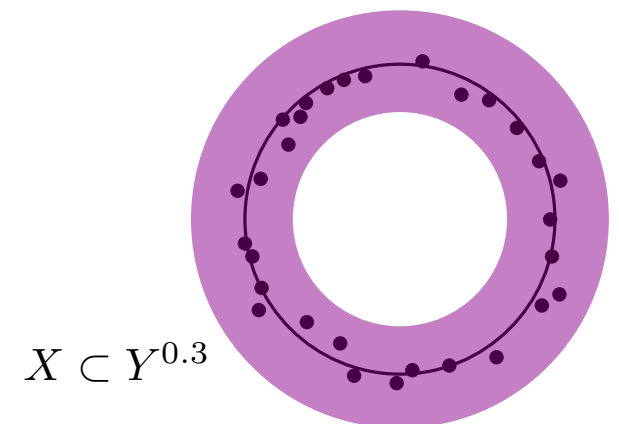
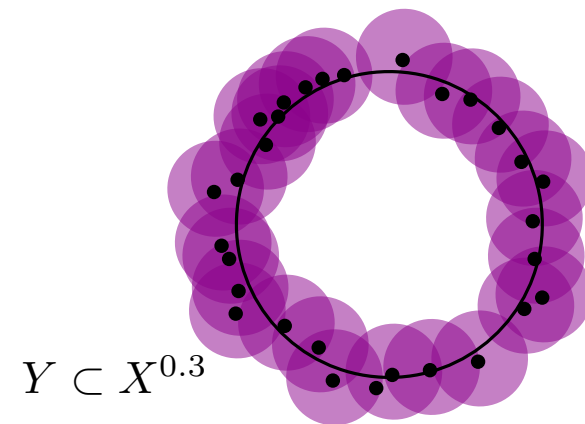
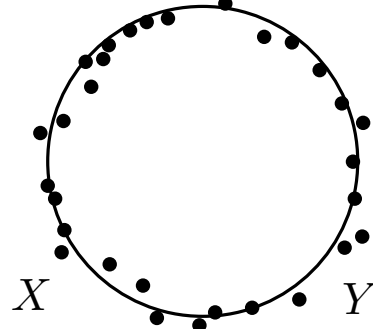
- 1 - Módulos de persistência
- 2 - Decomposição
- 3 - Estabilidade

# V - Aplicações

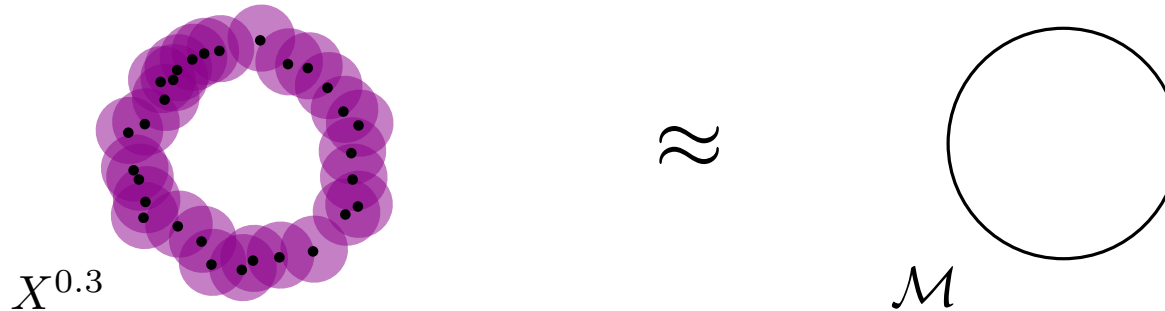
**Definição:** Sejam  $X, Y \subset \mathbb{R}^n$  dois subconjuntos compactos. A **Distância de Hausdorff** entre  $X$  e  $Y$  é

$$d_H(X, Y) = \max \left\{ \sup_{y \in Y} \inf_{x \in X} \|x - y\|, \sup_{x \in X} \inf_{y \in Y} \|x - y\| \right\}.$$

**Propriedade:** A distância de Hausdorff é igual a  $\inf \{t \geq 0, X \subset Y^t \text{ et } Y \subset X^t\}$ .



Questão 1: Como selecionar um  $t$  tal que  $X^t \approx \mathcal{M}$  ?



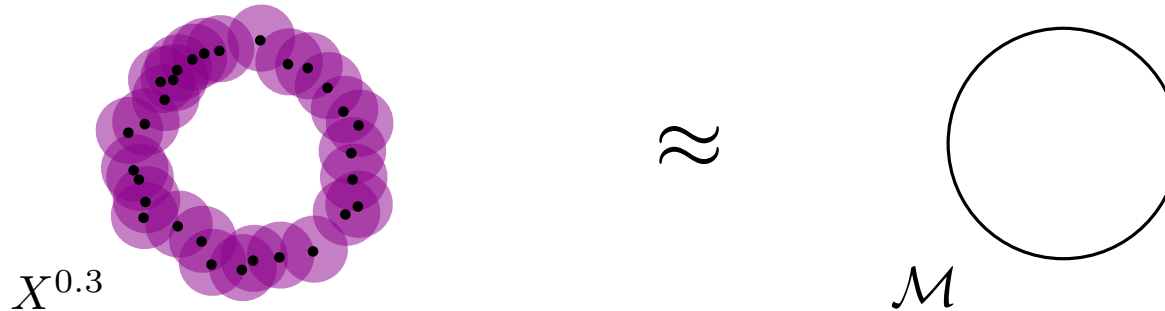
**Teorema (Frédéric Chazal, David Cohen-Steiner et André Lieutier, 2009):**

Sejam  $X$  e  $\mathcal{M}$  dois subconjuntos de  $\mathbb{R}^n$ . Suponha que  $\mathcal{M}$  tenha um *reach* estritamente positivo, e que  $d_H(X, \mathcal{M}) \leq \frac{1}{17} \text{reach}(\mathcal{M})$ .

Então  $X^t$  e  $\mathcal{M}$  são homotopicamente equivalentes, desde que

$$t \in [4d_H(X, \mathcal{M}), \text{reach}(\mathcal{M}) - 3d_H(X, \mathcal{M})].$$

Questão 1: Como selecionar um  $t$  tal que  $X^t \approx \mathcal{M}$  ?



**Teorema (Frédéric Chazal, David Cohen-Steiner et André Lieutier, 2009):**

Sejam  $X$  e  $\mathcal{M}$  dois subconjuntos de  $\mathbb{R}^n$ . Suponha que  $\mathcal{M}$  tenha um *reach* estritamente positivo, e que  $d_H(X, \mathcal{M}) \leq \frac{1}{17} \text{reach}(\mathcal{M})$ .

Então  $X^t$  e  $\mathcal{M}$  são homotopicamente equivalentes, desde que

$$t \in [4d_H(X, \mathcal{M}), \text{reach}(\mathcal{M}) - 3d_H(X, \mathcal{M})].$$

**Teorema (Partha Niyogi, Stephen Smale et Shmuel Weinberger, 2008):**

Sejam  $X$  e  $\mathcal{M}$  dois subconjuntos de  $\mathbb{R}^n$ , com  $\mathcal{M}$  uma subvariedade, e  $X$  um subconjunto finito de  $\mathcal{M}$ . Suponha que  $\mathcal{M}$  tenha um *reach* estritamente positivo. Então  $X^t$  e  $\mathcal{M}$  são homotopicamente equivalentes, desde que

$$t \in \left[ 2d_H(X, \mathcal{M}), \sqrt{\frac{3}{5}} \text{reach}(\mathcal{M}) \right].$$

# I - Comparar espaços topológicos

- 1 - Equivalência de homeomorfia
- 2 - Equivalência de homotopia

# II - Invariante topológico

- 1 - Número de componentes conexas
- 2 - Característica de Euler
- 3 - Números de Betti
- 4 - Homologia (simplicial sobre  $\mathbb{Z}/2\mathbb{Z}$ )

# III - Inferência topológica

- 1 - Estimação do parâmetro  $t$
- 2 - Nervos

# IV - Homologia persistente

- 1 - Módulos de persistência
- 2 - Decomposição
- 3 - Estabilidade

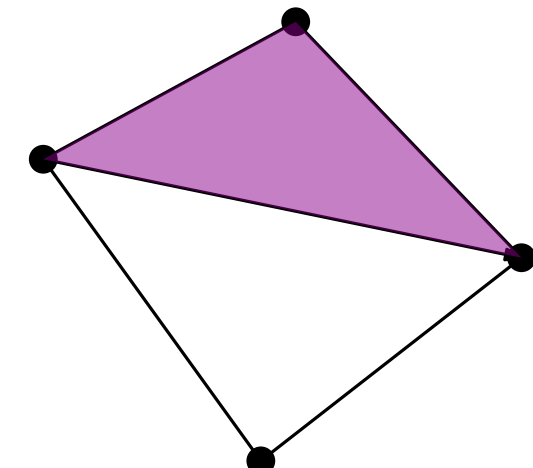
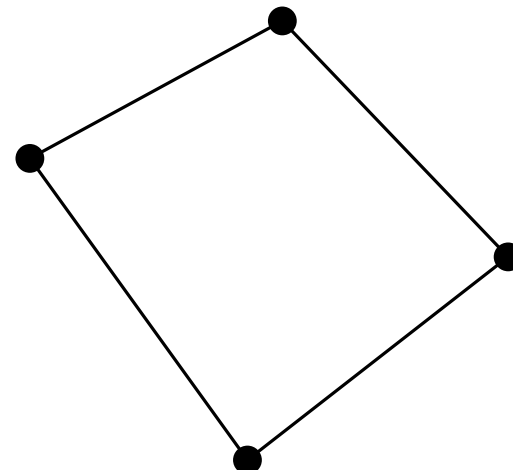
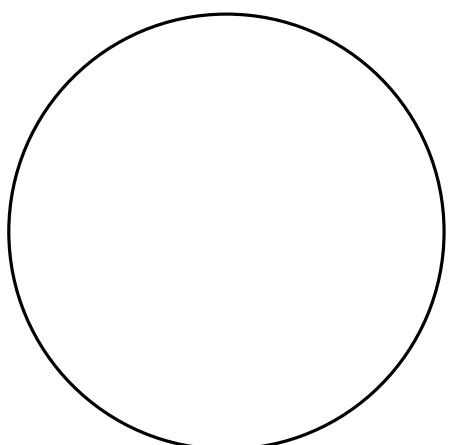
# V - Aplicações

Questão 2: Como calcular os grupos de homologia de  $X^t$  ?

Precisamos de uma triangulação de  $X^t$ , isto é, um complexo simplicial de  $K$  homeomórfico a  $X^t$ .

Na verdade, precisaremos de algo mais fraco: um complexo simplicial de  $K$  homotopicamente equivalente a  $X^t$ .

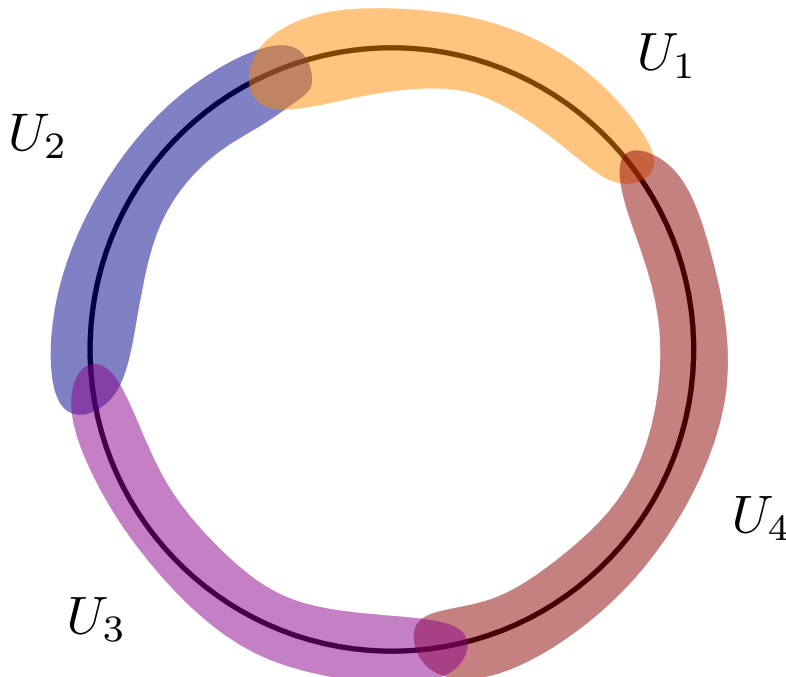
Dans les deux cas, on aura  $\beta_i(X^t) = \beta_i(K)$  por todo  $i \geq 0$ .



**Definição:** Seja  $X$  um espaço topológico, e  $\mathcal{U} = \{U_i\}_{1 \leq i \leq N}$  uma *cobertura* de  $X$ , isto é, uma coleção de subconjuntos  $U_i \subset X$  tal que

$$\bigcup_{1 \leq i \leq N} U_i = X.$$

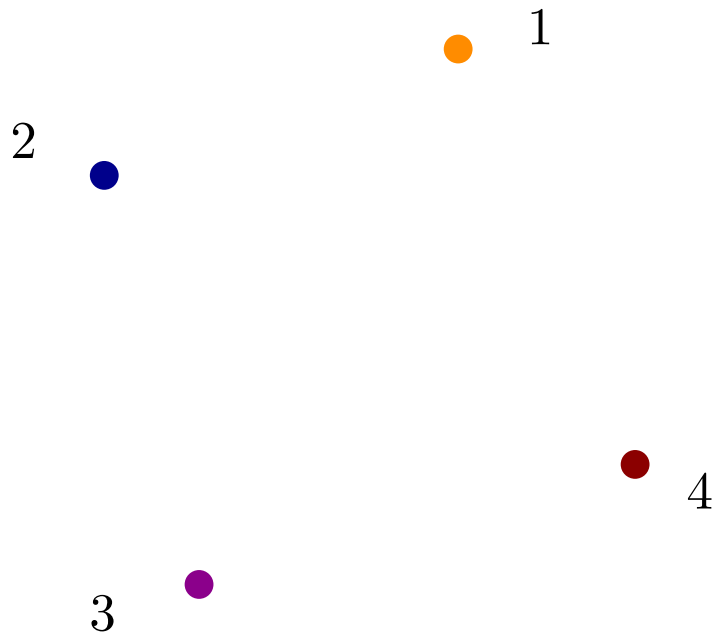
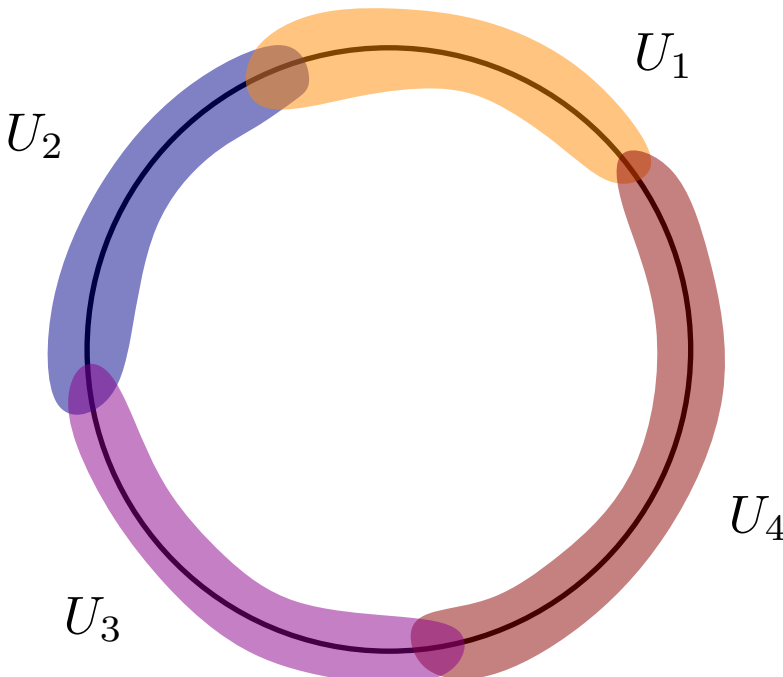
O **nervo** de  $\mathcal{U}$  é o complexo simplicial com conjunto de vértices  $\{1, \dots, N\}$  e cujos  $m$ -simplexos são os subconjuntos  $\{i_1, \dots, i_m\} \subset \{1, \dots, N\}$  tais que  $\bigcap_{k=0}^m U_{i_k} \neq \emptyset$ . É notado  $\mathcal{N}(\mathcal{U})$ .



**Definição:** Seja  $X$  um espaço topológico, e  $\mathcal{U} = \{U_i\}_{1 \leq i \leq N}$  uma *cobertura* de  $X$ , isto é, uma coleção de subconjuntos  $U_i \subset X$  tal que

$$\bigcup_{1 \leq i \leq N} U_i = X.$$

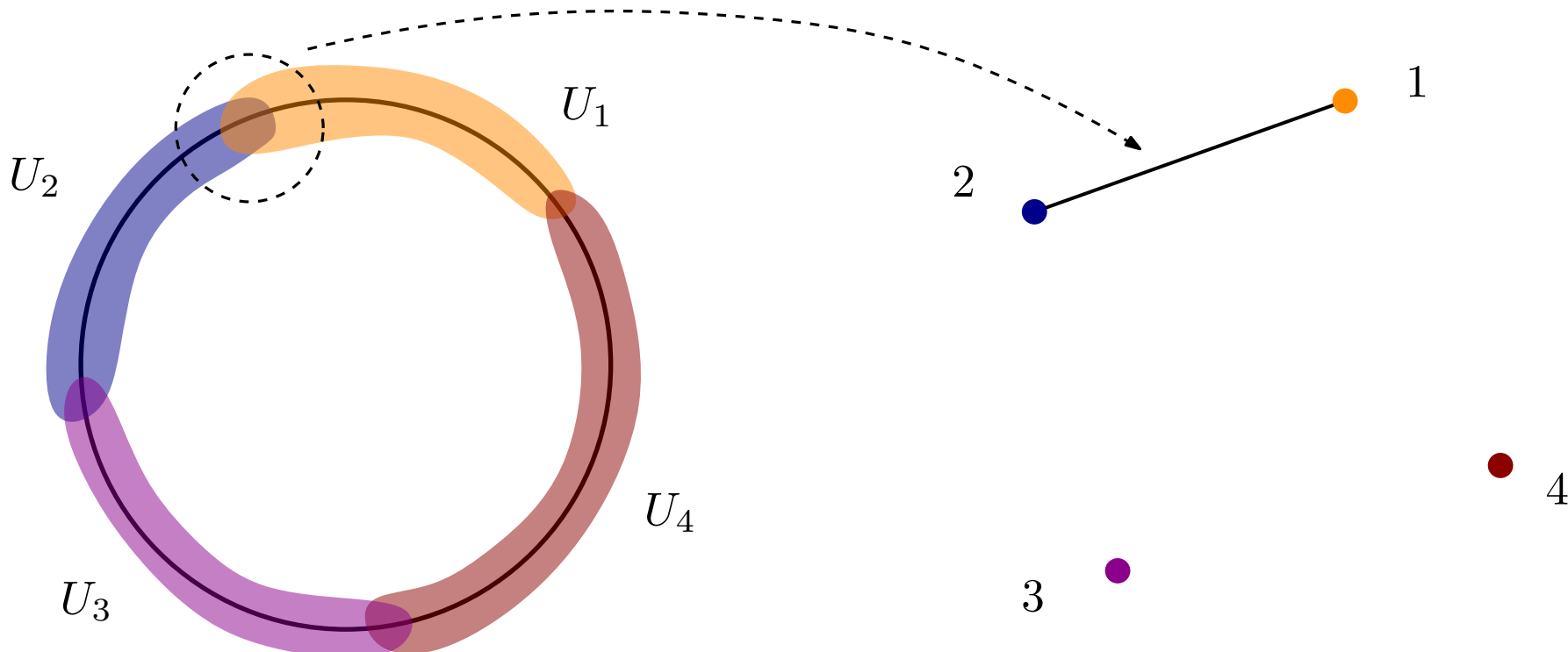
O **nervo** de  $\mathcal{U}$  é o complexo simplicial com conjunto de vértices  $\{1, \dots, N\}$  e cujos  $m$ -simplexos são os subconjuntos  $\{i_1, \dots, i_m\} \subset \{1, \dots, N\}$  tais que  $\bigcap_{k=0}^m U_{i_k} \neq \emptyset$ . É notado  $\mathcal{N}(\mathcal{U})$ .



**Definição:** Seja  $X$  um espaço topológico, e  $\mathcal{U} = \{U_i\}_{1 \leq i \leq N}$  uma *cobertura* de  $X$ , isto é, uma coleção de subconjuntos  $U_i \subset X$  tal que

$$\bigcup_{1 \leq i \leq N} U_i = X.$$

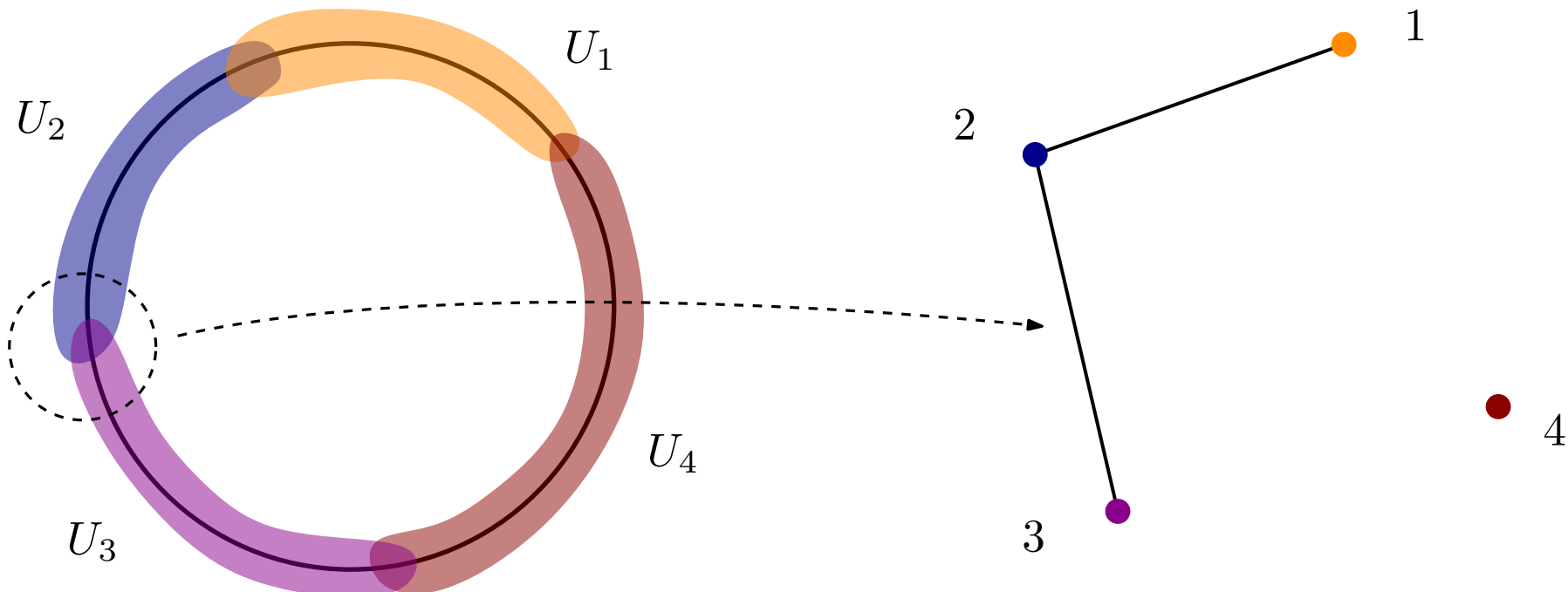
O **nervo** de  $\mathcal{U}$  é o complexo simplicial com conjunto de vértices  $\{1, \dots, N\}$  e cujos  $m$ -simplexos são os subconjuntos  $\{i_1, \dots, i_m\} \subset \{1, \dots, N\}$  tais que  $\bigcap_{k=0}^m U_{i_k} \neq \emptyset$ . É notado  $\mathcal{N}(\mathcal{U})$ .



**Definição:** Seja  $X$  um espaço topológico, e  $\mathcal{U} = \{U_i\}_{1 \leq i \leq N}$  uma *cobertura* de  $X$ , isto é, uma coleção de subconjuntos  $U_i \subset X$  tal que

$$\bigcup_{1 \leq i \leq N} U_i = X.$$

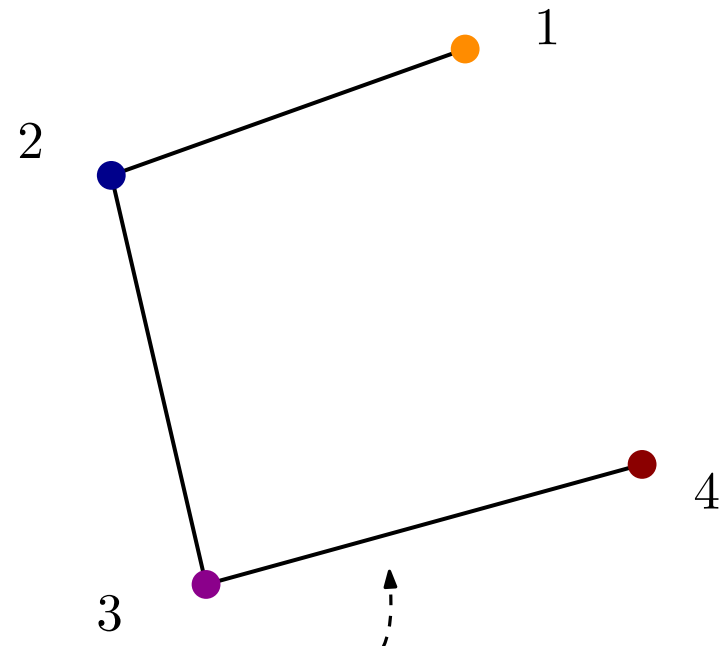
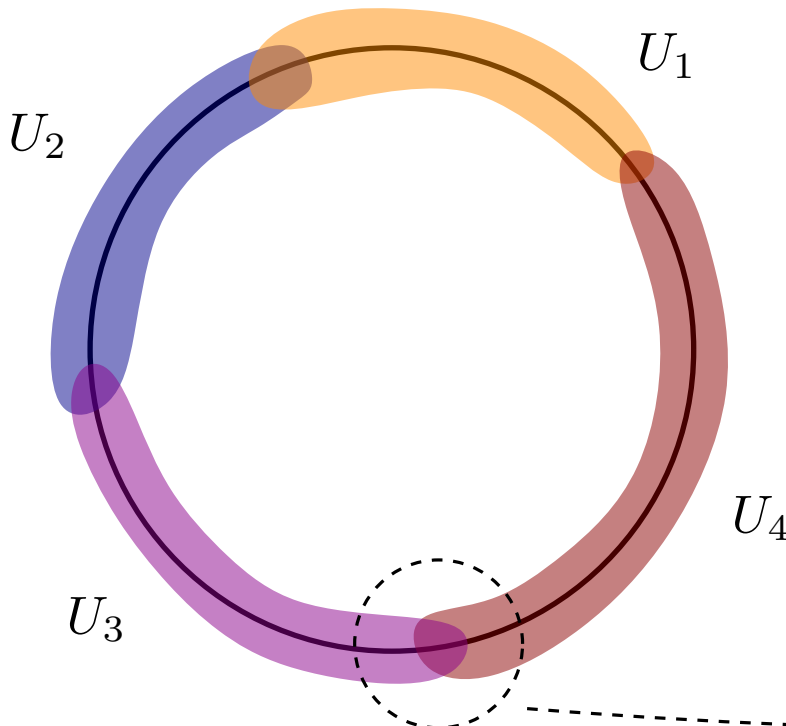
O **nervo** de  $\mathcal{U}$  é o complexo simplicial com conjunto de vértices  $\{1, \dots, N\}$  e cujos  $m$ -simplexos são os subconjuntos  $\{i_1, \dots, i_m\} \subset \{1, \dots, N\}$  tais que  $\bigcap_{k=0}^m U_{i_k} \neq \emptyset$ . É notado  $\mathcal{N}(\mathcal{U})$ .



**Definição:** Seja  $X$  um espaço topológico, e  $\mathcal{U} = \{U_i\}_{1 \leq i \leq N}$  uma *cobertura* de  $X$ , isto é, uma coleção de subconjuntos  $U_i \subset X$  tal que

$$\bigcup_{1 \leq i \leq N} U_i = X.$$

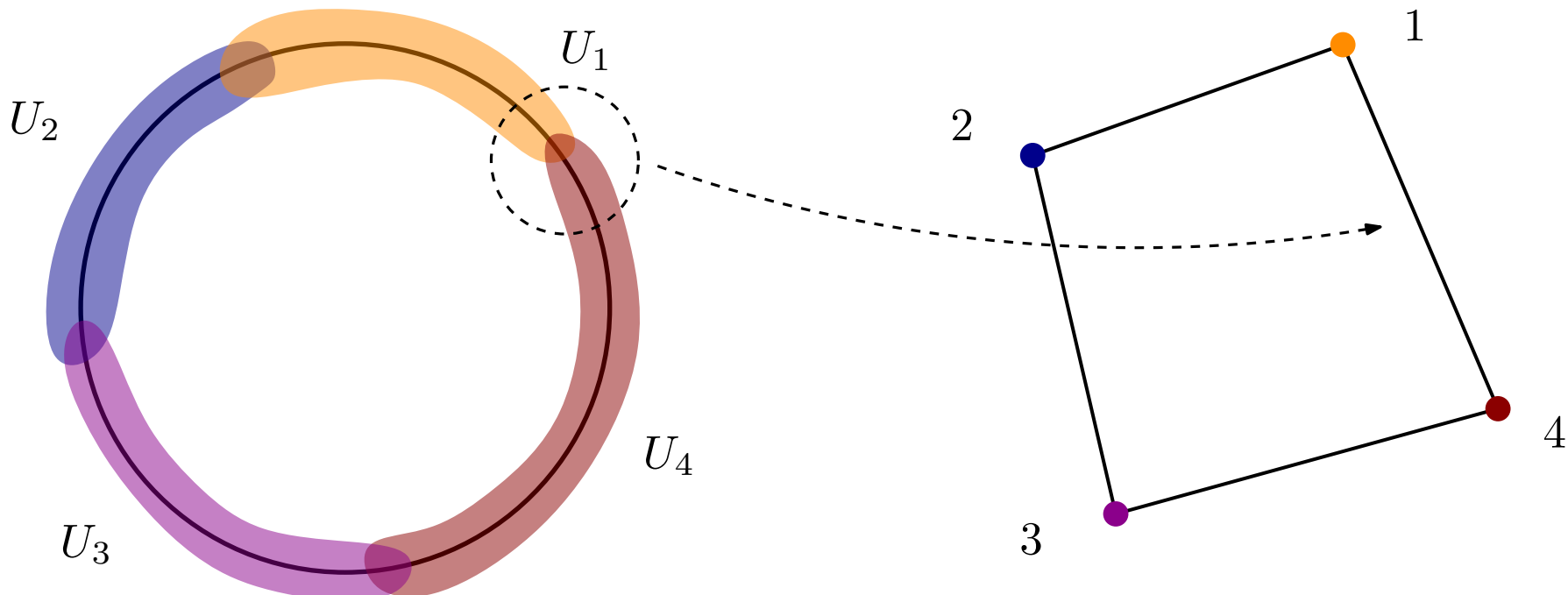
O **nervo** de  $\mathcal{U}$  é o complexo simplicial com conjunto de vértices  $\{1, \dots, N\}$  e cujos  $m$ -simplexos são os subconjuntos  $\{i_1, \dots, i_m\} \subset \{1, \dots, N\}$  tais que  $\bigcap_{k=0}^m U_{i_k} \neq \emptyset$ . É notado  $\mathcal{N}(\mathcal{U})$ .



**Definição:** Seja  $X$  um espaço topológico, e  $\mathcal{U} = \{U_i\}_{1 \leq i \leq N}$  uma *cobertura* de  $X$ , isto é, uma coleção de subconjuntos  $U_i \subset X$  tal que

$$\bigcup_{1 \leq i \leq N} U_i = X.$$

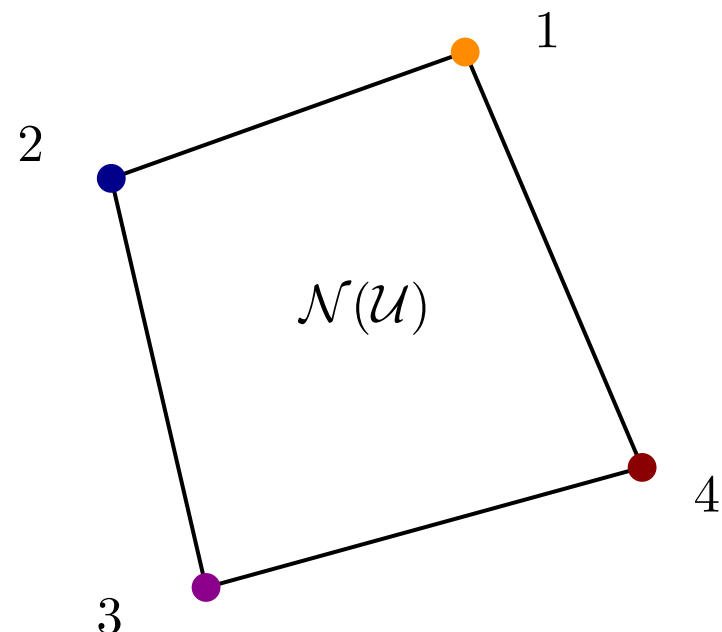
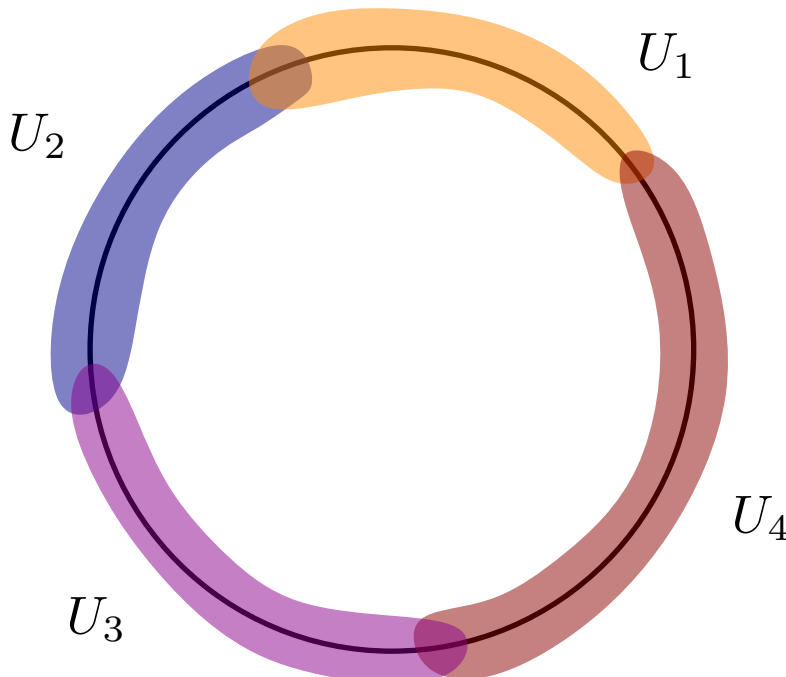
O **nervo** de  $\mathcal{U}$  é o complexo simplicial com conjunto de vértices  $\{1, \dots, N\}$  e cujos  $m$ -simplexos são os subconjuntos  $\{i_1, \dots, i_m\} \subset \{1, \dots, N\}$  tais que  $\bigcap_{k=0}^m U_{i_k} \neq \emptyset$ . É notado  $\mathcal{N}(\mathcal{U})$ .



**Definição:** Seja  $X$  um espaço topológico, e  $\mathcal{U} = \{U_i\}_{1 \leq i \leq N}$  uma *cobertura* de  $X$ , isto é, uma coleção de subconjuntos  $U_i \subset X$  tal que

$$\bigcup_{1 \leq i \leq N} U_i = X.$$

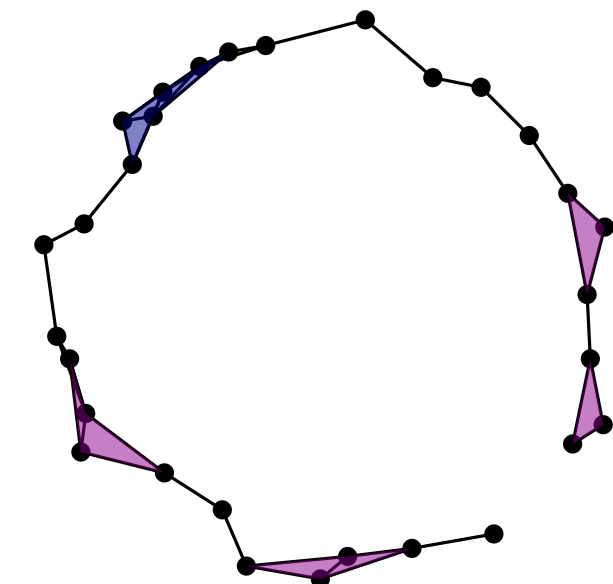
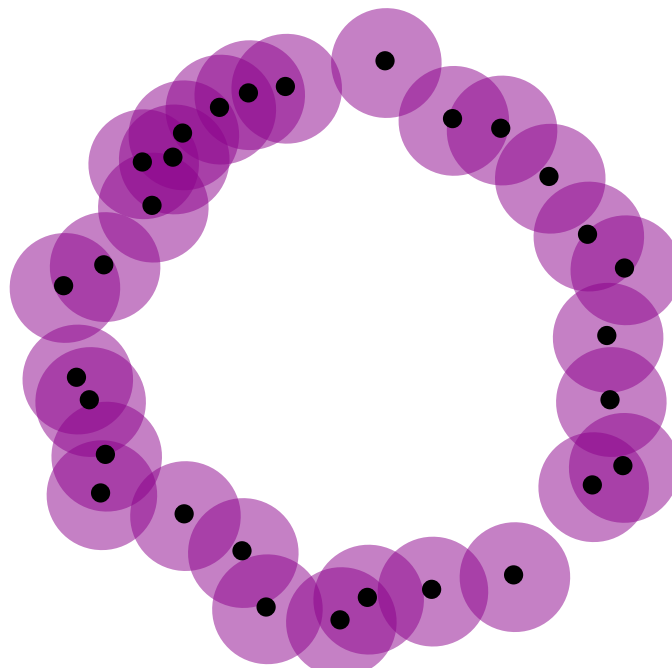
O **nervo** de  $\mathcal{U}$  é o complexo simplicial com conjunto de vértices  $\{1, \dots, N\}$  e cujos  $m$ -simplexos são os subconjuntos  $\{i_1, \dots, i_m\} \subset \{1, \dots, N\}$  tais que  $\bigcap_{k=0}^m U_{i_k} \neq \emptyset$ . É notado  $\mathcal{N}(\mathcal{U})$ .



**Definição:** Seja  $X$  um espaço topológico, e  $\mathcal{U} = \{U_i\}_{1 \leq i \leq N}$  uma *cobertura* de  $X$ , isto é, uma coleção de subconjuntos  $U_i \subset X$  tal que

$$\bigcup_{1 \leq i \leq N} U_i = X.$$

O **nervo** de  $\mathcal{U}$  é o complexo simplicial com conjunto de vértices  $\{1, \dots, N\}$  e cujos  $m$ -simplexos são os subconjuntos  $\{i_1, \dots, i_m\} \subset \{1, \dots, N\}$  tais que  $\bigcap_{k=0}^m U_{i_k} \neq \emptyset$ . É notado  $\mathcal{N}(\mathcal{U})$ .

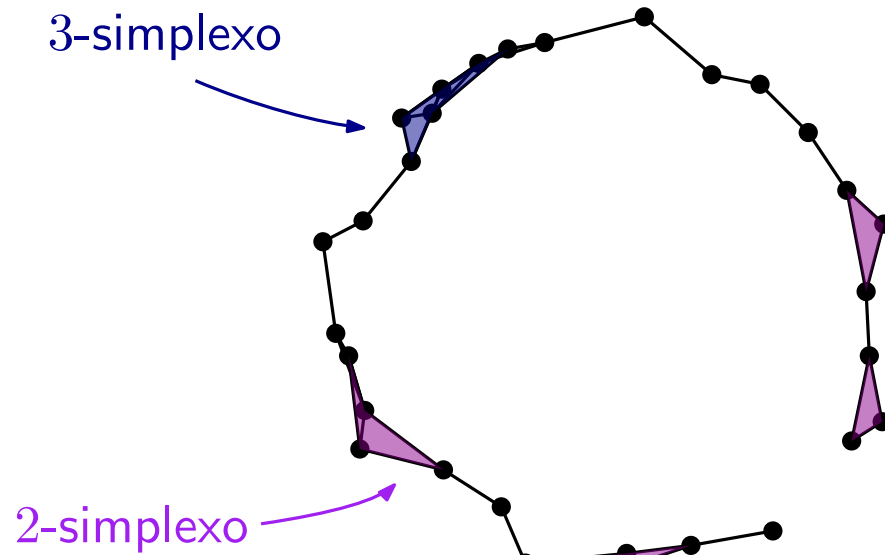
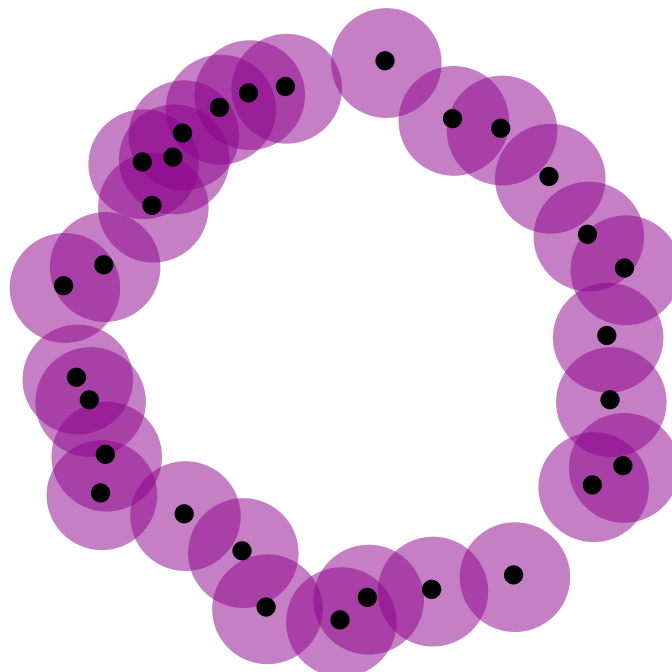


$X^{0.2} = \bigcup_{x \in X} \overline{\mathcal{B}}(x, 0.2)$  é coberto por  $\mathcal{U} = \{\overline{\mathcal{B}}(x, 0.2), x \in X\}$

**Definição:** Seja  $X$  um espaço topológico, e  $\mathcal{U} = \{U_i\}_{1 \leq i \leq N}$  uma *cobertura* de  $X$ , isto é, uma coleção de subconjuntos  $U_i \subset X$  tal que

$$\bigcup_{1 \leq i \leq N} U_i = X.$$

O **nervo** de  $\mathcal{U}$  é o complexo simplicial com conjunto de vértices  $\{1, \dots, N\}$  e cujos  $m$ -simplexos são os subconjuntos  $\{i_1, \dots, i_m\} \subset \{1, \dots, N\}$  tais que  $\bigcap_{k=0}^m U_{i_k} \neq \emptyset$ . É notado  $\mathcal{N}(\mathcal{U})$ .

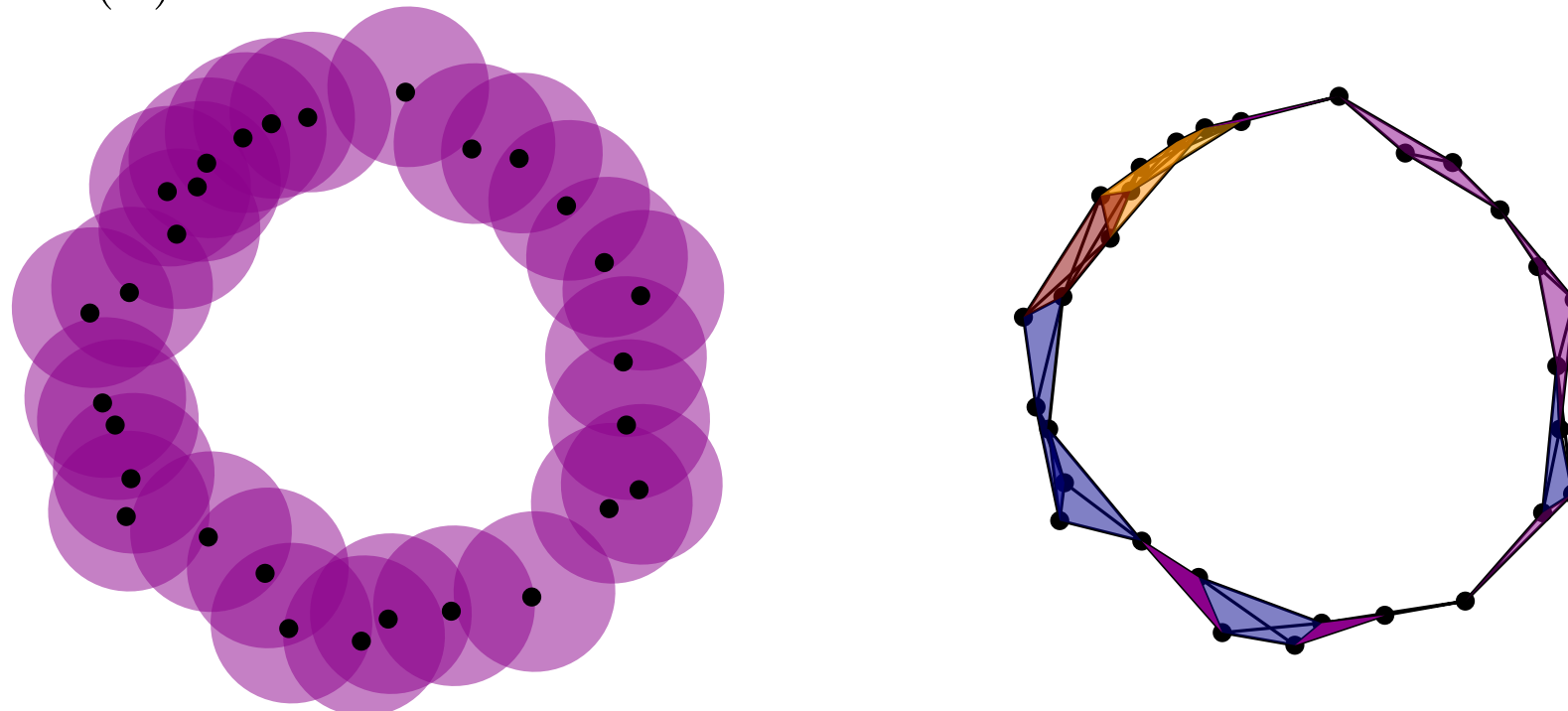


$X^{0.2} = \bigcup_{x \in X} \overline{\mathcal{B}}(x, 0.2)$  é coberto por  $\mathcal{U} = \{\overline{\mathcal{B}}(x, 0.2), x \in X\}$

**Definição:** Seja  $X$  um espaço topológico, e  $\mathcal{U} = \{U_i\}_{1 \leq i \leq N}$  uma *cobertura* de  $X$ , isto é, uma coleção de subconjuntos  $U_i \subset X$  tal que

$$\bigcup_{1 \leq i \leq N} U_i = X.$$

O **nervo** de  $\mathcal{U}$  é o complexo simplicial com conjunto de vértices  $\{1, \dots, N\}$  e cujos  $m$ -simplexos são os subconjuntos  $\{i_1, \dots, i_m\} \subset \{1, \dots, N\}$  tais que  $\bigcap_{k=0}^m U_{i_k} \neq \emptyset$ . É notado  $\mathcal{N}(\mathcal{U})$ .

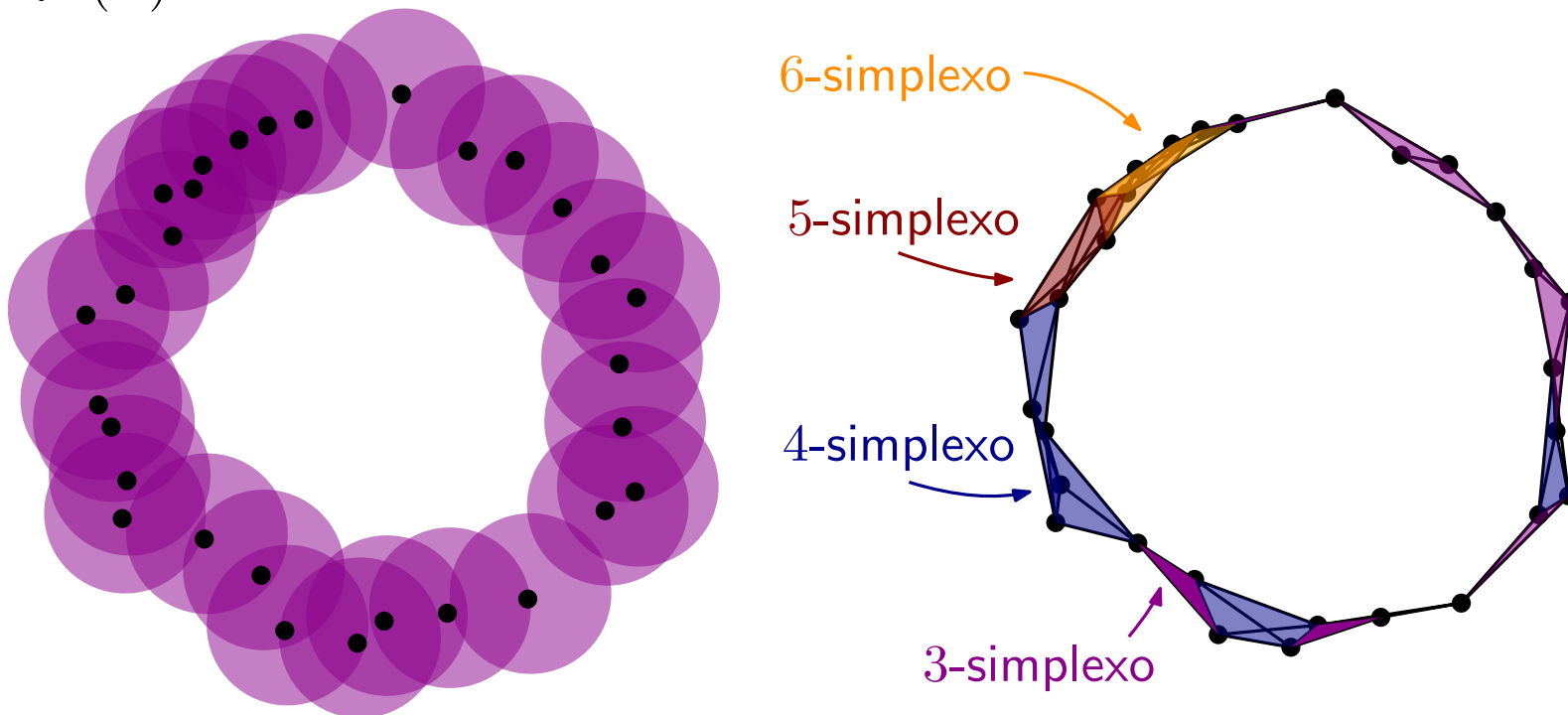


$X^{0.3} = \bigcup_{x \in X} \overline{\mathcal{B}}(x, 0.3)$  é coberto por  $\mathcal{U} = \{\overline{\mathcal{B}}(x, 0.3), x \in X\}$

**Definição:** Seja  $X$  um espaço topológico, e  $\mathcal{U} = \{U_i\}_{1 \leq i \leq N}$  uma *cobertura* de  $X$ , isto é, uma coleção de subconjuntos  $U_i \subset X$  tal que

$$\bigcup_{1 \leq i \leq N} U_i = X.$$

O **nervo** de  $\mathcal{U}$  é o complexo simplicial com conjunto de vértices  $\{1, \dots, N\}$  e cujos  $m$ -simplexos são os subconjuntos  $\{i_1, \dots, i_m\} \subset \{1, \dots, N\}$  tais que  $\bigcap_{k=0}^m U_{i_k} \neq \emptyset$ . É notado  $\mathcal{N}(\mathcal{U})$ .



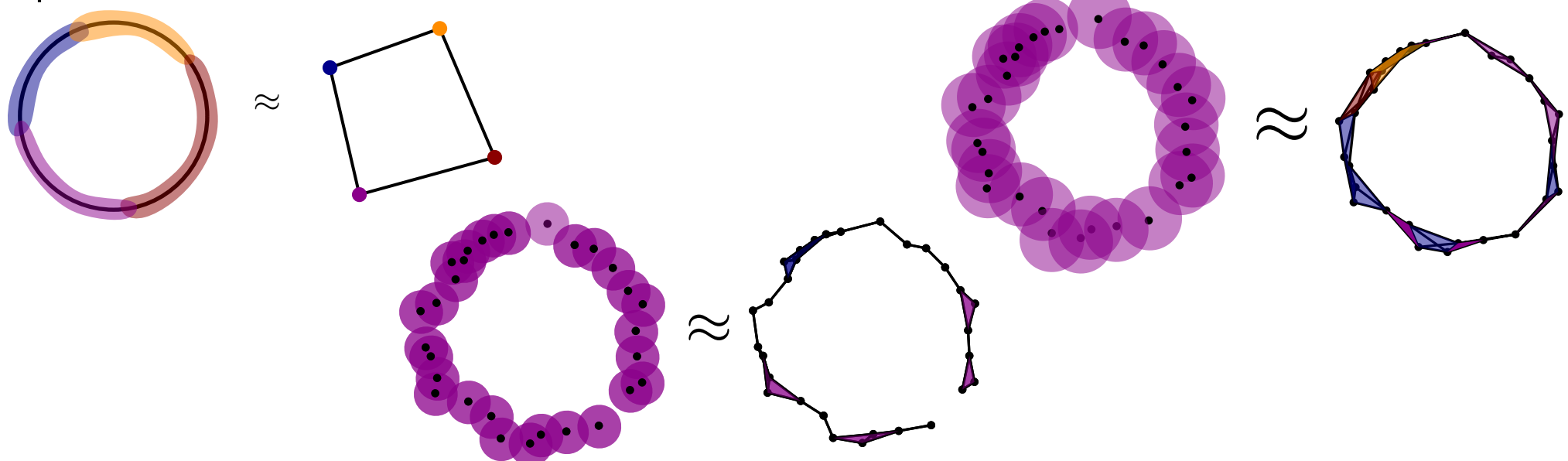
$X^{0.3} = \bigcup_{x \in X} \overline{\mathcal{B}}(x, 0.3)$  é coberto por  $\mathcal{U} = \{\overline{\mathcal{B}}(x, 0.3), x \in X\}$

**Definição:** Seja  $X$  um espaço topológico, e  $\mathcal{U} = \{U_i\}_{1 \leq i \leq N}$  uma *cobertura* de  $X$ , isto é, uma coleção de subconjuntos  $U_i \subset X$  tal que

$$\bigcup_{1 \leq i \leq N} U_i = X.$$

O **nervo** de  $\mathcal{U}$  é o complexo simplicial com conjunto de vértices  $\{1, \dots, N\}$  e cujos  $m$ -simplexos são os subconjuntos  $\{i_1, \dots, i_m\} \subset \{1, \dots, N\}$  tais que  $\bigcap_{k=0}^m U_{i_k} \neq \emptyset$ . É notado  $\mathcal{N}(\mathcal{U})$ .

**Teorema do nervo:** Seja  $X \subset \mathbb{R}^n$ . Suponha que cada  $U_i$  seja uma bola (ou mais geralmente, um subconjunto fechado e convexo). Então  $\mathcal{N}(\mathcal{U})$  é homotopicamente equivalente a  $X$ .

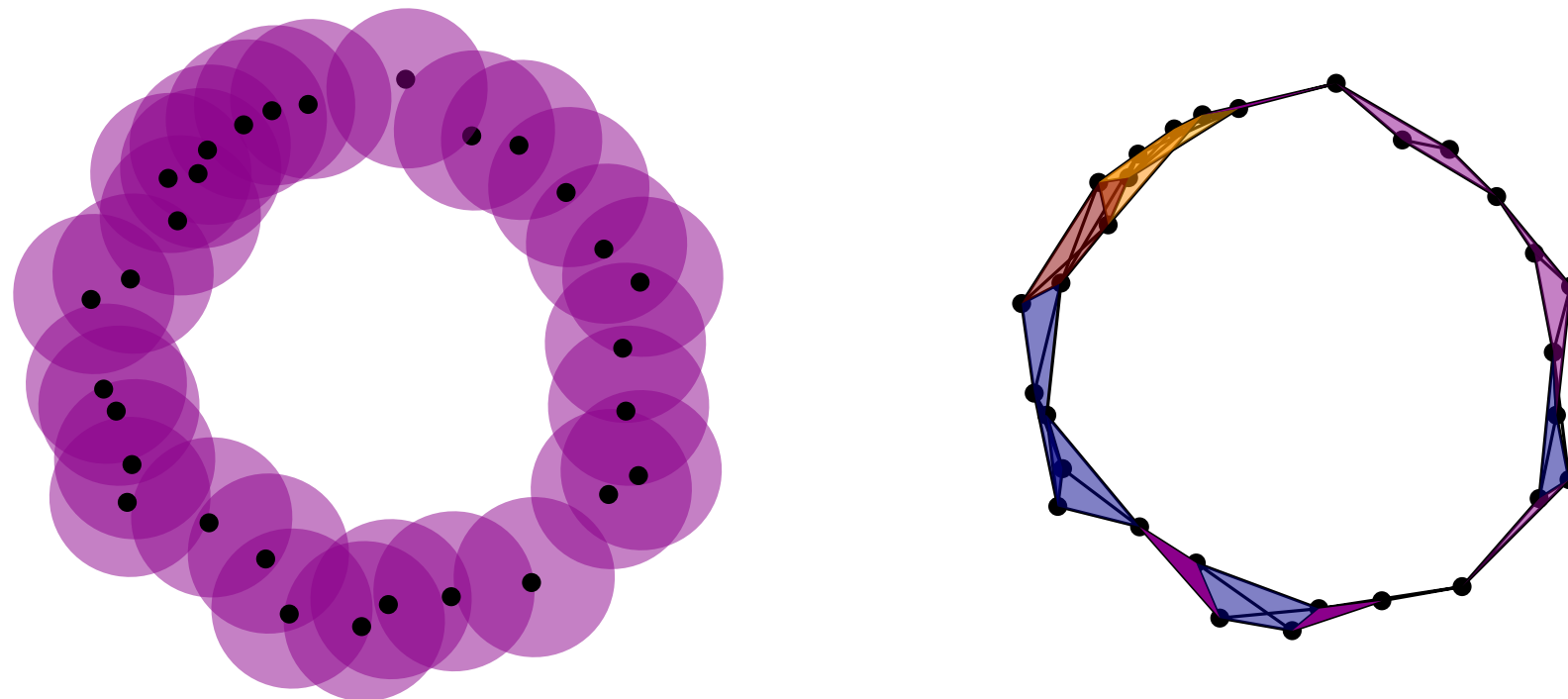


Seja  $X$  um subconjunto finito de  $\mathbb{R}^n$ , et  $t \geq 0$ . Seja a coleção

$$\mathcal{V}^t = \{\overline{\mathcal{B}}(x, t), x \in X\}.$$

É uma cobertura do espessamento  $X^t$ , onde cada elemento é uma bola fechada. Pelo teorema do nervo, seu nervo  $\mathcal{N}(\mathcal{V}^t)$  é homotopicamente equivalente a  $X^t$ .

**Definição:** Este nervo é notado  $\check{\text{Cech}}^t(X)$  e é chamado de **complexo de Čech no tempo  $t$** .

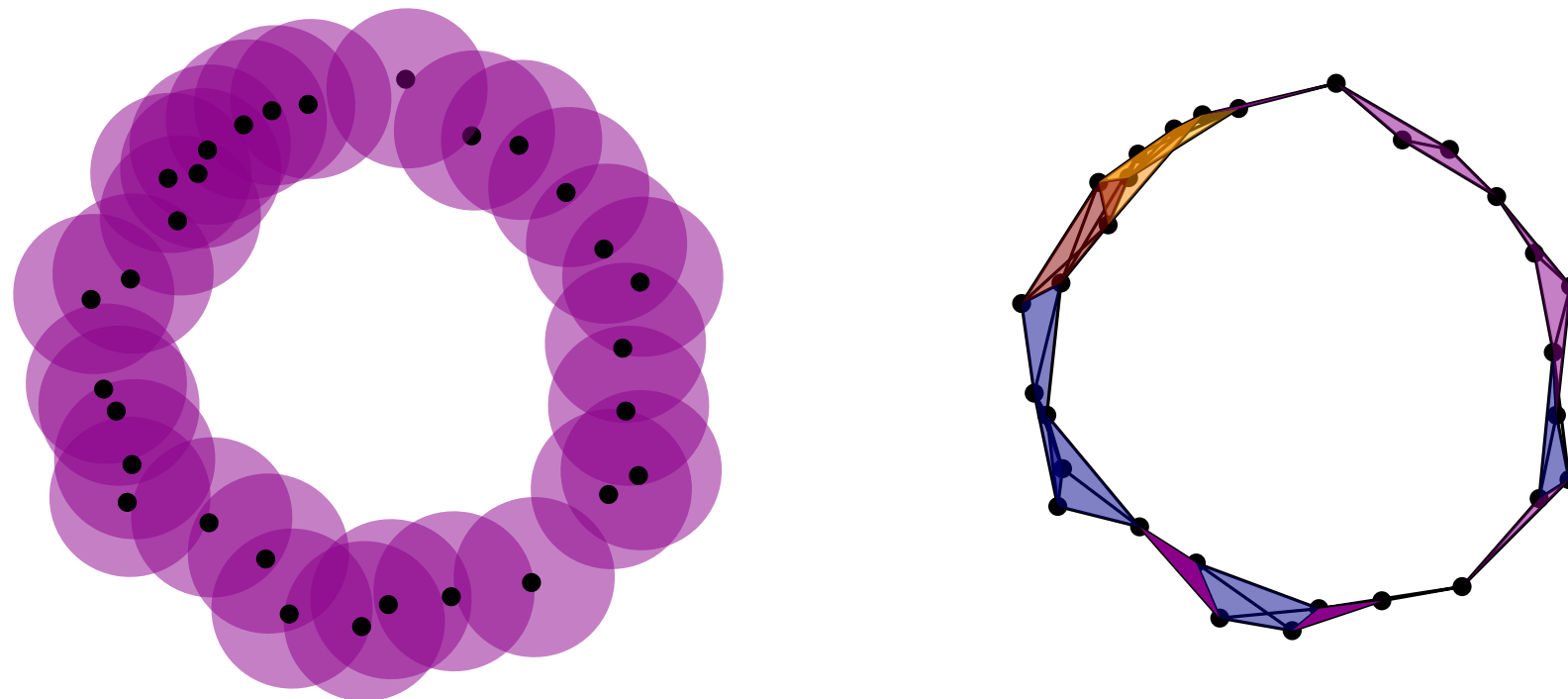


Seja  $X$  um subconjunto finito de  $\mathbb{R}^n$ , et  $t \geq 0$ . Seja a coleção

$$\mathcal{V}^t = \{\overline{\mathcal{B}}(x, t), x \in X\}.$$

É uma cobertura do espessamento  $X^t$ , onde cada elemento é uma bola fechada. Pelo teorema do nervo, seu nervo  $\mathcal{N}(\mathcal{V}^t)$  é homotopicamente equivalente a  $X^t$ .

**Definição:** Este nervo é notado  $\check{\text{Cech}}^t(X)$  e é chamado de **complexo de Čech no tempo  $t$** .



→ A Questão 2 (Como calcular os grupos de homologia de  $X^t$ ?) é resolvida.

# I - Comparar espaços topológicos

- 1 - Equivalência de homeomorfia
- 2 - Equivalência de homotopia

# II - Invariante topológico

- 1 - Número de componentes conexas
- 2 - Característica de Euler
- 3 - Números de Betti
- 4 - Homologia (simplicial sobre  $\mathbb{Z}/2\mathbb{Z}$ )

# III - Inferência topológica

- 1 - Estimação do parâmetro  $t$
- 2 - Nervos

# IV - Homologia persistente

- 1 - Módulos de persistência
- 2 - Decomposição
- 3 - Estabilidade

# V - Aplicações

# O problema da escala

46/69 (1/3)

Questão 1 : Como selecionar um  $t$  tal que  $X^t \approx \mathcal{M}$ ?

Teorema (Frédéric Chazal, David Cohen-Steiner et André Lieutier, 2009):

Sejam  $X$  e  $\mathcal{M}$  dois subconjuntos de  $\mathbb{R}^n$ . Suponha que  $\mathcal{M}$  tenha um *reach* estritamente positivo, e que  $d_H(X, \mathcal{M}) \leq \frac{1}{17} \text{reach}(\mathcal{M})$ .

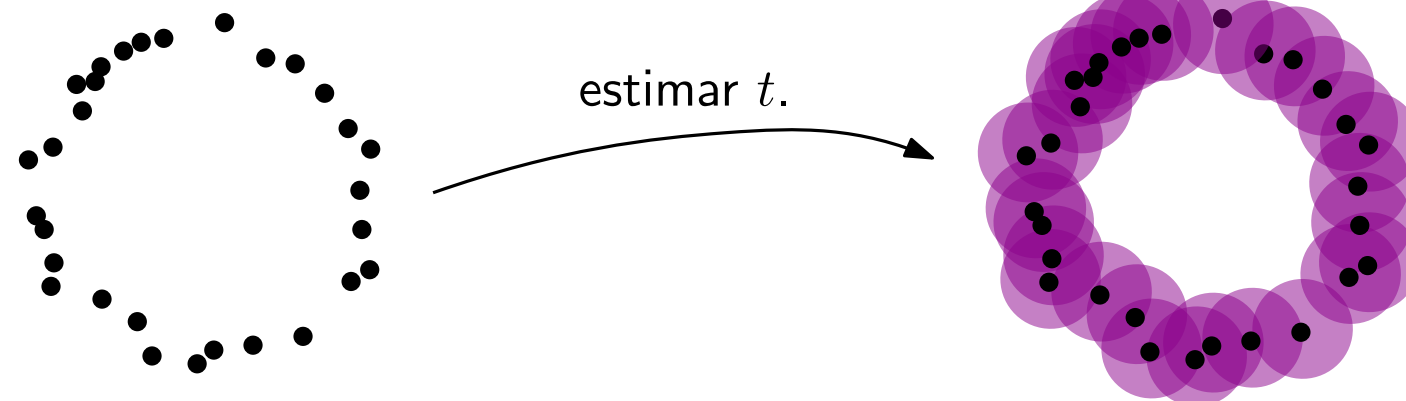
Então  $X^t$  e  $\mathcal{M}$  são homotopicamente equivalentes, desde que

$$t \in [4d_H(X, \mathcal{M}), \text{reach}(\mathcal{M}) - 3d_H(X, \mathcal{M})].$$

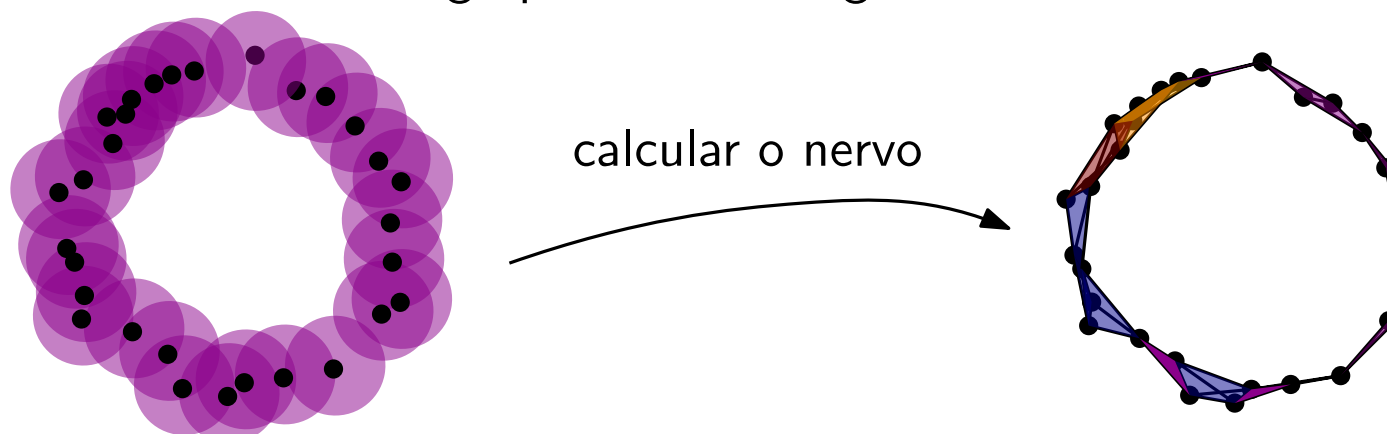
Teorema (Partha Niyogi, Stephen Smale et Shmuel Weinberger, 2008):

Sejam  $X$  e  $\mathcal{M}$  dois subconjuntos de  $\mathbb{R}^n$ , com  $\mathcal{M}$  uma subvariedade, e  $X$  um subconjunto finito de  $\mathcal{M}$ . Suponha que  $\mathcal{M}$  tenha um *reach* estritamente positivo. Então  $X^t$  e  $\mathcal{M}$  são homotopicamente equivalentes, desde que

$$t \in \left[ 2d_H(X, \mathcal{M}), \sqrt{\frac{3}{5}} \text{reach}(\mathcal{M}) \right].$$



Questão 2: Como calcular os grupos de homologia de  $X^t$  ?



# O problema da escala

46/69 (2/3)

Questão 1 : Como selecionar um  $t$  tal que  $X^t \approx \mathcal{M}$ ?

Teorema (Frédéric Chazal, David Cohen-Steiner et André Lieutier, 2009):

Sejam  $X$  e  $\mathcal{M}$  dois subconjuntos de  $\mathbb{R}^n$ . Suponha que  $\mathcal{M}$  tenha um *reach* estritamente positivo, e que  $d_H(X, \mathcal{M}) \leq \frac{1}{17}\text{reach}(\mathcal{M})$ .

Então  $X^t$  e  $\mathcal{M}$  são homotopicamente equivalentes, desde que

$$t \in [4d_H(X, \mathcal{M}), \text{reach}(\mathcal{M}) - 3d_H(X, \mathcal{M})].$$

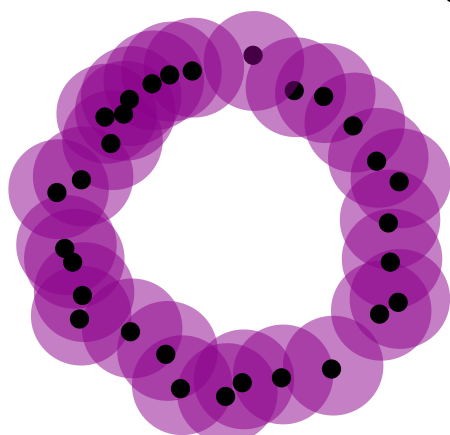
Teorema (Partha Niyogi, Stephen Smale et Shmuel Weinberger, 2008):

Sejam  $X$  e  $\mathcal{M}$  dois subconjuntos de  $\mathbb{R}^n$ , com  $\mathcal{M}$  uma subvariedade, e  $X$  um subconjunto finito de  $\mathcal{M}$ . Suponha que  $\mathcal{M}$  tenha um *reach* estritamente positivo. Então  $X^t$  e  $\mathcal{M}$  são homotopicamente equivalentes, desde que

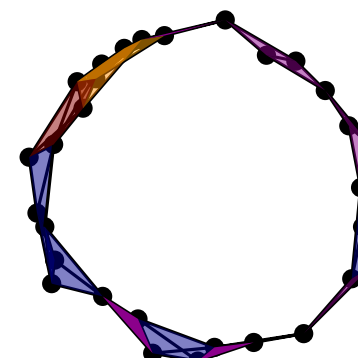
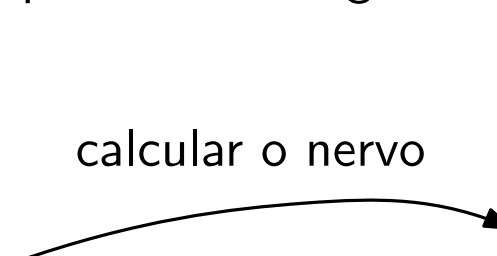
$$t \in \left[ 2d_H(X, \mathcal{M}), \sqrt{\frac{3}{5}}\text{reach}(\mathcal{M}) \right].$$

↑  
não sabemos estas quantidades!

Questão 2: Como calcular os grupos de homologia de  $X^t$  ?



calcular o nervo



# O problema da escala

46/69 (3/3)

Questão 1 : Como selecionar um  $t$  tal que  $X^t \approx \mathcal{M}$ ?

Teorema (Frédéric Chazal, David Cohen-Steiner et André Lieutier, 2009):

Sejam  $X$  e  $\mathcal{M}$  dois subconjuntos de  $\mathbb{R}^n$ . Suponha que  $\mathcal{M}$  tenha um *reach* estritamente positivo, e que  $d_H(X, \mathcal{M}) \leq \frac{1}{17} \text{reach}(\mathcal{M})$ .

Então  $X^t$  e  $\mathcal{M}$  são homotopicamente equivalentes, desde que

$$t \in [4d_H(X, \mathcal{M}), \text{reach}(\mathcal{M}) - 3d_H(X, \mathcal{M})].$$

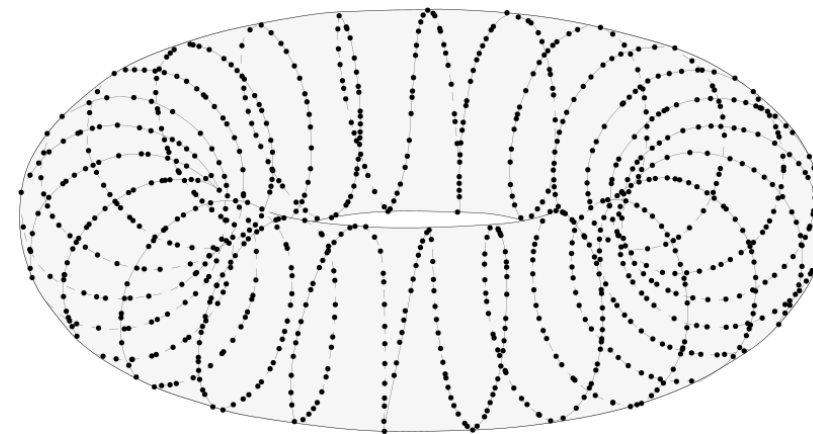
Teorema (Partha Niyogi, Stephen Smale et Shmuel Weinberger, 2008):

Sejam  $X$  e  $\mathcal{M}$  dois subconjuntos de  $\mathbb{R}^n$ , com  $\mathcal{M}$  uma subvariedade, e  $X$  um subconjunto finito de  $\mathcal{M}$ . Suponha que  $\mathcal{M}$  tenha um *reach* estritamente positivo. Então  $X^t$  e  $\mathcal{M}$  são homotopicamente equivalentes, desde que

$$t \in \left[ 2d_H(X, \mathcal{M}), \sqrt{\frac{3}{5}} \text{reach}(\mathcal{M}) \right].$$



Este objeto é de dimensão 1 ou 2?



Idéia (análise multiescala): Em vez de escolher um valor por  $t$ , vamos escolher todos eles.

Definição: A **filtração de Čech** de  $X$  é a coleção  $V[X] = (X^t)_{t \geq 0}$ .

# I - Comparar espaços topológicos

- 1 - Equivalência de homeomorfia
- 2 - Equivalência de homotopia

# II - Invariante topológico

- 1 - Número de componentes conexas
- 2 - Característica de Euler
- 3 - Números de Betti
- 4 - Homologia (simplicial sobre  $\mathbb{Z}/2\mathbb{Z}$ )

# III - Inferência topológica

- 1 - Estimação do parâmetro  $t$
- 2 - Nervos

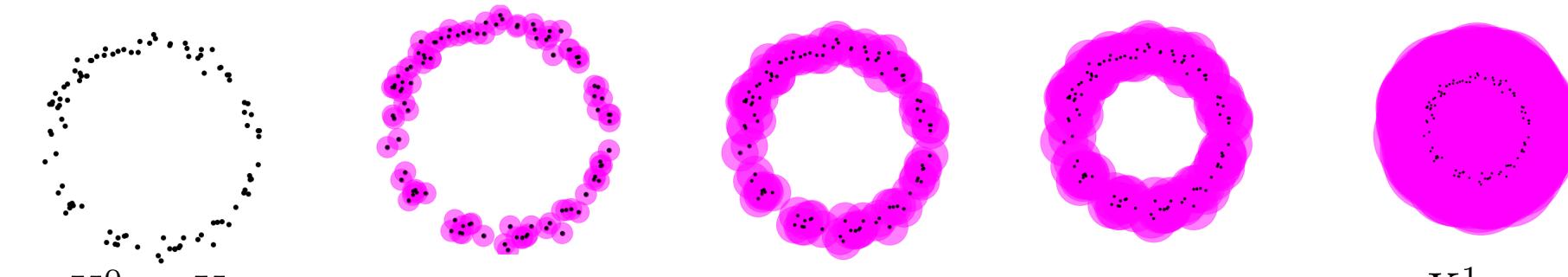
# IV - Homologia persistente

- 1 - Módulos de persistência
- 2 - Decomposição
- 3 - Estabilidade

# V - Aplicações

Vamos calcular a homologia de cada espessamento:

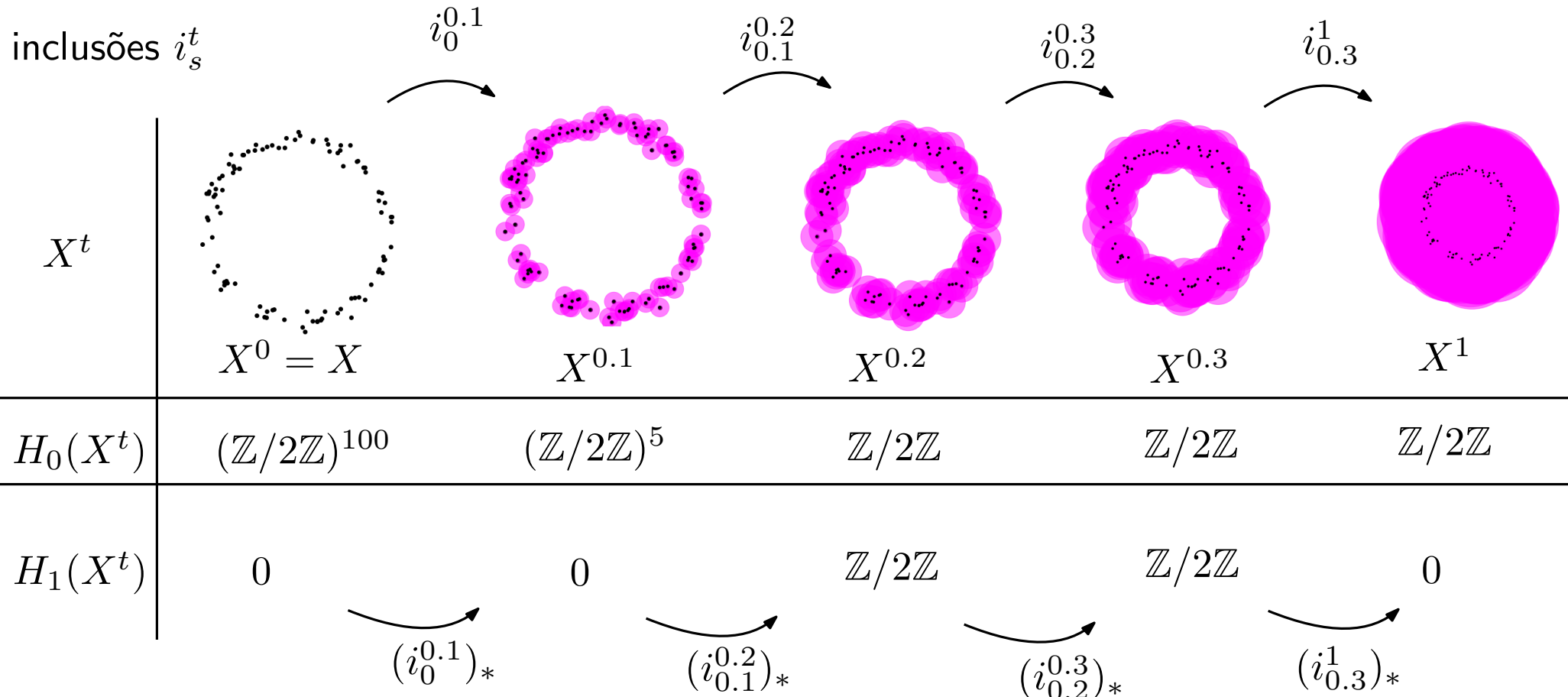
$X^t$	$X^0 = X$	$X^{0.1}$	$X^{0.2}$	$X^{0.3}$	$X^1$
$H_0(X^t)$	$(\mathbb{Z}/2\mathbb{Z})^{100}$	$(\mathbb{Z}/2\mathbb{Z})^5$	$\mathbb{Z}/2\mathbb{Z}$	$\mathbb{Z}/2\mathbb{Z}$	$\mathbb{Z}/2\mathbb{Z}$
$H_1(X^t)$	0	0	$\mathbb{Z}/2\mathbb{Z}$	$\mathbb{Z}/2\mathbb{Z}$	0



# Homologia da filtração de Cech

48/69 (2/2)

Vamos calcular a homologia de cada espessamento:



Os dados de  $(H_i(X^t))_{t \geq 0}$  e  $((i_s^t)_*)_{s \leq t}$  é chamado de **módulo de persistência**.

**Definição:** Um **módulo de persistência**  $\mathbb{V}$  é um par  $(\mathbb{V}, v)$  onde  $\mathbb{V} = (V^t)_{t \in \mathbb{R}^+}$  é uma coleção de  $\mathbb{Z}/2\mathbb{Z}$ -espaços vetoriais, e  $v = (v_s^t : V^s \rightarrow V^t)_{s \leq t \in \mathbb{R}^+}$  é uma coleção de transformações lineares tais que

- por todo  $t \in \mathbb{R}^+$ ,  $v_t^t : V^t \rightarrow V^t$  é a aplicação identidade,
- por todo  $r, s, t \in \mathbb{R}^+$  tais como  $r \leq s \leq t$ , temos  $v_s^t \circ v_r^s = v_r^t$ .

$$\begin{array}{ccccc}
 & & v_r^s & & \\
 & \nearrow & & \searrow & \\
 V^r & \xrightarrow{\hspace{2cm}} & V^s & \xrightarrow{\hspace{2cm}} & V^t \\
 & \curvearrowright & & & \\
 & & v_r^t & &
 \end{array}$$

Módulo de persistência associado à filtração de Cech :

$$\begin{array}{ccccccc}
 \dashrightarrow & X^{t_1} & \xrightarrow{i_{t_1}^{t_2}} & X^{t_2} & \xrightarrow{i_{t_2}^{t_3}} & X^{t_3} & \xrightarrow{i_{t_3}^{t_4}} X^{t_4} & \dashleftarrow \\
 \dashrightarrow & H_i(X^{t_1}) & \xrightarrow{(i_{t_1}^{t_2})_*} & H_i(X^{t_2}) & \xrightarrow{(i_{t_2}^{t_3})_*} & H_i(X^{t_3}) & \xrightarrow{(i_{t_3}^{t_4})_*} H_i(X^{t_4}) & \dashleftarrow
 \end{array}$$

# Monitorando a evolução dos buracos

50/69 (1/3)

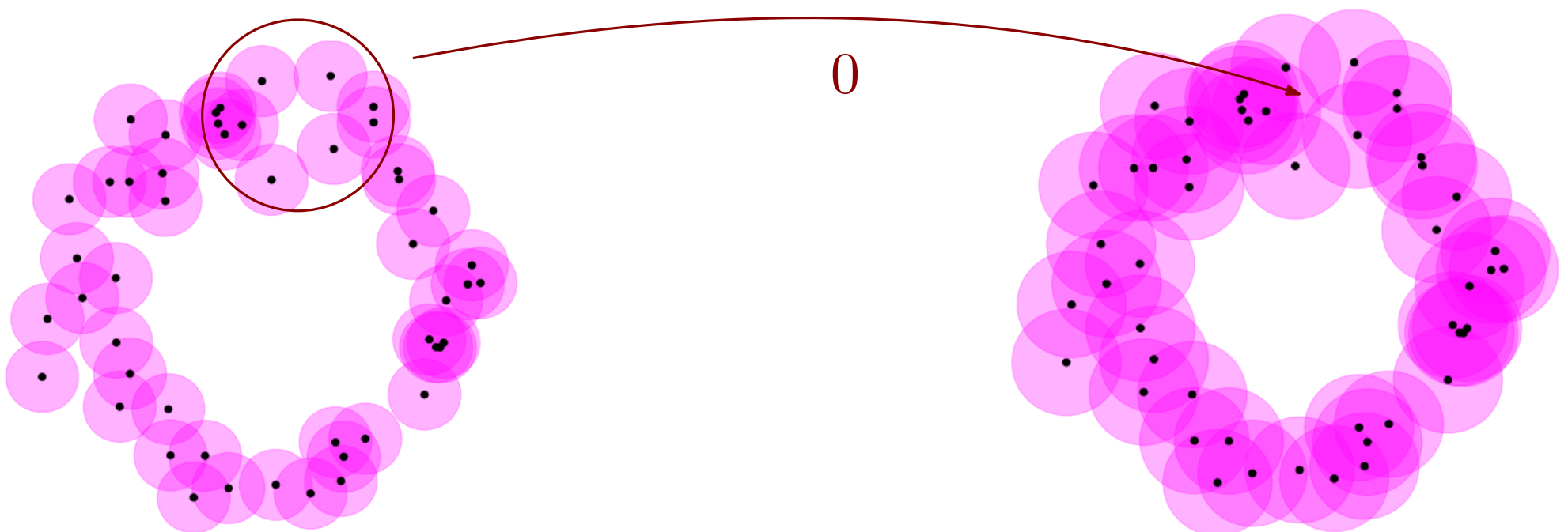
$$\dashrightarrow H_i(X^{t_1}) \xrightarrow{(i_{t_1}^{t_2})_*} H_i(X^{t_2}) \xrightarrow{(i_{t_2}^{t_3})_*} H_i(X^{t_3}) \xrightarrow{(i_{t_3}^{t_4})_*} H_i(X^{t_4}) \dashleftarrow$$

Seja  $i \geq 0$ ,  $t_0 \geq 0$  e considere um ciclo  $c \in H_i(X^{t_0})$ .

Seu **momento de morte** é:  $\sup \{t \geq t_0, (i_{t_0}^t)_*(c) \neq 0\}$ ,

Seu **momento de nascimento** é:  $\inf \{t \geq t_0, (i_t^{t_0})^{-1}(\{c\})_* \neq \emptyset\}$ ,

Sua **persistência** é a diferença.



# Monitorando a evolução dos buracos

50/69 (2/3)

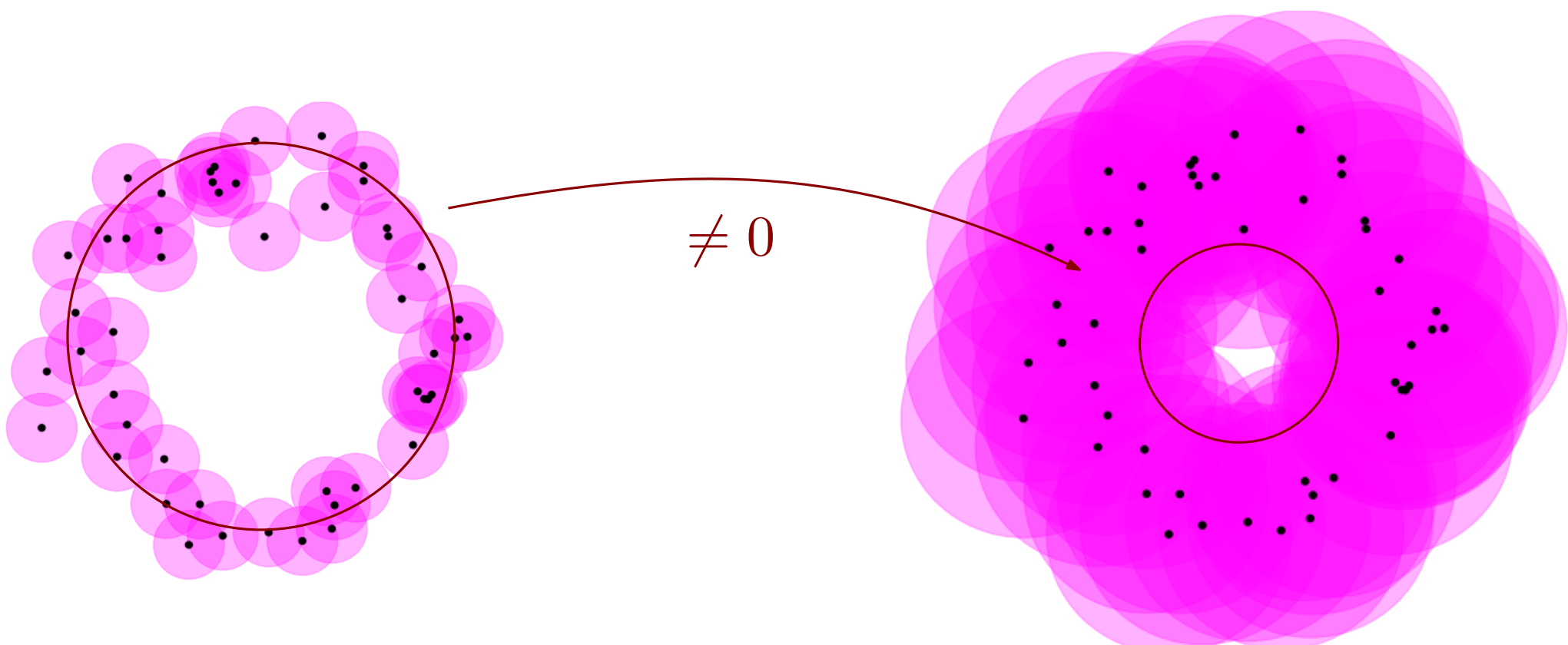
$$\longrightarrow H_i(X^{t_1}) \xrightarrow{(i_{t_1}^{t_2})_*} H_i(X^{t_2}) \xrightarrow{(i_{t_2}^{t_3})_*} H_i(X^{t_3}) \xrightarrow{(i_{t_3}^{t_4})_*} H_i(X^{t_4}) \longleftarrow$$

Seja  $i \geq 0$ ,  $t_0 \geq 0$  e considere um ciclo  $c \in H_i(X^{t_0})$ .

Seu **momento de morte** é:  $\sup \{t \geq t_0, (i_{t_0}^t)_*(c) \neq 0\}$ ,

Seu **momento de nascimento** é:  $\inf \{t \geq t_0, (i_t^{t_0})^{-1}(\{c\})_* \neq \emptyset\}$ ,

Sua **persistência** é a diferença.



$$\dashrightarrow H_i(X^{t_1}) \xrightarrow{(i_{t_1}^{t_2})_*} H_i(X^{t_2}) \xrightarrow{(i_{t_2}^{t_3})_*} H_i(X^{t_3}) \xrightarrow{(i_{t_3}^{t_4})_*} H_i(X^{t_4}) \dashleftarrow$$

Seja  $i \geq 0$ ,  $t_0 \geq 0$  e considere um ciclo  $c \in H_i(X^{t_0})$ .

Seu **momento de morte** é:  $\sup \{t \geq t_0, (i_{t_0}^t)_*(c) \neq 0\}$ ,

Seu **momento de nascimento** é:  $\inf \{t \geq t_0, (i_t^{t_0})^{-1}(\{c\})_* \neq \emptyset\}$ ,

Sua **persistência** é a diferença.

## Interpretação:

- ciclos com alta persistência correspondem a importantes propriedades topológicas do conjunto de dados,
- ciclos com curta persistência correspondem a ruído topológico.

# I - Comparar espaços topológicos

- 1 - Equivalência de homeomorfia
- 2 - Equivalência de homotopia

# II - Invariante topológico

- 1 - Número de componentes conexas
- 2 - Característica de Euler
- 3 - Números de Betti
- 4 - Homologia (simplicial sobre  $\mathbb{Z}/2\mathbb{Z}$ )

# III - Inferência topológica

- 1 - Estimação do parâmetro  $t$
- 2 - Nervos

# IV - Homologia persistente

- 1 - Módulos de persistência
- 2 - Decomposição
- 3 - Estabilidade

# V - Aplicações

Teorema (Crawley-Boevey, 2015):

Um módulo de persistência (regular) pode ser decomposto em módulos-intervalos.

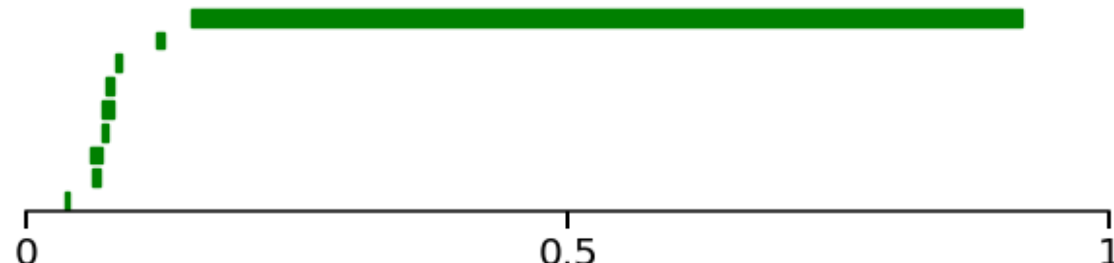
Este conjunto múltiplo de intervalos é chamado de **código de barras**. Ele descreve completamente o módulo de persistência.

Módulo de persistência :  $\mathbb{V}$

Código de barras:

$$\{ [0.171, 0.897), [0.035, 0.049), [0.037, 0.046), [0.072, 0.078), [0.077, 0.083), [0.046, 0.050), [0.050, 0.054), [0.036, 0.040), [0.089, 0.092) \}$$

Representação gráfica:



# Códigos de barras

52/69 (2/3)

Código de barras do módulo de persistência associado à filtração de Čech:  $H_0$  em vermelho e  $H_1$  em verde.

Código de barras do módulo de persistência associado à filtração de Čech:  $H_0$  em vermelho e  $H_1$  em verde.

Em um código de barras, podemos ler a homologia a **cada momento**, e como ela **evolui**.

# Diagramas de persistência

53/69 (1/2)

Cada módulo de persistência de  $\mathbb{V}$  está associado a um código de barras

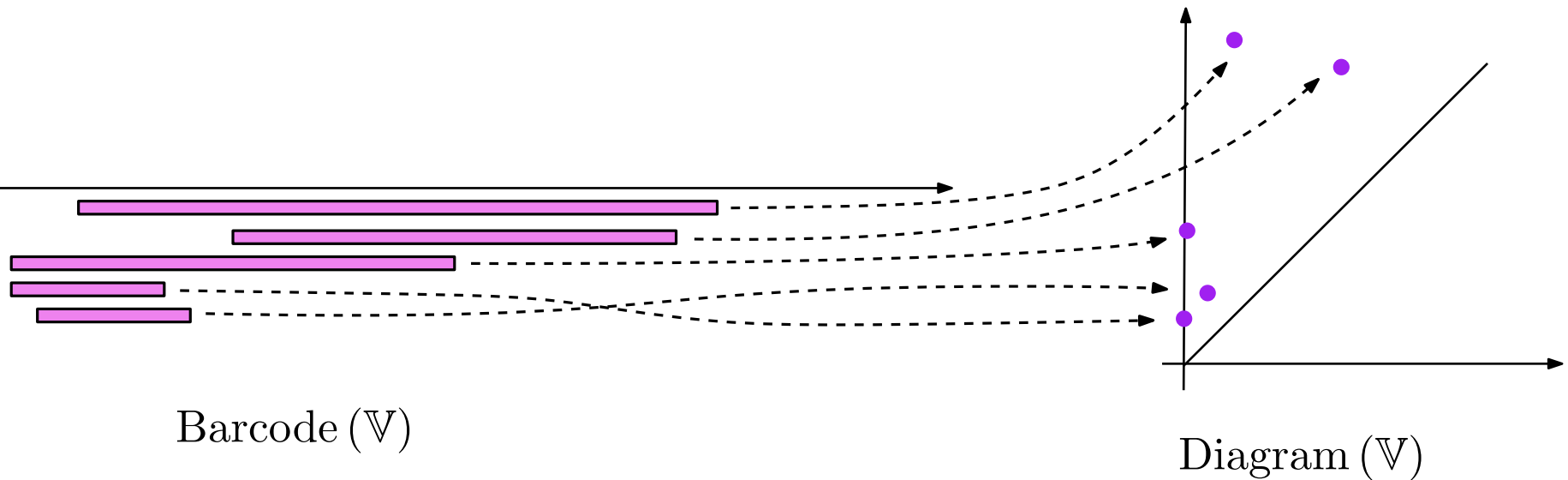


Barcode ( $\mathbb{V}$ )

# Diagramas de persistência

53/69 (2/2)

Cada módulo de persistência de  $\mathbb{V}$  está associado a um código de barras



Para cada  $[a, b]$ ,  $(a, b]$ ,  $[a, b)$  ou  $(a, b)$  em  $\text{Barcode}(\mathbb{V})$ , considere o ponto  $(a, b)$  de  $\mathbb{R}^2$ . A coleção de todos esses pontos é chamada de diagrama de **diagrama de persistência** de  $\mathbb{V}$ .

# I - Comparar espaços topológicos

- 1 - Equivalência de homeomorfia
- 2 - Equivalência de homotopia

# II - Invariante topológico

- 1 - Número de componentes conexas
- 2 - Característica de Euler
- 3 - Números de Betti
- 4 - Homologia (simplicial sobre  $\mathbb{Z}/2\mathbb{Z}$ )

# III - Inferência topológica

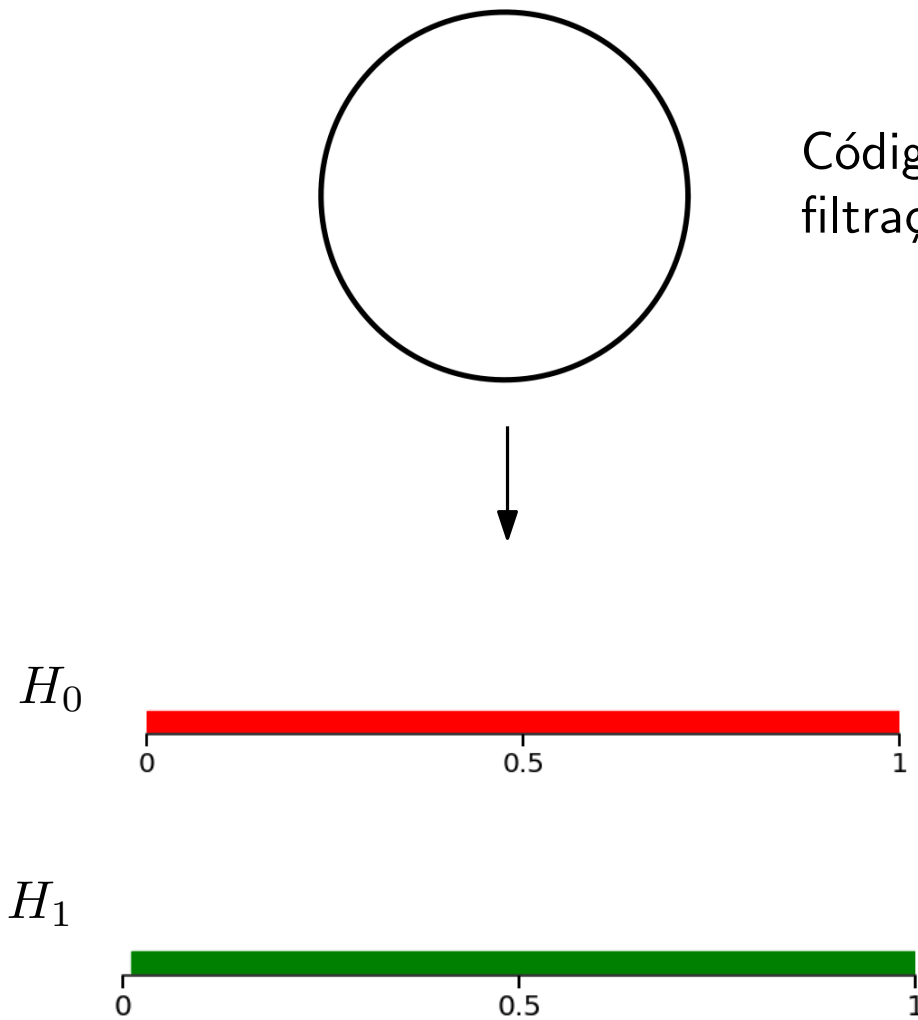
- 1 - Estimação do parâmetro  $t$
- 2 - Nervos

# IV - Homologia persistente

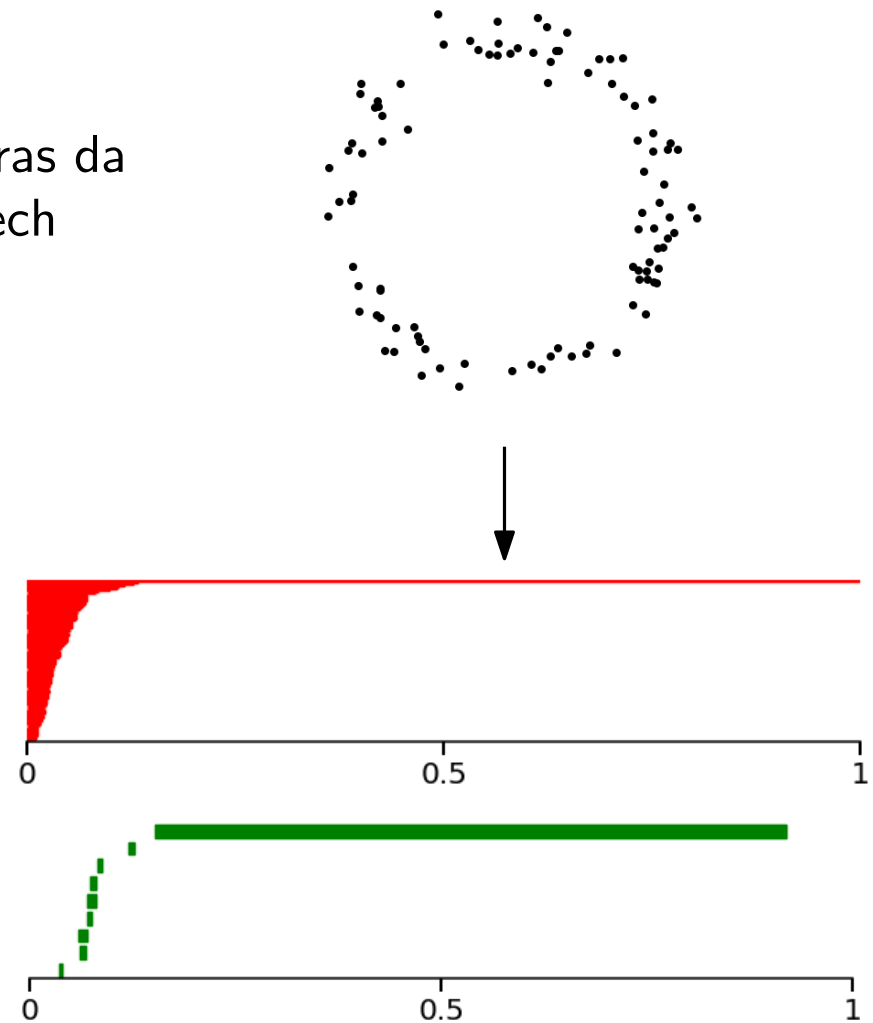
- 1 - Módulos de persistência
- 2 - Decomposição
- 3 - Estabilidade

# V - Aplicações

Seja  $X \subset \mathbb{R}^n$  um subconjunto finito, visto como uma amostra de  $\mathcal{M}$ .



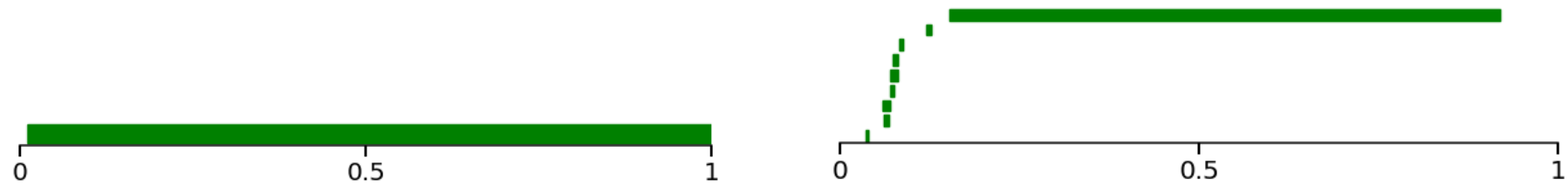
Código de barras da  
filtração de Čech



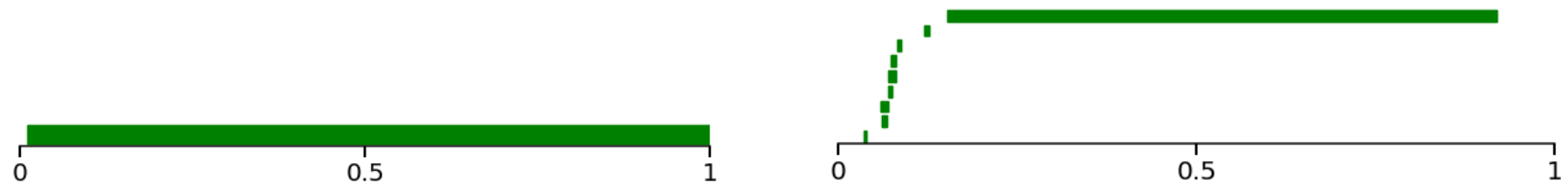
# Distância bottleneck

56/69 (1/8)

Sejam dois códigos de barras  $P$  e  $Q$ .



Sejam dois códigos de barras  $P$  e  $Q$ .



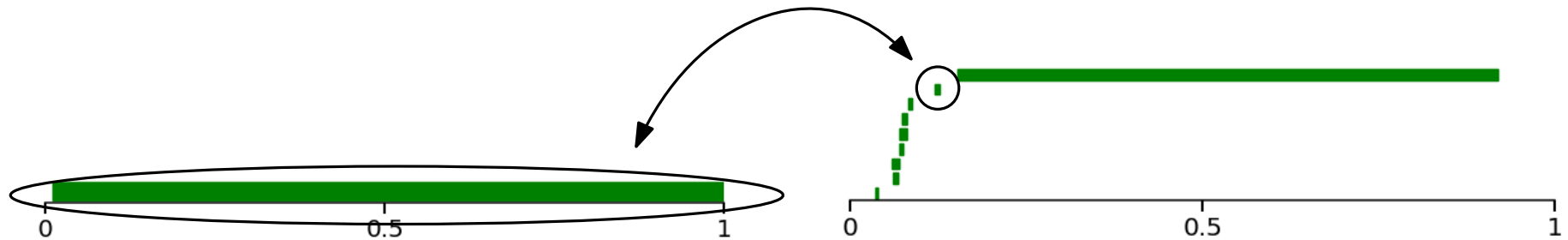
Uma **correspondência parcial** entre  $P$  e  $Q$  é um subconjunto  $M \subset P \times Q$  tal como

- por todo  $p \in P$ , existe no máximo um  $q \in Q$  tal como  $(p, q) \in M$ ,
- por todo  $q \in Q$ , existe no máximo um  $p \in P$  tal como  $(p, q) \in M$ .

As barras  $p \in P$  (resp.  $q \in Q$ ) tal como existe  $q \in Q$  (resp.  $p \in P$ ) com  $(p, q) \in M$  são referidas como **correspondentes** por  $M$ .

Se uma barra  $p \in P$  (resp.  $q \in Q$ ) não for correspondida por  $M$ , digamos que é correspondida com o conjunto unitário  $\bar{p} = [\frac{p_1+p_2}{2}, \frac{p_1+p_2}{2}]$  (resp.  $\bar{q} = [\frac{q_1+q_2}{2}, \frac{q_1+q_2}{2}]$ ).

Sejam dois códigos de barras  $P$  e  $Q$ .



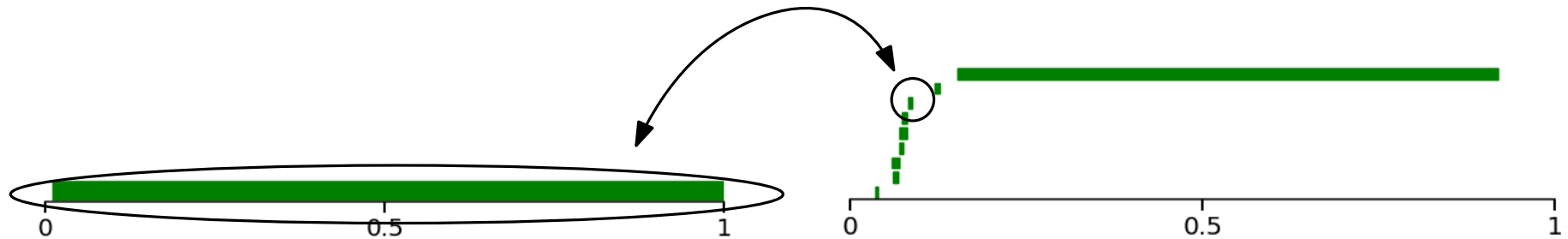
Uma **correspondência parcial** entre  $P$  e  $Q$  é um subconjunto  $M \subset P \times Q$  tal como

- por todo  $p \in P$ , existe no máximo um  $q \in Q$  tal como  $(p, q) \in M$ ,
- por todo  $q \in Q$ , existe no máximo um  $p \in P$  tal como  $(p, q) \in M$ .

As barras  $p \in P$  (resp.  $q \in Q$ ) tal como existe  $q \in Q$  (resp.  $p \in P$ ) com  $(p, q) \in M$  são referidas como **correspondentes** por  $M$ .

Se uma barra  $p \in P$  (resp.  $q \in Q$ ) não for correspondida por  $M$ , digamos que é correspondida com o conjunto unitário  $\bar{p} = [\frac{p_1+p_2}{2}, \frac{p_1+p_2}{2}]$  (resp.  $\bar{q} = [\frac{q_1+q_2}{2}, \frac{q_1+q_2}{2}]$ ).

Sejam dois códigos de barras  $P$  e  $Q$ .



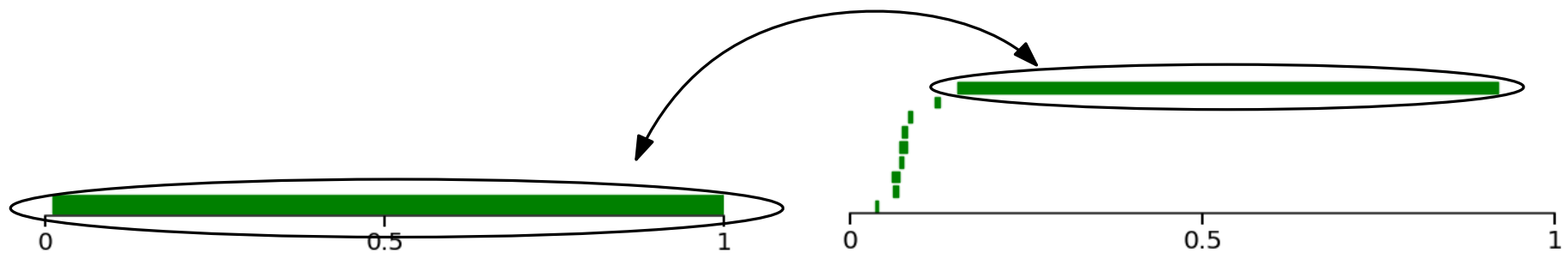
Uma **correspondência parcial** entre  $P$  e  $Q$  é um subconjunto  $M \subset P \times Q$  tal como

- por todo  $p \in P$ , existe no máximo um  $q \in Q$  tal como  $(p, q) \in M$ ,
- por todo  $q \in Q$ , existe no máximo um  $p \in P$  tal como  $(p, q) \in M$ .

As barras  $p \in P$  (resp.  $q \in Q$ ) tal como existe  $q \in Q$  (resp.  $p \in P$ ) com  $(p, q) \in M$  são referidas como **correspondentes** por  $M$ .

Se uma barra  $p \in P$  (resp.  $q \in Q$ ) não for correspondida por  $M$ , digamos que é correspondida com o conjunto unitário  $\bar{p} = \left[ \frac{p_1+p_2}{2}, \frac{p_1+p_2}{2} \right]$  (resp.  $\bar{q} = \left[ \frac{q_1+q_2}{2}, \frac{q_1+q_2}{2} \right]$ ).

Sejam dois códigos de barras  $P$  e  $Q$ .



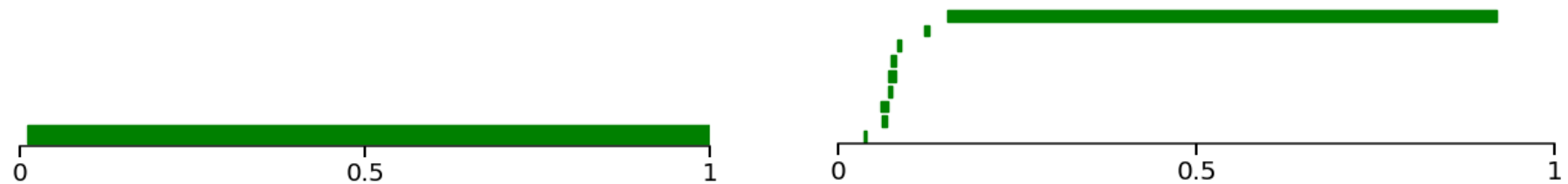
Uma **correspondência parcial** entre  $P$  e  $Q$  é um subconjunto  $M \subset P \times Q$  tal como

- por todo  $p \in P$ , existe no máximo um  $q \in Q$  tal como  $(p, q) \in M$ ,
- por todo  $q \in Q$ , existe no máximo um  $p \in P$  tal como  $(p, q) \in M$ .

As barras  $p \in P$  (resp.  $q \in Q$ ) tal como existe  $q \in Q$  (resp.  $p \in P$ ) com  $(p, q) \in M$  são referidas como **correspondentes** por  $M$ .

Se uma barra  $p \in P$  (resp.  $q \in Q$ ) não for correspondida por  $M$ , digamos que é correspondida com o conjunto unitário  $\bar{p} = [\frac{p_1+p_2}{2}, \frac{p_1+p_2}{2}]$  (resp.  $\bar{q} = [\frac{q_1+q_2}{2}, \frac{q_1+q_2}{2}]$ ).

Sejam dois códigos de barras  $P$  e  $Q$ .



Uma **correspondência parcial** entre  $P$  e  $Q$  é um subconjunto  $M \subset P \times Q$  tal como

- por todo  $p \in P$ , existe no máximo um  $q \in Q$  tal como  $(p, q) \in M$ ,
- por todo  $q \in Q$ , existe no máximo um  $p \in P$  tal como  $(p, q) \in M$ .

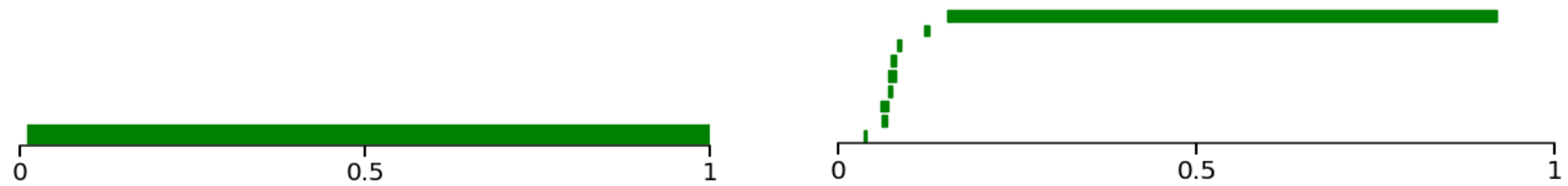
As barras  $p \in P$  (resp.  $q \in Q$ ) tal como existe  $q \in Q$  (resp.  $p \in P$ ) com  $(p, q) \in M$  são referidas como **correspondentes** por  $M$ .

Se uma barra  $p \in P$  (resp.  $q \in Q$ ) não for correspondida por  $M$ , digamos que é correspondida com o conjunto unitário  $\bar{p} = [\frac{p_1+p_2}{2}, \frac{p_1+p_2}{2}]$  (resp.  $\bar{q} = [\frac{q_1+q_2}{2}, \frac{q_1+q_2}{2}]$ ).

O **custo** de um par  $(p, q)$  (resp.  $(p, \bar{p})$ , resp.  $(\bar{q}, q)$ ) é a norma sup  $\|p - q\|_\infty = \sup\{|p_1 - q_1|, |p_2 - q_2|\}$  (resp.  $\|p - \bar{p}\|_\infty$ , resp.  $\|\bar{q} - q\|_\infty$ ).

O **custo** da correspondência  $M$ , referido como  $\text{cost}(M)$ , é o supremo dos custos das pares.

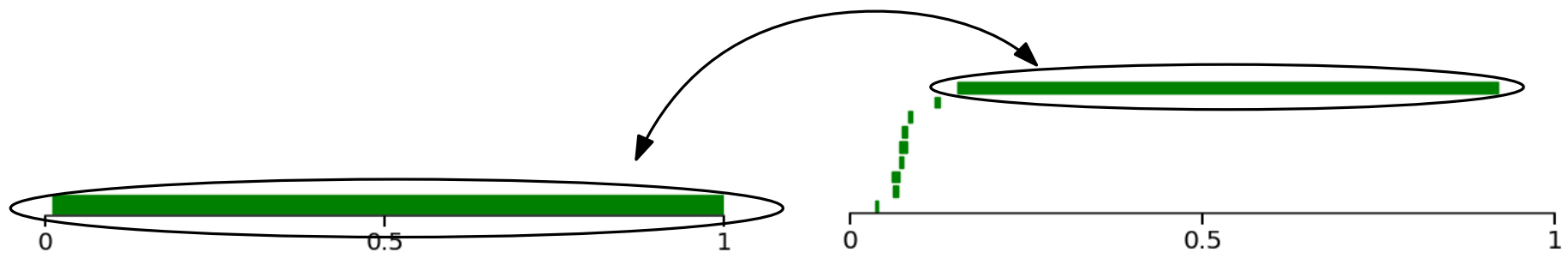
Sejam dois códigos de barras  $P$  e  $Q$ .



**Definição :** A **distância bottleneck** entre  $P$  e  $Q$  é definida como o menor custo de qualquer correspondência:

$$d_b(P, Q) = \inf\{\text{cost}(M), M \text{ é uma correspondência entre } P \text{ e } Q\}.$$

Sejam dois códigos de barras  $P$  e  $Q$ .



**Definição :** A **distância bottleneck** entre  $P$  e  $Q$  é definida como o menor custo de qualquer correspondência:

$$d_b(P, Q) = \inf\{\text{cost}(M), M \text{ é uma correspondência entre } P \text{ e } Q\}.$$

# Teorema da estabilidade

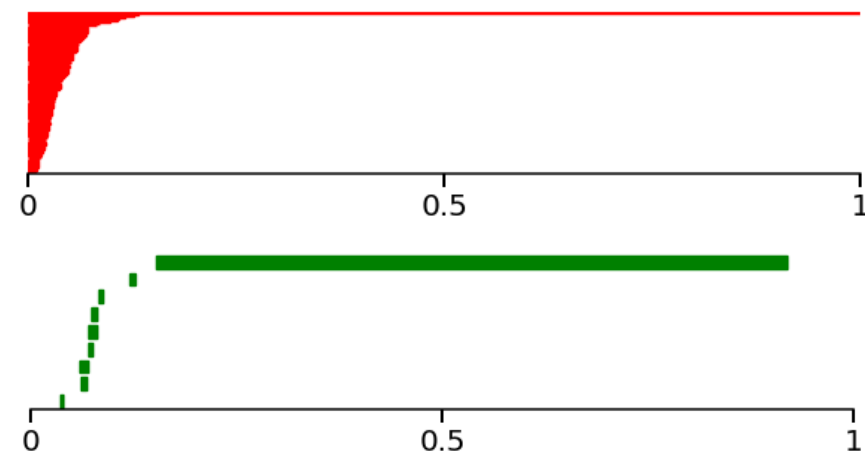
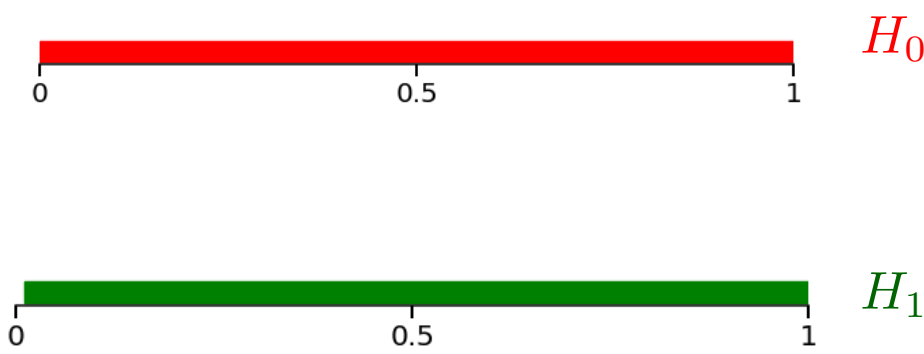
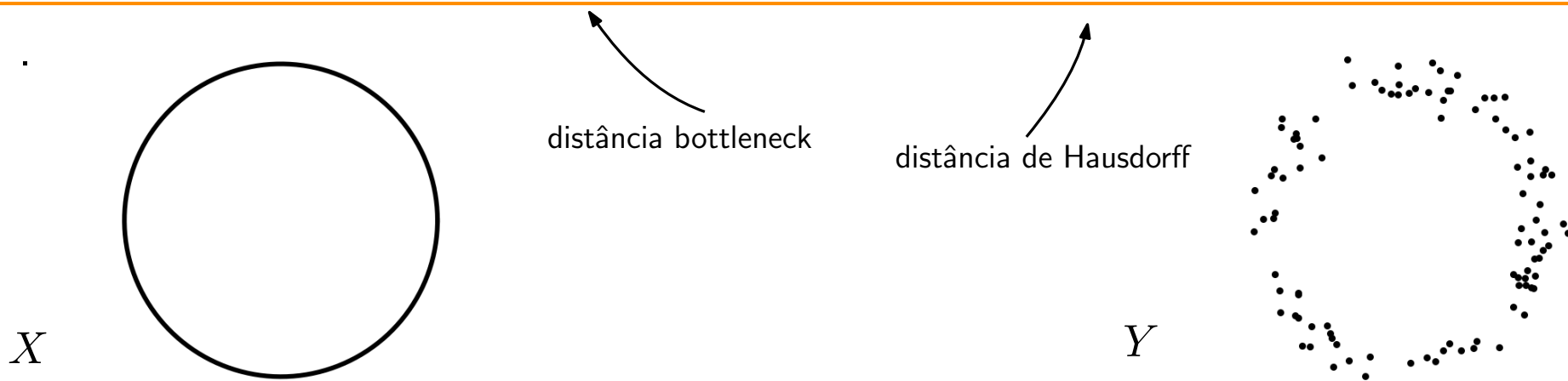
57/69 (1/2)

Teorema (Cohen-Steiner, Edelsbrunner et Harer, 2005):

Sejam  $X$  e  $Y$  dois subconjuntos do  $\mathbb{R}^n$ .

Considerem suas filtrações de Čech, e seus módulos de persistência de  $i$ -ésima homologia, notados  $\mathbb{U}$  e  $\mathbb{V}$ . Então

$$d_b(\text{Barcode}(\mathbb{U}), \text{Barcode}(\mathbb{V})) \leq d_H(X, Y)$$



Teorema (Cohen-Steiner, Edelsbrunner et Harer, 2005):

Sejam  $X$  e  $Y$  dois subconjuntos do  $\mathbb{R}^n$ .

Considerem suas filtrações de Čech, e seus módulos de persistência de  $i$ -ésima homologia, notados  $\mathbb{U}$  e  $\mathbb{V}$ . Então

$$d_b(\text{Barcode}(\mathbb{U}), \text{Barcode}(\mathbb{V})) \leq d_H(X, Y)$$



Teorema (Chazal, de Silva, Glisse et Oudot, 2009) :

Vale

$$d_i(\mathbb{U}, \mathbb{V}) = d_b(\mathbb{U}, \mathbb{V})$$

onde  $d_i$  é a **distância de entrelaçamento**.

# I - Comparar espaços topológicos

- 1 - Equivalência de homeomorfia
- 2 - Equivalência de homotopia

# II - Invariante topológico

- 1 - Número de componentes conexas
- 2 - Característica de Euler
- 3 - Números de Betti
- 4 - Homologia (simplicial sobre  $\mathbb{Z}/2\mathbb{Z}$ )

# III - Inferência topológica

- 1 - Estimação do parâmetro  $t$
- 2 - Nervos

# IV - Homologia persistente

- 1 - Módulos de persistência
- 2 - Decomposição
- 3 - Estabilidade

# V - Aplicações

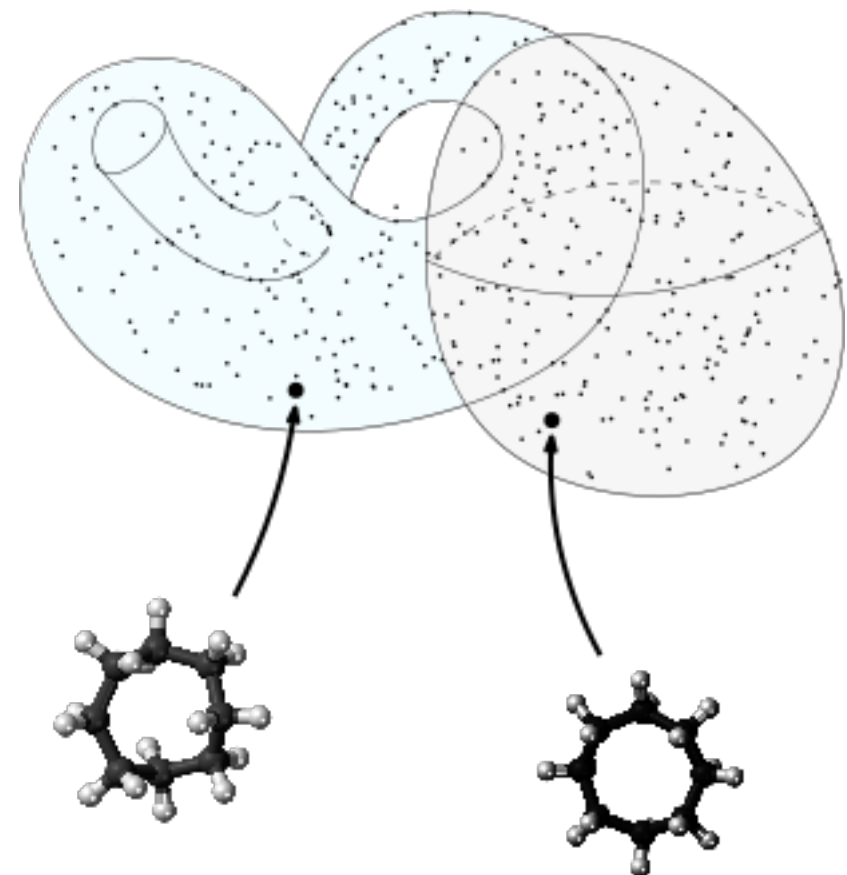
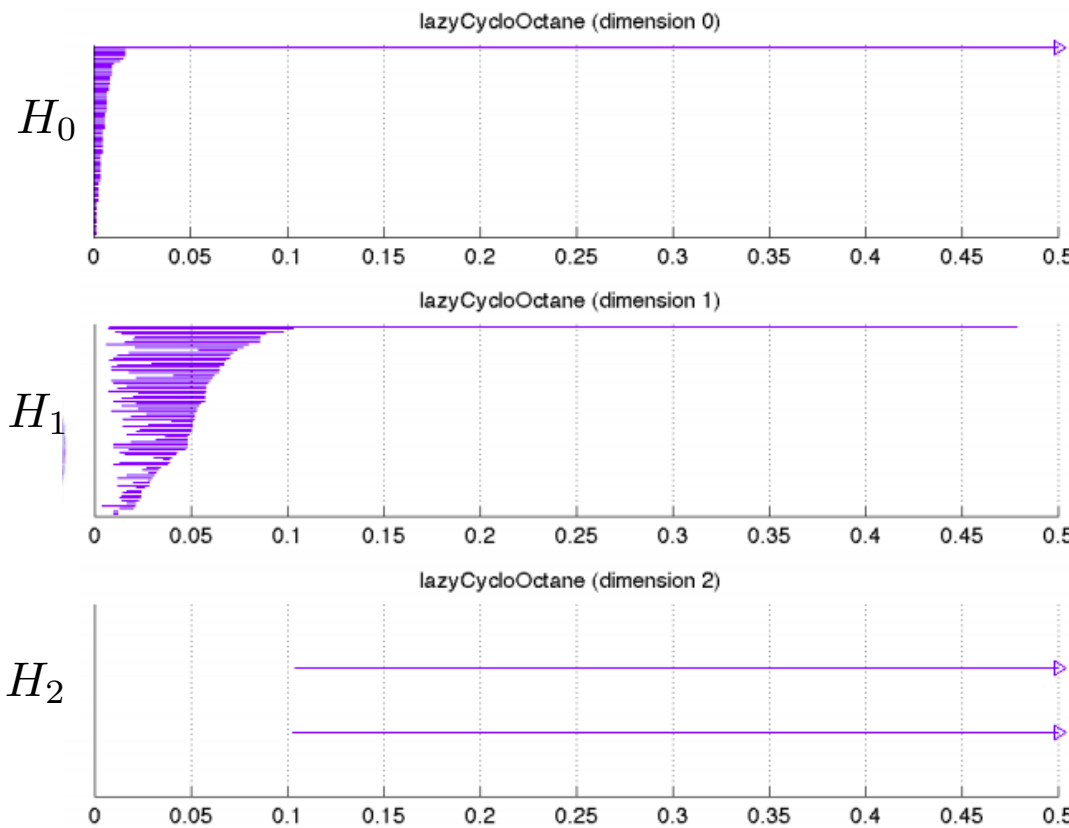
[S. Martin, A. Thompson, E. A. Coutsias, and J-P. Watson, [Topology of cyclo-octane energy landscape](#), 2010]

[https://www.researchgate.net/publication/44697030.Topology\\_of\\_Cyclooctane\\_Energy\\_Landscape](https://www.researchgate.net/publication/44697030.Topology_of_Cyclooctane_Energy_Landscape)

A molécula de ciclo-octano  $C_8H_{16}$  contém 24 átomos.

Ao gerar muitas moléculas, obtemos uma nuvem de pontos em  $\mathbb{R}^{72}$  ( $3 \times 24 = 72$ ).

Os códigos de barras são calculados:



# Inferência topológica I

59/69 (2/2)

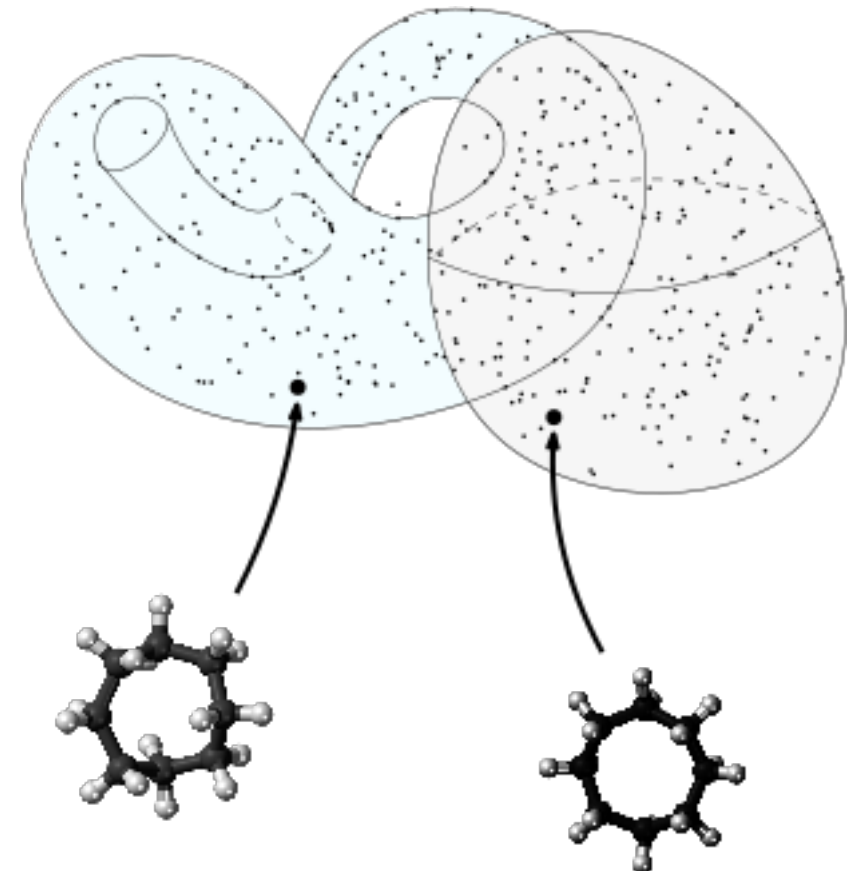
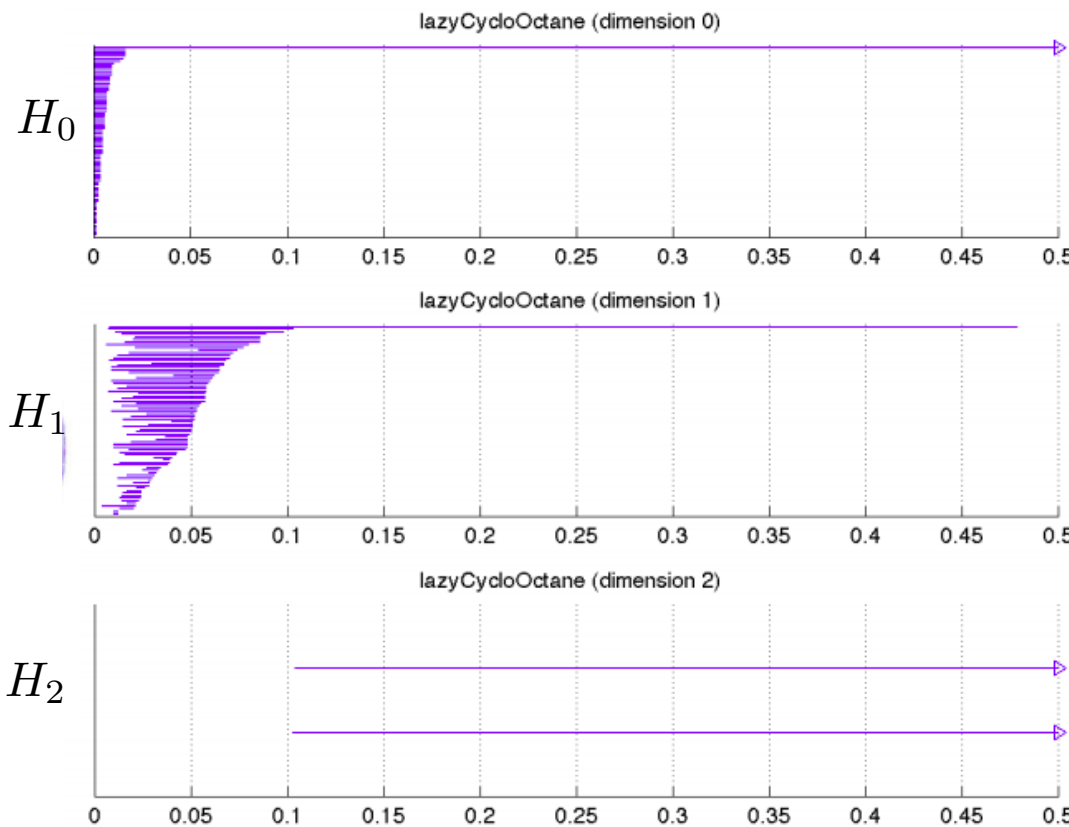
[S. Martin, A. Thompson, E. A. Coutsias, and J-P. Watson, [Topology of cyclo-octane energy landscape](#), 2010]

[https://www.researchgate.net/publication/44697030.Topology\\_of\\_Cyclooctane\\_Energy\\_Landscape](https://www.researchgate.net/publication/44697030.Topology_of_Cyclooctane_Energy_Landscape)

A molécula de ciclo-octano  $C_8H_{16}$  contém 24 átomos.

Ao gerar muitas moléculas, obtemos uma nuvem de pontos em  $\mathbb{R}^{72}$  ( $3 \times 24 = 72$ ).

Os códigos de barras são calculados:

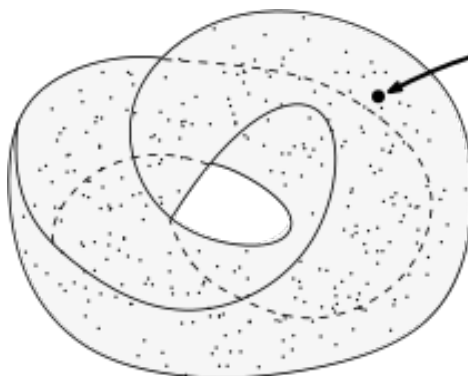


Deduzimos:  $H_0 = \mathbb{Z}/2\mathbb{Z}$ ,  $H_1 = \mathbb{Z}/2\mathbb{Z}$ ,  $H_2 = (\mathbb{Z}/2\mathbb{Z})^2$

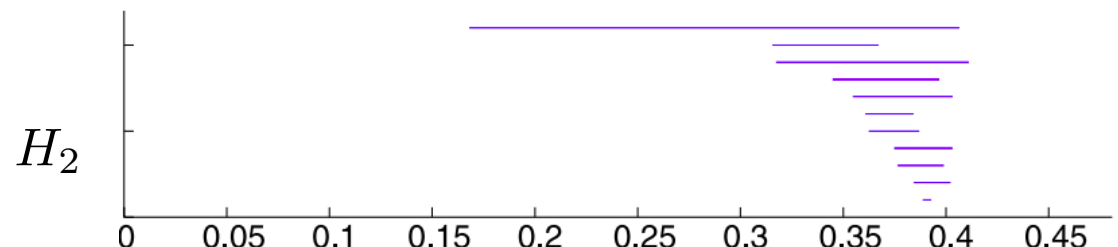
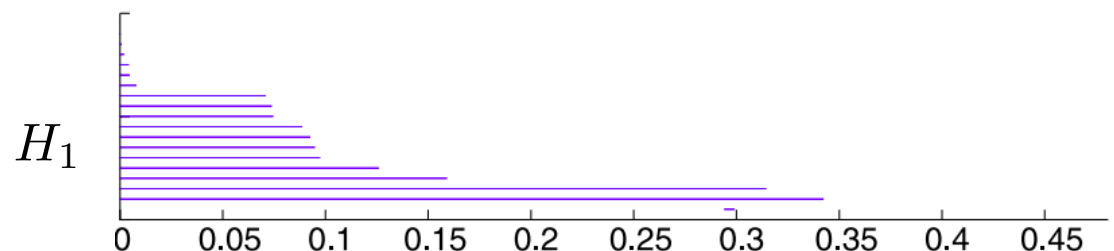
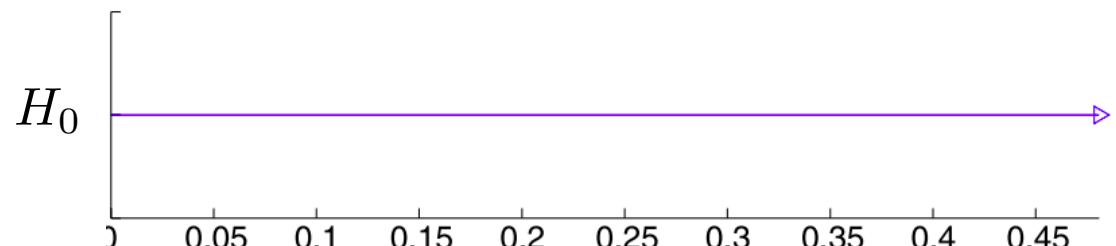
[G. Carlsson, T. Ishkhanov, V. de Silva, and A. Zomorodian, *On the Local Behavior of Spaces of Natural Images*, 2008]

<https://link.springer.com/article/10.1007/s11263-007-0056-x>

A partir de uma grande coleção de imagens, os autores extraem patches de tamanho  $3 \times 3$ . Como consistem em 9 pixels, cada uma destes patches pode ser vista como um vetor em dimensão 9, e o todo como uma nuvem de pontos em  $\mathbb{R}^9$ .



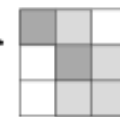
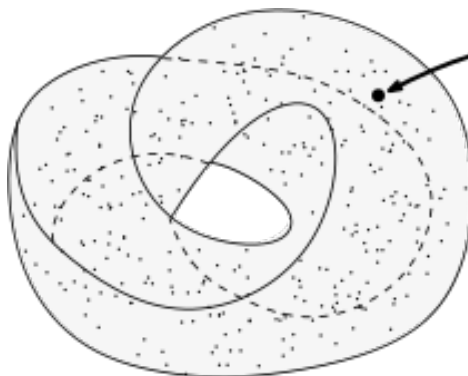
Os códigos de barras são obtidos:



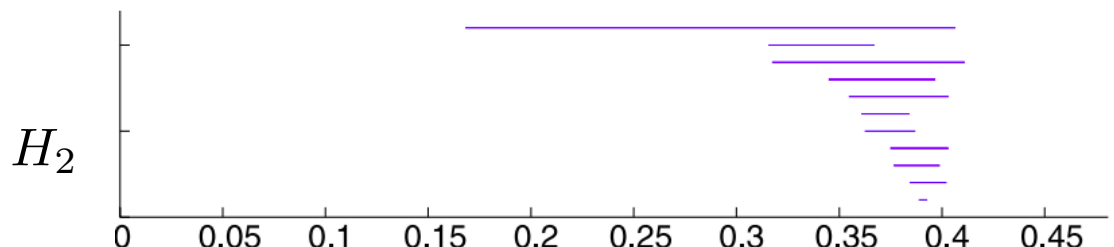
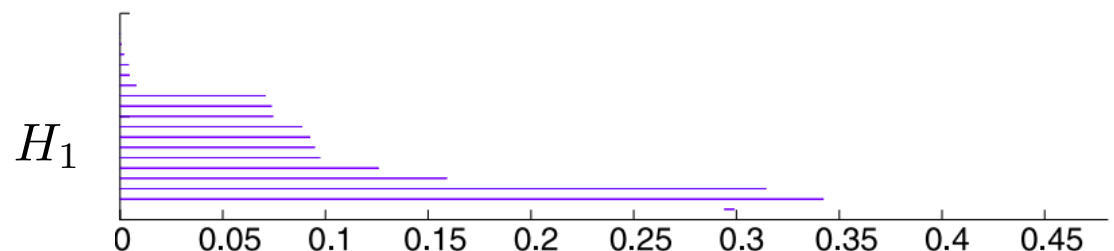
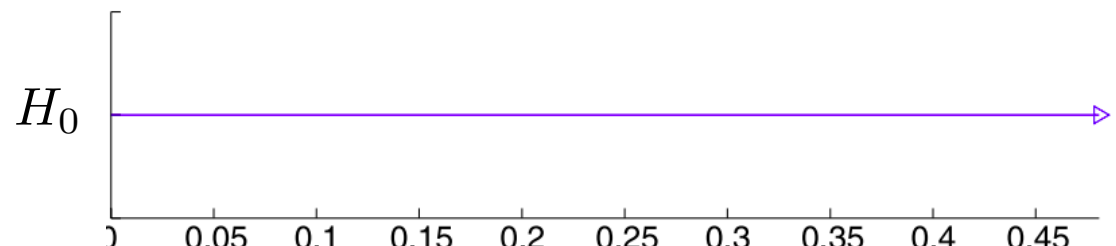
[G. Carlsson, T. Ishkhanov, V. de Silva, and A. Zomorodian, *On the Local Behavior of Spaces of Natural Images*, 2008]

<https://link.springer.com/article/10.1007/s11263-007-0056-x>

A partir de uma grande coleção de imagens, os autores extraem patches de tamanho  $3 \times 3$ . Como consistem em 9 pixels, cada uma destes patches pode ser vista como um vetor em dimensão 9, e o todo como uma nuvem de pontos em  $\mathbb{R}^9$ .



Os códigos de barras são obtidos:



Deduzimos:

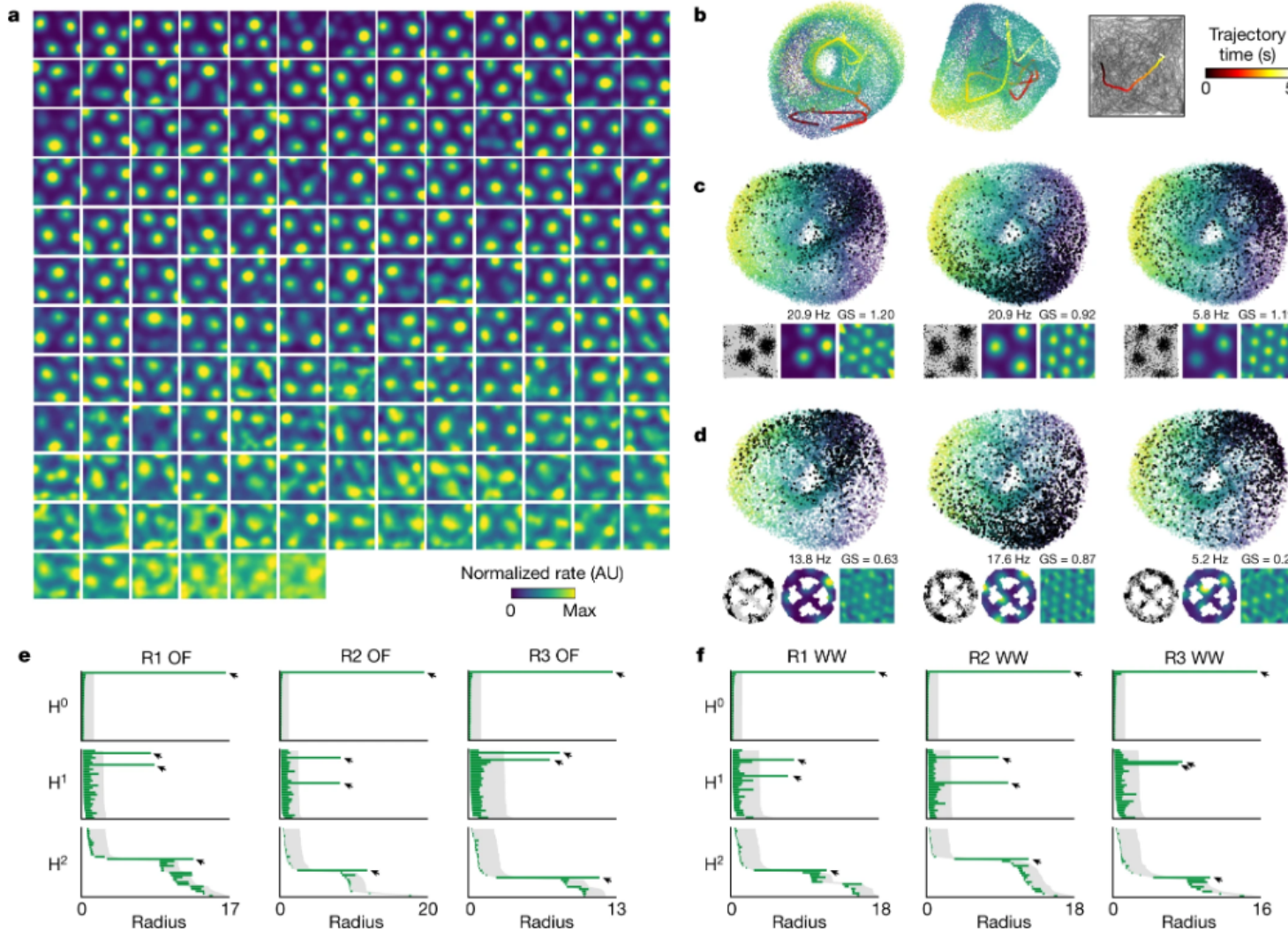
$$\begin{aligned} H_0 &= \mathbb{Z}/2\mathbb{Z}, \\ H_1 &= (\mathbb{Z}/2\mathbb{Z})^2, \\ H_2 &= \mathbb{Z}/2\mathbb{Z}. \end{aligned}$$

# Inferência topológica III

61/69

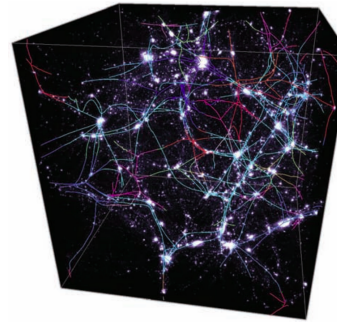
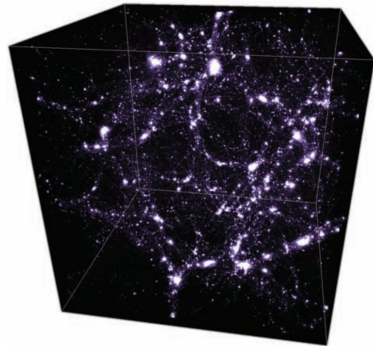
[Richard J. Gardner et al, Toroidal topology of population activity in grid cells , 2022]

Os autores registraram spikes de grid-cells de ratos, e aplicaram redução de dimensionalidade na matriz de firing. Ao aplicar a homologia persistente a esta nuvem de pontos, observamos a homologia de um toro.

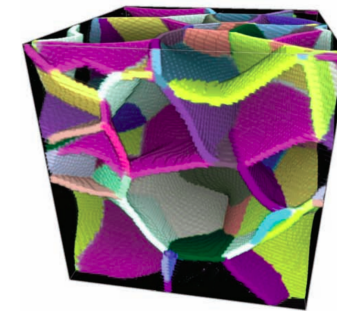


T. Sousbie, [The persistent cosmic web and its filamentary structure](#), 2011

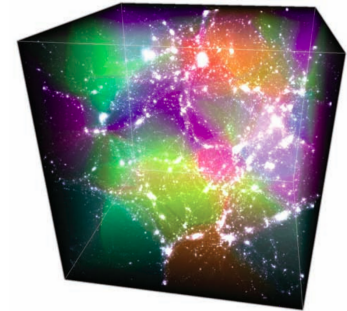
<https://www.giss.nasa.gov/staff/mway/cluster/sousbie2011mnras.pdf>



visto como um  
objeto de dimensão 1



de dimensão 2



de dimensão 3

P. Pranav, H. Edelsbrunner, R. de Weygaert, G. Vegter, M. Kerber, B. Jones and M. Wintraecken, [The topology of the cosmic web in terms of persistent Betti numbers](#), 2016

<https://arxiv.org/pdf/1608.04519.pdf>

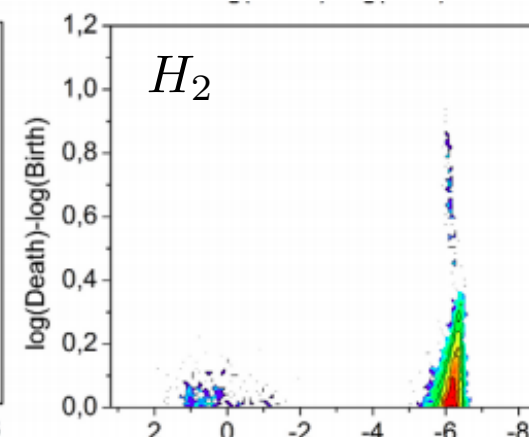
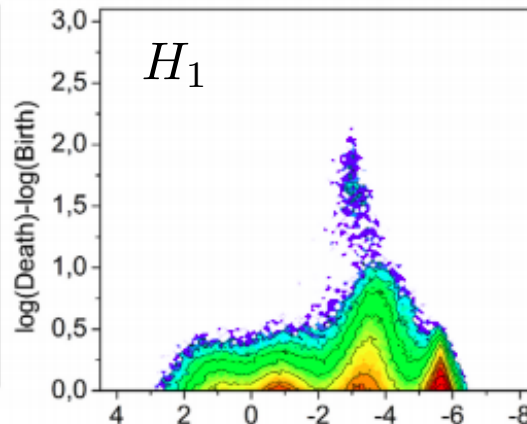
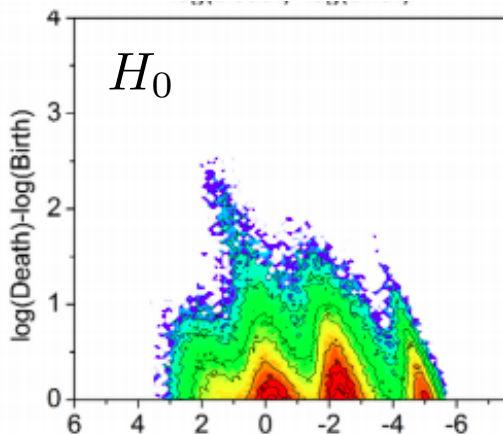
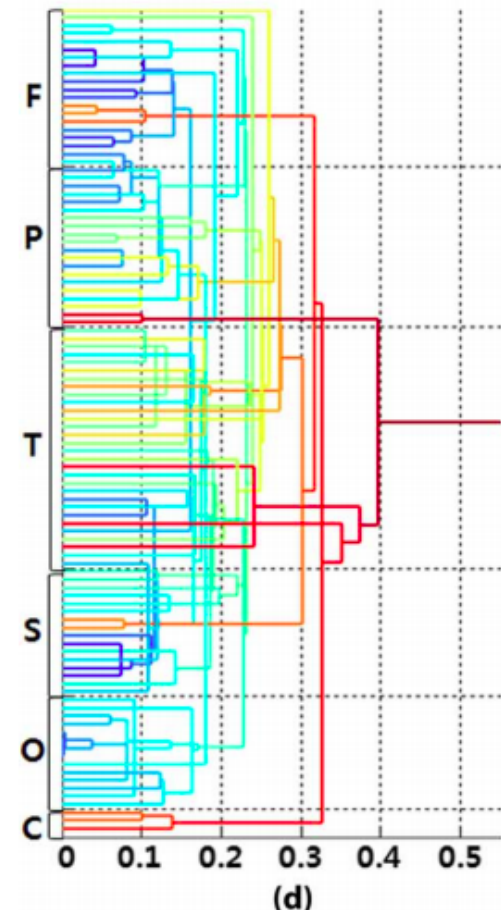
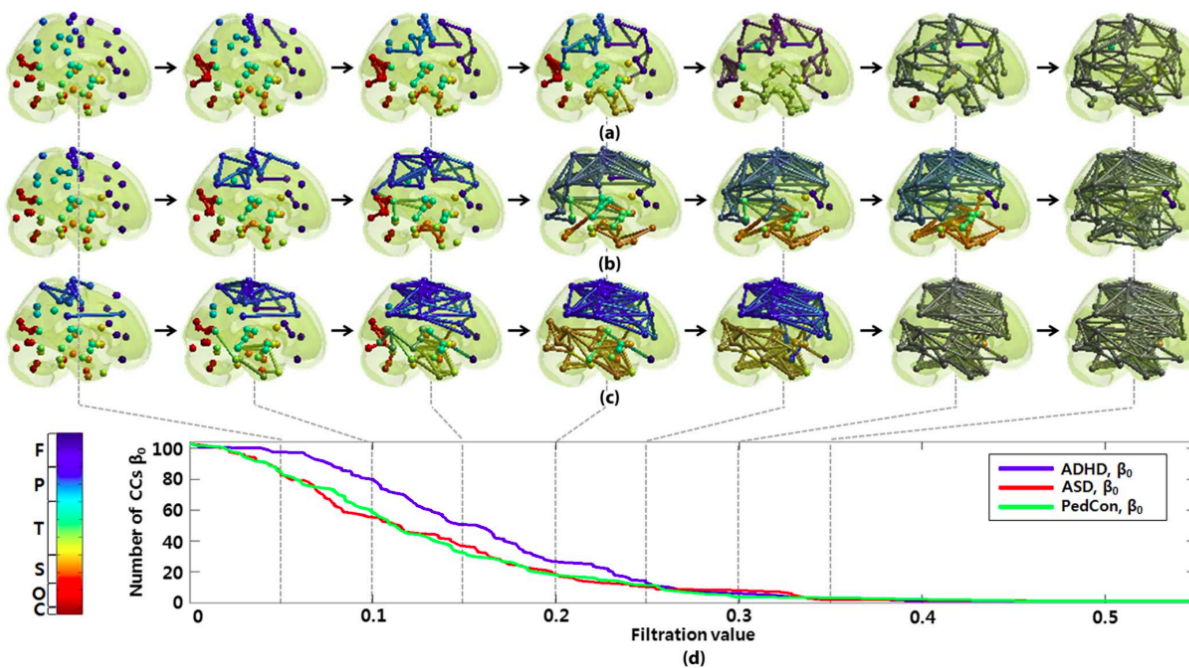


Diagrama de  
persistência média  
para um modelo  
Voronoi  
(escala log)

Hyekyoung Lee, Hyejin Kang, Moo K Chung, Bung-Nyun Kim, Dong Soo Lee,  
 Persistent brain network homology from the perspective of dendrogram, 2012

<http://pages.stat.wisc.edu/~mchung/papers/lee.2012.TMI.pdf>

→ A  $H_0$ -homologia persistente induz uma classificação hierárquica



# Análise de grafos temporais

64/69 (1/2)

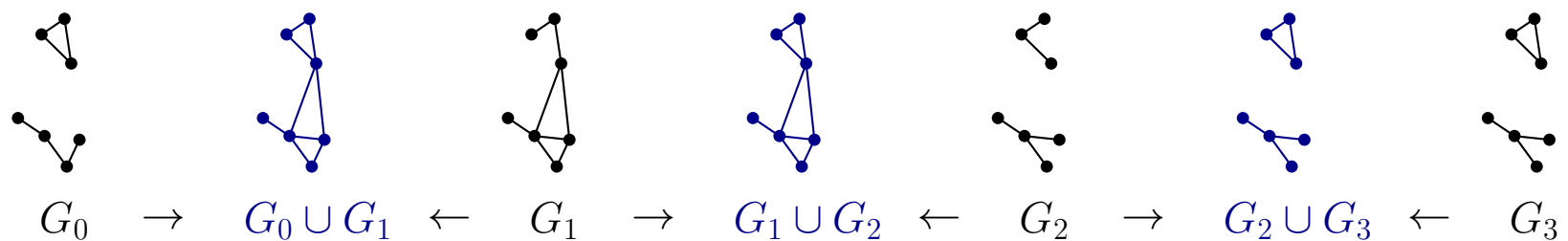
Em colaboração com Cláudio Linhares e Jean Ponciano.

Um grafo temporal consiste nos dados de um grafo  $G$  e uma coleção de pares  $(v, t)$ , onde  $v$  é uma aresta de  $G$  e  $t$  um número real em  $[0, T]$ .

Nesse contexto, temos vários espaços topológicos. Desejamos entender a **evolução** dos clusters.



Podemos construir a *filtração zig-zag* associada.



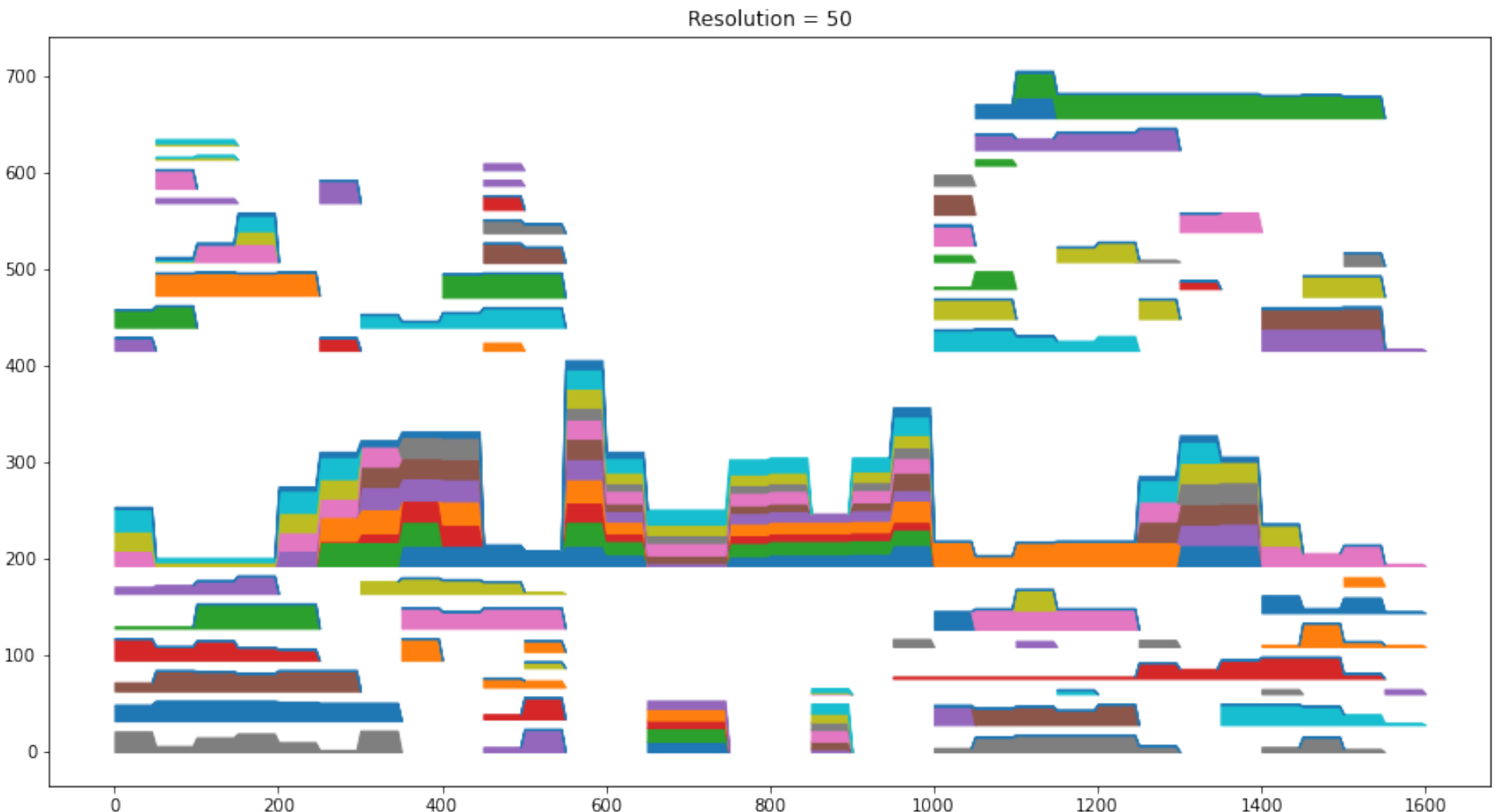
A teoria da homologia persistente zigzag também oferece um código de barras.

# Análise de grafos temporais

64/69 (2/2)

Em colaboração com Cláudio Linhares e Jean Ponciano.

Um grafo temporal consiste nos dados de um grafo  $G$  e uma coleção de pares  $(v, t)$ , onde  $v$  é uma aresta de  $G$  e  $t$  um número real em  $[0, T]$ .



Mathieu Carrière, Marco Cuturi, Steve Oudot, Sliced Wasserstein Kernel for Persistence Diagrams, 2017

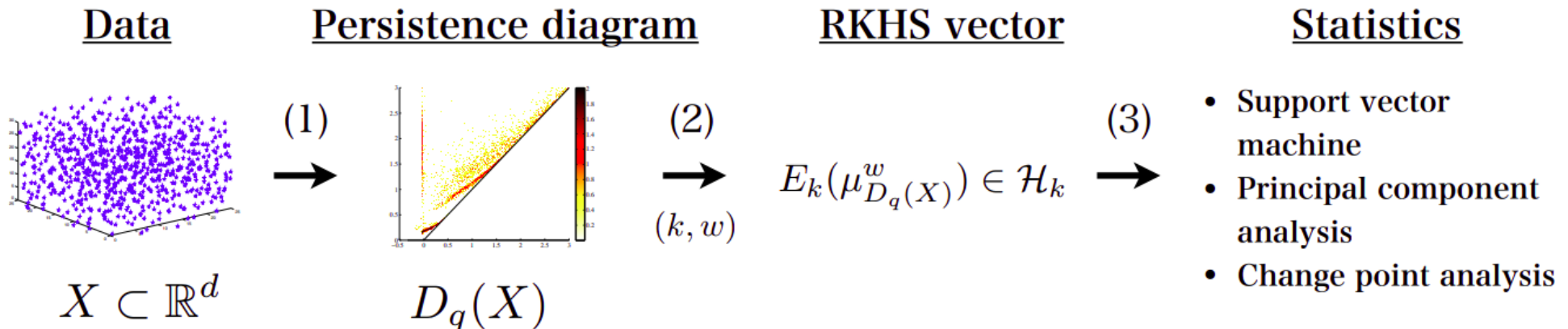
<https://arxiv.org/abs/1706.03358>

Genki Kusano, Kenji Fukumizu, Yasuaki Hiraoka, Kernel Method for Persistence Diagrams via Kernel Embedding and Weight Factor, 2018

<https://www.jmlr.org/papers/volume18/17-317/17-317.pdf>

Os códigos de barras não são elementos de um espaço euclidiano e, portanto, não podem ser usados diretamente

→ podemos usar o **kernel trick**



# No machine learning II

66/69

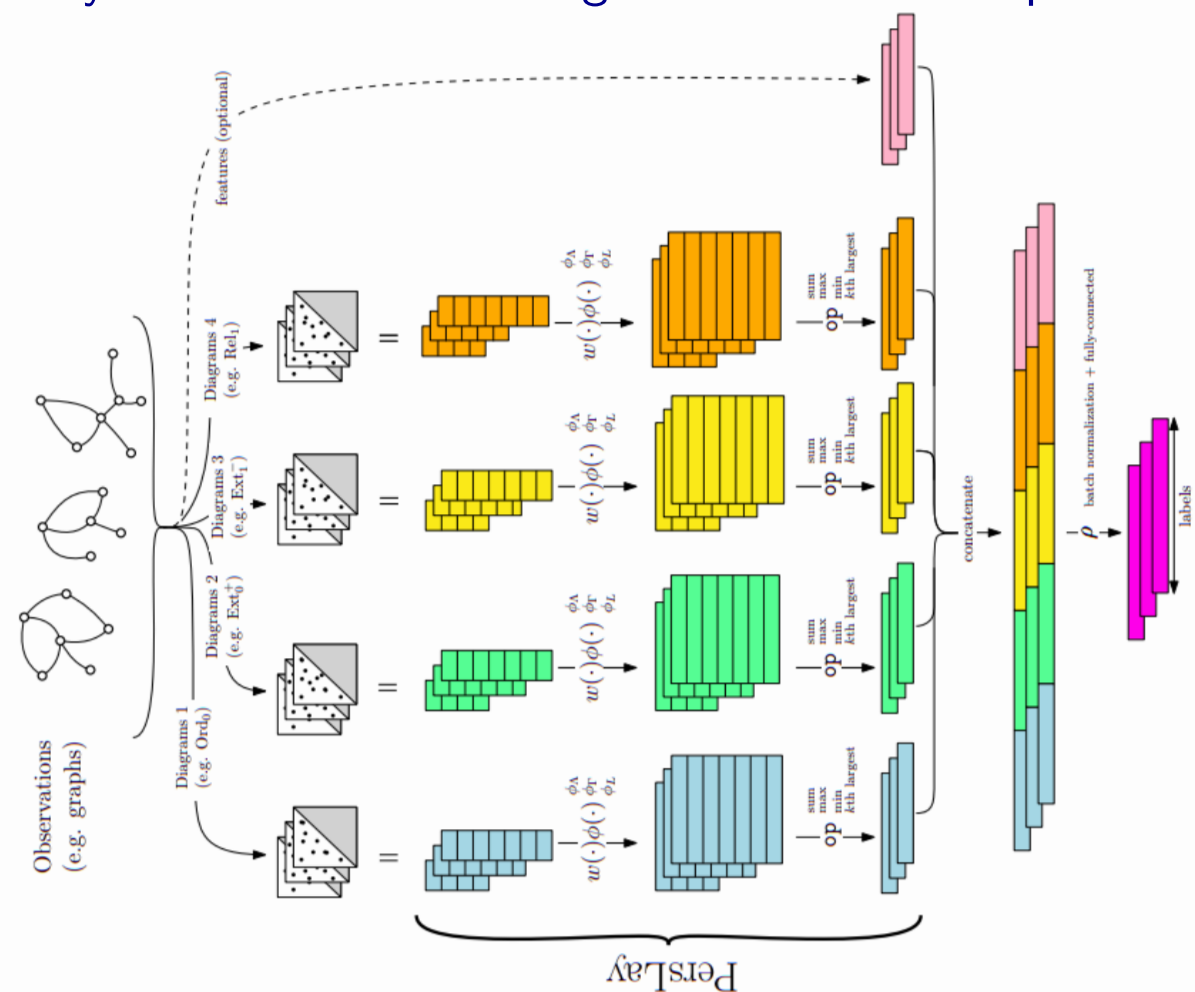
Rickard Brüel-Gabrielsson, Bradley J. Nelson, Anjan Dwaraknath, Primoz Skraba, Leonidas J. Guibas, Gunnar Carlsson, [A Topology Layer for Machine Learning](#), 2019

<https://arxiv.org/abs/1905.12200>

Mathieu Carrière, Frédéric Chazal, Yuichi Ike, Théo Lacombe, Martin Royer, Yuhei Umeda, [PersLay: A Neural Network Layer for Persistence Diagrams and New Graph Topological Signatures](#), 2019

<https://arxiv.org/abs/1904.09378>

Os diagramas de persistência podem ser integrados com uma rede neural

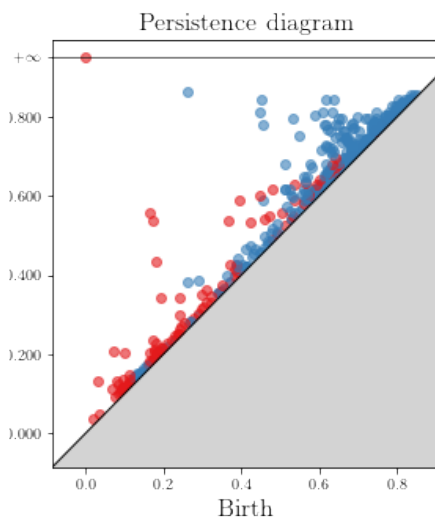


Em colaboração com Anton François.

O **glioblastoma** é o tumor cerebral mais comum, difuso, de grau variável de agressividade, e cujo prognóstico médico é difícil de estabelecer.

Neste contexto, o problema da **segmentação** consiste na demarcação automática das três regiões que formam o tumor (edema, núcleo necrótico e enhancing tumor).

Podemos usar a **homologia persistente cúbica**, especialmente definida para imagens.



Frédéric Chazal, Steve Oudot, Primoz Skraba, Leonidas J. Guibas, Persistence-Based Clustering in Riemannian Manifolds, 2011

<https://geometrica.saclay.inria.fr/team/Fred.Chazal/papers/cgos-pbc-09/cgos-pbcrm-11.pdf>

Chunyuan Li, Maks Ovsjanikov, Frederic Chazal, Persistence-based Structural Recognition, 2014

<https://geometrica.saclay.inria.fr/team/Fred.Chazal/papers/loc-pbsr-14/CVPR2014.pdf>

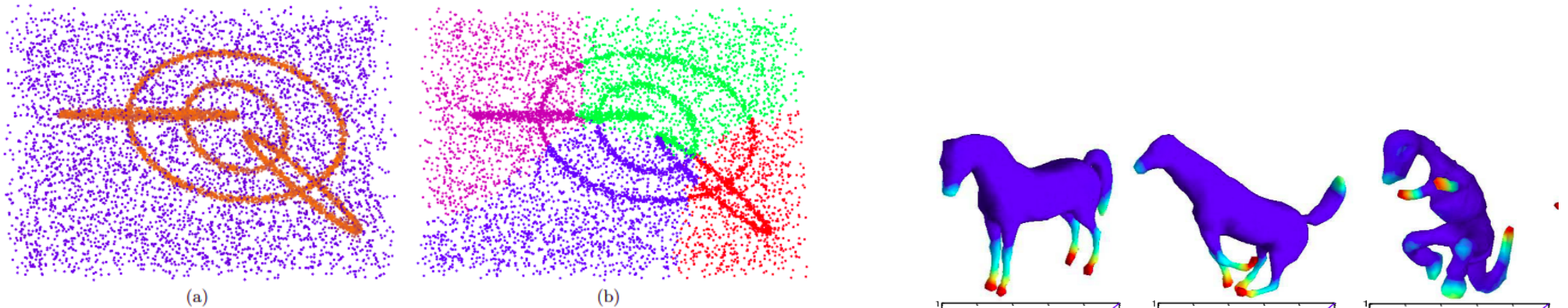
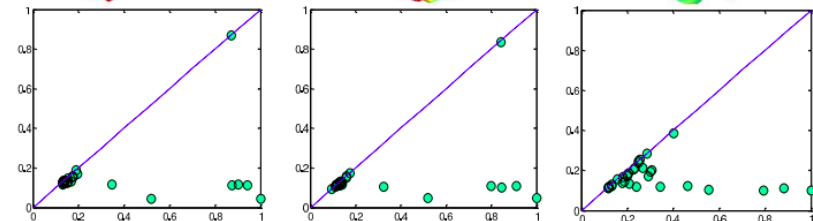
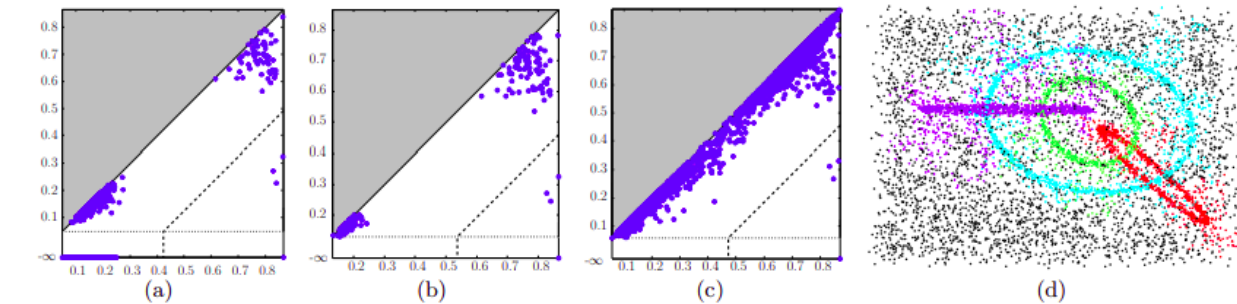
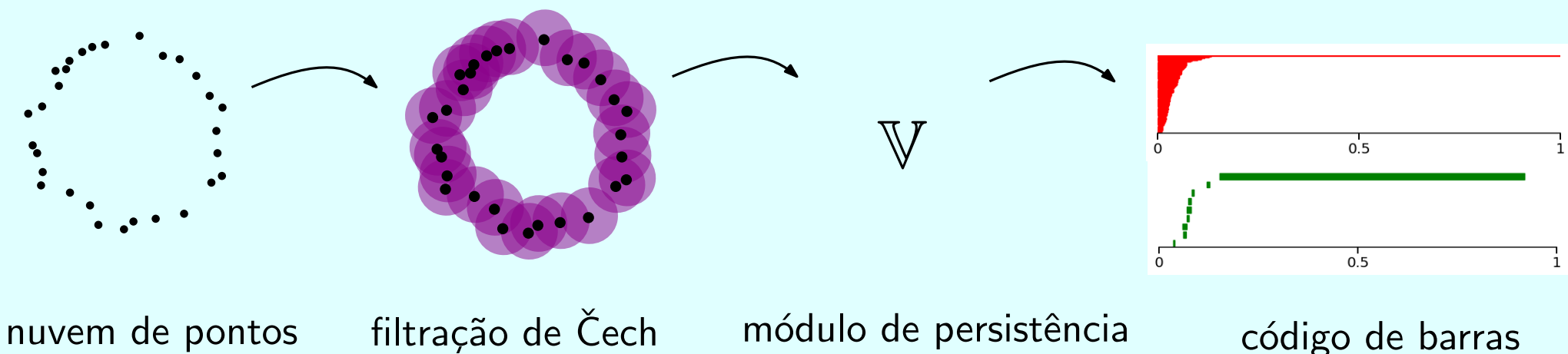


Figure 7: (a) The rings data set with the estimated density function. (b) The result obtained using spectral clustering.



# Conclusão

A homologia persistente permite uma estimativa **multi-escala** e **estável** da homologia dos conjuntos de dados.

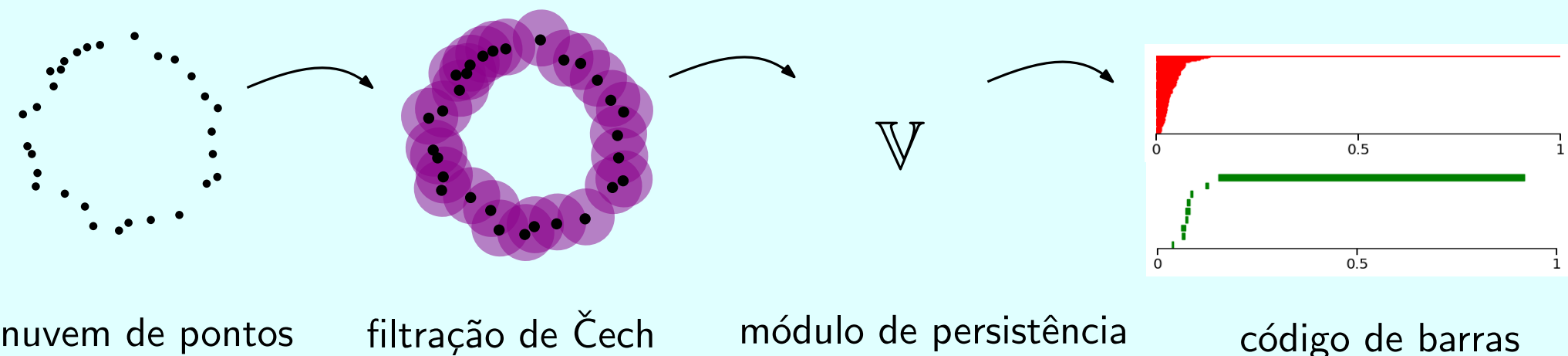


Permite analisar os dados a partir de uma nova perspectiva.

Um curso de TDA: <https://raphaeltinarrage.github.io/EMAp.html>

# Conclusão

A homologia persistente permite uma estimativa **multi-escala** e **estável** da homologia dos conjuntos de dados.



Permite analisar os dados a partir de uma nova perspectiva.

Um curso de TDA: <https://raphaeltinarrage.github.io/EMAp.html>

Obrigado!